

**UNIVERSITATEA DIN BUCUREȘTI**  
**Facultatea de Geologie și Geofizică**  
**Catedra de Mineralogie**

# **NOȚIUNI DE CRISTALOGRAFIE**

**G. ILINCA**

**- 2007 -**

# OBIECTUL CURSULUI

*“Ubi materia, ibi geometria” – Johannes Kepler*

Cristalografia — știința care se ocupă cu studiul cristalelor — aparține exclusiv timpurilor moderne. Formele regulate și culorile deosebite ale unor cristale naturale trebuie să fi fost remarcate încă din timpuri preistorice. În antichitate, cunoașterea cristalelor n-a depășit limita unor observații întâmplătoare, deseori amestecate cu superstiții legate de originea și puterea lor magică. Aristotel considera că s-au format în Soare sau în alte stele, iar mai târziu, în Evul Mediu, s-a crezut că mineralele cristalizate provin din semințe sau din coagularea unor fluide subpământene. Altele s-au format în corpul unor animale sau plante, ori au căzut pur-și-simplu din cer. Cristalele puteau fi masculi sau femele și aveau "sentimente". Un cristal mare de cuarț, era desigur "părintele" cristalului mai mic atașat de el, iar "rudele" lor se aflau undeva în adâncuri. Alteori, cristalele erau considerate creații ale unor spirite iubitoare de simetrie și relații matematice.

Chiar și astăzi, în percepția comună, se poate vorbi de o imagine deformată pe care numeroși oameni o au despre materia cristalizată în ciuda faptului că aceasta ne înconjoară pretutindeni; mulți nu își imaginează că un cristal poate fi și altceva decât o piatră prețioasă, transparentă și frumos colorată avînd eventual rostul de a încînta privirea cu formele sale regulate. De fapt, cristalul înseamnă mult mai mult, atît ca sferă de cuprindere a conceptului cît și ca importanță practică. În majoritatea lor, corpurile solide utilizate ca materii prime sau în viața de fiecare zi sînt cristale, ceea ce argumentează de la sine importanța studierii acestora.

**Obiectul cristalografiei** îl reprezintă descrierea și interpretarea structurii și proprietăților stării condensate a materiei. Cristalografia studiază și legătura acestor proprietăți cu aranjamentul și conexiunile spațiale ale atomilor (după International Union of Crystallography, Crystallographic Book List —1965). Conexiunile spațiale ale atomilor și ale forțelor dintre atomi caracterizează *gradul de perfecțiune, ordinea și simetria structurii interne a cristalului*.

În perioada sa de început, în secolul al XVII-lea, cristalografia nu își putea formula obiectul în acești termeni, deoarece nu exista decât o cunoaștere intuitivă a aranjamentului intern regulat al cristalelor. Pînă a se ajunge la acest enunț și pînă cînd sfera noțiunii de cristal să fie cea de astăzi, a existat un lung șir de achiziții conceptuale. Pentru cristalografii acestei epoci de pionierat — care s-a extins pînă în secolul al XIX-lea — formele regulate și simetria cristalelor exprimau un adevăr care stăpînea dincolo de aparențe dar a cărui intuiție numai aparențele erau capabile să o ofere. Ei au fost preocupați mai ales de măsurarea, descrierea și clasificarea *formelor cristaline*, dar au fost și numeroase încercări de a explica *fațetarea, simetria și anumite proprietăți ale cristalelor* prin existența unei structuri interne ordonate.

Cîteva dintre cele mai importante tentative făcute în acest sens vor fi punctate în cele ce urmează.

**Johannes Kepler (1611).** În lucrarea sa "Strena Seu de Nive Sexangula", Kepler a examinat "zăpada hexagonală", ajungând la unele idei despre simetrie și chiar la ipoteza că zăpada ar fi constituită din mici sfere așezate regulat.

În considerațiile sale se recunosc desfășurări ale unor raționamente folosite deja în *Mysterium cosmographicum* (1595), unde a dedus o lege pentru razele orbitelor planetare pornind de la simetria unor poliedre regulate.



*Johannes Kepler*



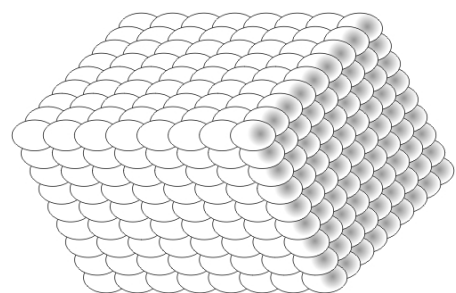
*Christiaan Huygens*

**Christiaan Huygens (1690).** În *Traité de la lumière* explica apariția dublei refracții la spatul de Islanda (o varietate de calcit), printr-un aranjament ordonat de particule elipsoidale.

Tocmai în această ipotetică formă anizometrică a unor corpusculi elementari, Huygens vedea una din posibilele cauze ale comportamentului anizotrop al cristalului în interacțiunea sa cu lumina.



*Fenomenul de dublă refracție în calcit*

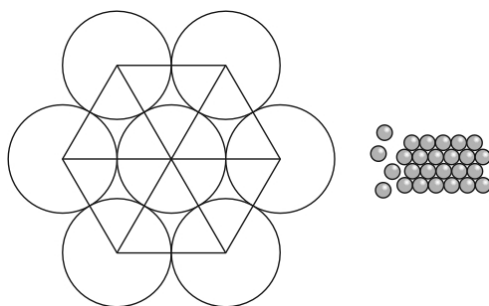


*Structura cristalelor de calcit după Huygens*

**M. V. Lomonosov (1747)** și-a explicat formele regulate și simetria hexagonală a siliciei (azotat de potasiu) printr-o așezare compactă a unor particule elementare, ultime, de formă sferică: "...dacă vom presupune că particulele de silică astfel constituite sînt de formă sferică, spre care tind în cea mai mare parte corpurile naturale cele mai mici, atunci va fi ușor să explicăm de ce silica crește în cristale cu șase fețe."



M. V. Lomonosov



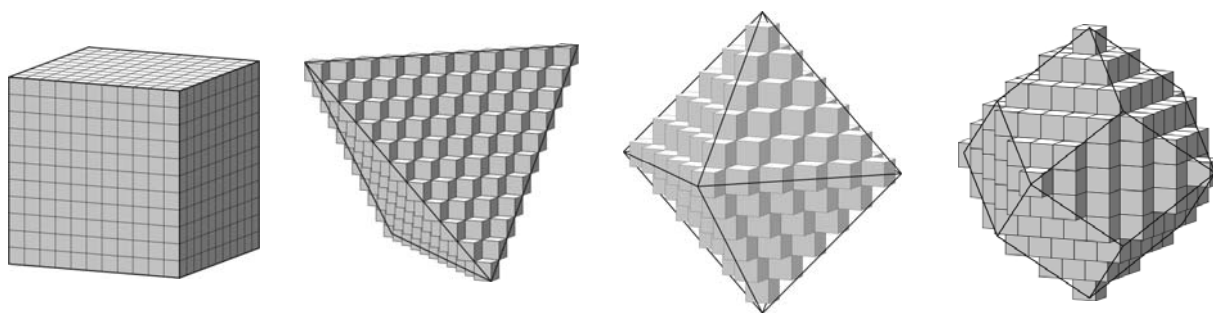
Simetria hexagonală a siliciei explicată de Lomonosov prin existența unor particule sferice așezate compact.



René-Just Haüy

**René-Just Haüy (1784, 1801, 1815, 1822)** a stabilit pe baza unui număr mare de măsurători, *legea descreșterilor* sau, cum avea să fie cunoscută mai târziu, *legea parametrilor raționali*. În esență, această lege afirma că *muchiiile unei forme cristaline sînt tăiate de o față din cristal în raporturi simple și raționale*, singura cauză posibilă a acestui fapt fiind o microstructură periodică și caracterizată de vectori axiali de periodicitate.

În încercarea de a explica diversitatea fețelor care mărginesc cristalele unei anumite substanțe, Haüy a stabilit că pe baza versurilor axiali se poate construi un *paralelipiped unitar (elementar)* pe care l-a denumit *moleculă integrantă*.



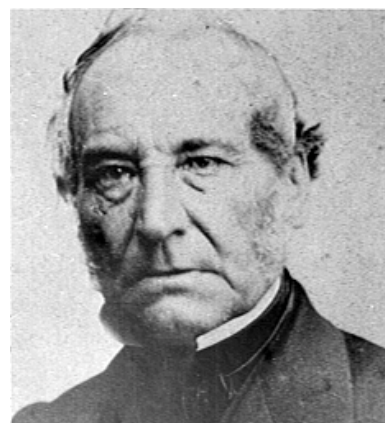
Concepția lui Haüy ilustrată prin forme cristaline derivabile dintr-o moleculă integrantă cubică



Simetria externă este rezultatul multiplicării periodice a acestor molecule integrante; romboedrul sau scalenoedrul de calcit este constituit din molecule integrante romboedrice, iar galena, spre exemplu, din molecule integrante de formă cubică. Dovada fizică a existenței unor asemenea paralelipede era, după Haüy, *clivajul*: proprietatea unor cristale de a se sparge după fețe plane. Fragmentînd calcitul în romboedri tot mai mici, s-ar ajunge la fragmente indivizibile, adică la *molecule integrante*.

Teoriile lui Haüy — care au fost anticipate într-o formă generală de **Tobern Bergman (1773)** — au avut o influență precumpănitoare în cercetările cristalografice de la începutul secolului XIX. Deși evidenția corect microperiodicitatea structurii cristaline, Haüy postula în același timp *continuitatea spațiului cristalin*, moleculele integrante fiind spațiate simetric și compact.

**Gabriel Delafosse (1843)**. A arătat că trebuie făcută o distincție între *molecula integrantă* și *molecula chimică*: "...molecula integrantă a lui Haüy nu este altceva decît cel mai mic paralelipiped pe care îl formează între ele moleculele chimice vecine și care îi marchează vîrfurile.

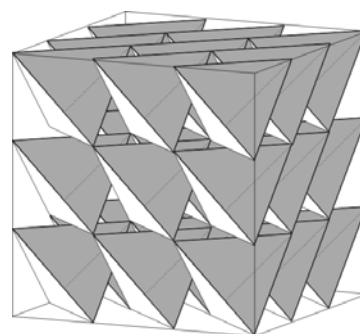
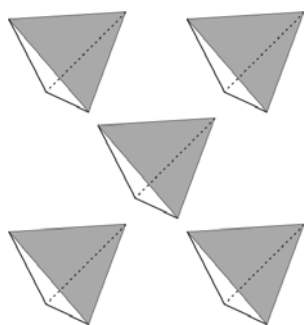


Gabriel Delafosse

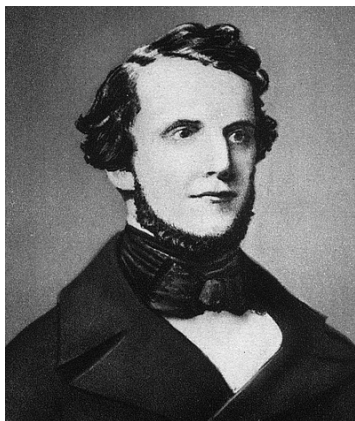
Molecula integrantă descrie geometria micilor spații intermoleculare, a golurilor sau ochiurilor rețelei cristaline. Ea este deci perfect distinctă de molecula chimică putînd avea — și avînd adesea — o cu totul altă formă. Molecula chimică este adevăratul element de atomism, chiar în afara oricăror considerații asupra stării cristaline, în timp ce particula integrantă nu este decît elementul structurii lui geometrice atunci cînd corpul se prezintă în această stare particulară..."

Delafosse a înlocuit conceptul de continuitate a materiei cristaline (admis implicit de Haüy) cu cel de *discontinuitate*. Influența formelor moleculei chimice este într-adevăr importantă; ea este suficientă pentru a explica preținsele excepții de la legea simetriei întîlnite la anumite specii minerale ca pirită, turmalina, cuarțul etc.

Implicațiile teoriilor lui Delafosse au fost profunde în primul rînd datorită evidențierii *caracterului discret* al spațiului cristalin și al faptului că moleculele pot avea o simetrie mai scăzută decît cea a rețelei ceea ce explică *hemiedria* unor cristale. Tot el a fost cel care a introdus conceptul de *rețea cristalină*.



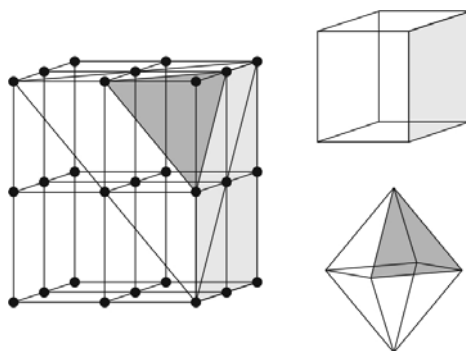
Concepția lui Delafosse ilustrată prin șiruri de molecule cu simetrie inferioară celei a rețelei. În rețeaua cubică a boracitului, cele două extremități ale unei axe ternare nu sînt identice din punct de vedere fizic.



August Bravais

**August Bravais (1848).** A arătat că fenomenul de clivaj și frecvența diferită a fețelor unor cristale sînt strîns legate de *densitatea reticulară* a planelor de rețea care corespund acestor fețe. Importanța unei fețe este cu atît mai mare cu cît densitatea reticulară căreia îi corespunde e mai mare, aceasta fiind expresia geometrică a legii raționalității care precizează că parametrii raționali sînt simpli și mici. Această *lege a lui Bravais* a fost extrem de fructuoasă; ea corespunde unei realități obiective a mediilor cristaline oferind o legătură sugestivă între proprietățile fizice și cele geometrice ale acestor medii.

În *Études cristallographiques* (1851), Bravais a studiat fenomenele generale care depind de moleculă. El a precizat că aceasta este un sistem de puncte, un adevărat poliedru, înzestrat ca și cristalul însuși, cu axe, plane de simetrie etc. Unei simetrii moleculare determinate îi corespunde o structură cristalină de asemenea determinată, iar simetria preexistentă a poliedrului molecular este cauza simetriei observate în gruparea cristalină. Dovada experimentală a existenței structurii periodice reticulare a cristalelor a apărut însă mult mai tîrziu.

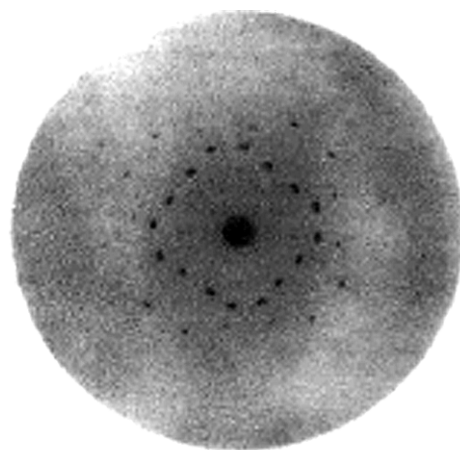


Legătura dintre planele reticulare și fețele posibile ale unui cristal.

**Max von Laue (1912).** A considerat că rețeaua discontinuă a unui cristal, datorită distanțelor extrem de mici dintre atomi, poate juca același rol față de o radiație electromagnetică cu lungime de undă foarte redusă, ca și o rețea de difracție față de lumină, adică de a provoca interferențe și de a genera figuri de difracție. Pornind de la această idee, **Friedrich și Knipping** au fost primii care au interceptat e o placă fotografică imaginea unui fascicul de radiații X reflectat de o lamă cristalină. Imaginea prezenta o pată centrală înconjurată de pete dispuse regulat și care arătau în mod evident repartizarea regulată a materiei în rețeaua cristalină.



Max von Laue



Unele dintre primele difractograme obținute de Friedrich și Knipping (sulfură de zinc).

Pentru toți acești predecesori ai cristalografiei, raportul causal între structură și fațetare avea să fie examinat oarecum invers, pornindu-se de la aspectul exterior al cristalelor. Din rațiuni de simplitate sîntem obișnuiți să tratăm în primul rînd forma exterioară — punînd problema cauzalității structură-fațetare sau structură-simetrie altfel decît ar trebui. O astfel de abordare parcurge însă etape istorice ale cunoașterii, aceleași pe care le-a străbătut și noțiunea de *cristal* care a evoluat între κρυσταλλος — gheață (care denota o credință a vechilor greci după care cristalele sînt diferite forme de apă fosilă "înghețată") și cea actuală, sfera sa de cuprindere lărgindu-se continuu pe măsura descifrării legilor de alcătuire internă a spațiului cristalin.

În accepție modernă *cristalul* reprezintă un corp solid cu structură atomică sau moleculară, spațială, periodic ordonată tridimensional care în condiții de formare bine determinate posedă o formă poliedrică. Geometria formei exterioare a cristalelor și simetria acestora sînt consecințe directe ale *structurii interne discrete* a spațiului cristalin. Discontinuitatea regulată a acestuia este și ea determinantă, deoarece operează anumite restricții (în esență, raționalizări ale metricii) în *variabilitatea formelor și în transformările de simetrie*, definind totodată *omogenitatea și anizotropia* anumitor proprietăți derivate din structură.

Opusă stării cristaline este *starea amorfă* care statistic, prezintă o structură atomică haotică reflectată în forme exterioare cu simetrie sferică sau asimetrice. Diferitele stări intermediare (sau *mezomorfe*) reprezentate de obicei prin structuri polimerice ordonate uni- sau bidimensional, sînt puțin importante pentru cristalografia mineralelor.

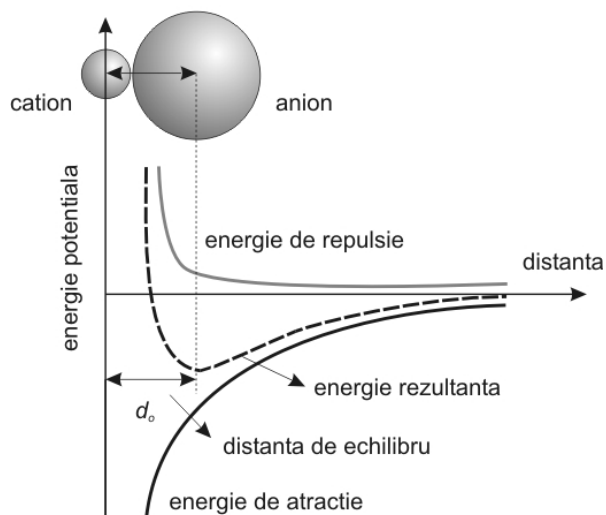
# CAUZELE FIZICE ALE PERIODICITĂȚII TRIDIMENSIONALE A CRISTALELOR

Starea cristalină este o stare de echilibru termodinamic a corpului solid, corespunzând unei *energii libere minime* a sistemului de particule din alcătuirea cristalului. Energia liberă a unui astfel de sistem este:

$$E = U - TS$$

unde U : energia internă a sistemului  
T : temperatura absolută  
S : entropia

Energia internă este determinată de *coordonatele* (distanțele inter-particule), *impulsurile* (sau energiile cinetice), și *potențialele de interacțiune*. Minimul energiei unui sistem corespunde minimului energiei părților sale componente, ținând seama de interacțiunea acestor părți. Cu alte cuvinte, starea de echilibru a unui solid corespunde unor aranjamente spațiale ale particulelor care să determine anumite energii potențiale de interacțiune minime pentru orice legătură, în condițiile unor anumite energii cinetice de vibrație termică. Energia potențială de interacțiune dintre atomi este descrisă pentru toate formele de legături chimice, de o curbă a cărei formă este redată în figura de mai jos.



La distanțe mai mari de 3 - 4 Å (pentru majoritatea legăturilor), între atomi se manifestă forțe de atracție. Acestea descresc însă destul de repede pe măsura depărtării atomilor. La apropierea lor, unul de altul, forța de atracție crește și atinge o valoare maximă, în jurul unei distanțe de 1,5 - 3 Å. Continuându-se apropierea, atracția slăbește ajungând să dispară la atingerea așa-numitei *distanțe de echilibru*. La distanțe mai mici, apar forțe de respingere care cresc brusc, făcând practic imposibilă o scădere în continuare a distanței interatomice. Cu cât panta curbei este mai mare cu atât forța de atracție sau respingere este mai mare.

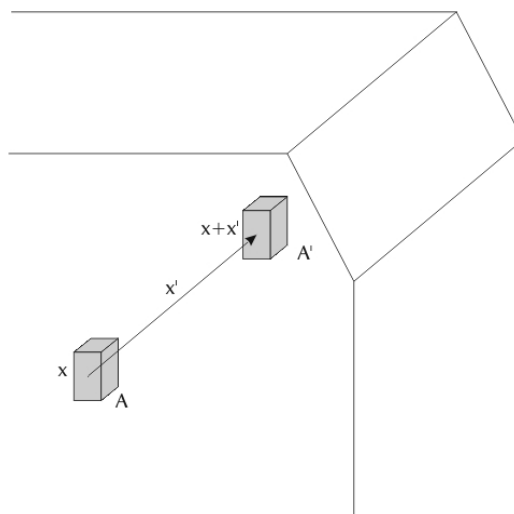
Distanțele de echilibru sînt marcate de energii de legătură minimă. Pentru a distruge legătura trebuie furnizată o energie cinetică:

$$p^2 / 2m \geq U_r$$

unde  $U_r$  : energia minimă a legăturii  
 $p$  : impulsul  
 $m$  : masa

Distanțele de echilibru diferă în funcție de tipul de atomi; diferă de asemenea, adîncimea "gropii" de potențial, adică mărimea lui  $U_r$ , dar la scara întregului cristal suma acestor energii potențiale de legătură trebuie să fie minimă. Particulele materiale (atomi, molecule) sînt fixate în nodurile rețelei, nu într-un mod imuabil, ci într-o stare de echilibru mai mult sau mai puțin stabilă, caracterizată însă, de valori mici ale energiilor de legătură.

Să considerăm un ansamblu format dintr-un număr foarte mare ("infinit") de atomi, în stare de echilibru. Delimităm în cadrul acestui volum, un domeniu mic, finit **A**, oarecare, astfel încît să conțină reprezentanți ai tuturor atomilor din sistem. Forțele interatomice au rază de acțiune mică, astfel încît minimul energiei libere la scara întregului cristal se va realiza și în volumul **A**. Se ia volumul **A'** în aceleași condiții, într-un alt loc ales arbitrar. În **A'** se va obține aceeași configurație a atomilor cu cea din **A**, dar nu numai în ceea ce privește interiorul volumului ci și în raport cu atomii din întregul sistem. Este suficient să spunem că în **A'** există un punct identic în toate privințele cu un anumit punct din **A**. Deoarece **A'** a fost ales arbitrar astfel de puncte pot fi oricîte vrem.



*Echivalentul geometric al condiției fizice de minim energetic constă din faptul că sistemul trebuie să fie omogen și simetric.* Anumite grupări de atomi trebuie să treacă unele în altele prin operații de simetrie și tot ele trebuie să transforme sistemul în el însuși. Deoarece sistemul este infinit acest lucru nu va fi posibil decît în cazul existenței unor operații care multiplică la infinit o anumită grupare de atomi. Două dintre aceste operații de ordin infinit sînt reprezentate de deplasări sau rotații infinit mici. Însă atomii și moleculele au o structură decelabilă, dimensiuni finite și simetrie proprie, astfel încît asemenea operații nu li se pot aplica. De aceea, condiția geometrică a egalității simetrice într-un sistem format dintr-un număr infinit de particule, trebuie să implice *ideea de discontinuitate, de atomism al substanței*. Operația de simetrie de ordin infinit care implică discontinuitatea este *translația discretă* (pe o anumită distanță) care se *repetă la infinit*. Fiindcă sistemul considerat de noi este extins în toate cele trei direcții, el este tridimensional și deci, cristalin.

Principiul microomogenității substanței cristaline conține atît *principiul simetriei* – într-o substanță cristalină există un număr infinit de puncte simetric egale – cît și *principiul structurii discrete* – nu toate punctele substanței cristaline sînt identice.

# LEGILE FUNDAMENTALE ALE CRISTALOGRAFIEI GEOMETRICE

**1. Legea constanței unghiurilor.** Cristalele crescute natural sau sintetic prezintă în anumite condiții fețe plane bine dezvoltate intersectate după muchii și colțuri. Cristalele individuale sînt întotdeauna convexe; ele respectă relația Euler-Descartes:

$$F + C = M + 2$$

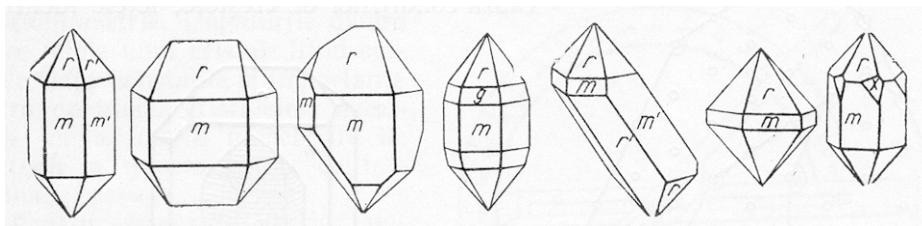
unde  $F$  : numărul de fețe  
 $C$  : numărul de colțuri  
 $M$  : numărul de muchii

Este remarcabil faptul că poliedrele cristaline ale aceleiași substanțe, în ciuda unei înfățișări destul de variate, prezintă un număr relativ redus de fețe. Unele dintre aceste fețe apar mai frecvent, iar altele mai rar. Dacă se iau cîteva cristale ale unei anumite substanțe, ele pot fi dispuse în spațiu, astfel încît unele dintre fețele lor să fie paralele între ele; astfel de fețe se numesc *corespondente*.



Nicolaus Steno

Legea constanței unghiurilor se enunță astfel: *unghiurile dintre fețele corespondente sînt egale*. Legea a fost formulată de **Niels Steensen (Nicolaus Steno)** în 1669. **Jean-Baptiste Romé de l'Isle (1783)** a verificat legea printr-un număr mare de măsurători, iar **Mitscherlich (1823)** a amendat-o arătînd că ea este valabilă numai în condiții de temperatură constantă, conductibilitatea termică (proprietate vectorială) determinînd o modificare a unghiurilor. Unghiurile se pot modifica și ca urmare a altor acțiuni exterioare ceea ce face ca într-o formulare completă legea constanței unghiurilor să sune astfel: *unghiurile dintre fețele corespondente sînt egale în condiții termodinamice date și în absența oricăror acțiuni exterioare*.



Cristale de cuarț cu fețe corespondente (după Codarcea, 1965)

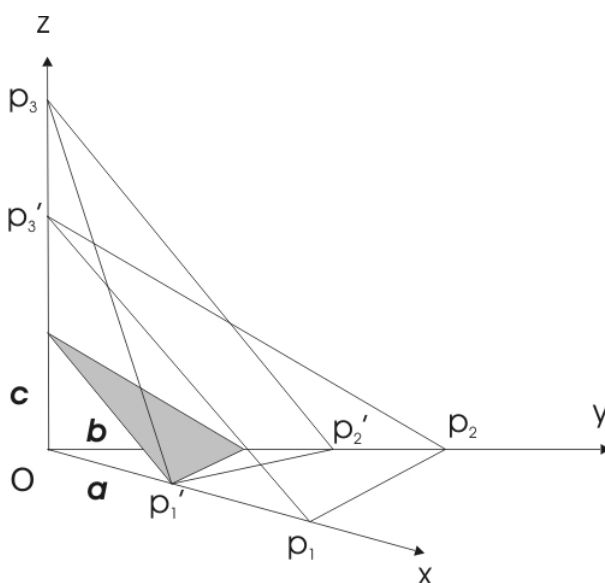
Constanța unghiurilor este o consecință directă a structurii periodice, ordonate tridimensional, a cristalelor. Determinările spațiului cristalin asupra acestei legi pot fi interpretate prin legea

Bravais care la rîndul său decurge din legea parametrilor raționali, aceasta din urmă demonstrînd existența rețelei cristaline.

**2. Legea parametrilor raționali.** Legea, numită inițial "*a descreșterilor*", a fost enunțată de Haüy în 1784: *dacă se aleg direcțiile a trei muchii necoplanare ale unui cristal drept axe de coordonate, atunci rapoartele segmentelor  $p_1, p_2, p_3$  și  $p_1', p_2', p_3'$  tăiate pe aceste axe de oricare pereche de fețe, adică așa-numiții parametri, sînt numere raționale.*

$$\begin{aligned} p_1' &= mp_1 \\ p_2' &= np_2 \\ p_3 &= op_3 \end{aligned}$$

$$\text{sau: } p_1' / p_1 : p_2' / p_2 : p_3' / p_3 = m : n : o$$



Parametrii uneia din fețele cristalului care intersectează toate axele, pot fi luați drept unități de măsură de-a lungul fiecărei axe sau, altfel spus, *versori ai periodicității* după axele respective. În acest caz ei vor purta denumirea de *parametri fundamentali (unitari)*, iar fața pe care o definesc: *față fundamentală (unitară, parametrală)*.

Dacă notăm parametrii fundamentali cu  $a, b$  și  $c$ , atunci înclinarea oricărei fețe din cristal va putea fi stabilită după relația:

$$p_1' : p_2' : p_3' = ma : nb : oc$$

Valorile  $m, n$  și  $o$  se numesc *lungimi caracteristice (numerice)* sau *parametri Weiss* ai feței oarecare  $p_1'p_2'p_3'$  și arată de cîte ori trebuie multiplicați parametrii fundamentali  $a, b, c$  pentru a obține  $p_1, p_2, p_3$ . Invers, putem afla care sînt cei mai mici factori  $h, k, l$  cu care trebuie multiplicați parametrii unei fețe oarecare  $p_1'p_2'p_3'$  pentru a obține parametrii fundamentali:

$$hp_1' : kp_2' : lp_3' = a : b : c$$

Factorii  $h, k, l$  sînt invers proporționali cu lungimile caracteristice  $m, n, o$  și poartă denumirea de *indici ai feței* sau *indici Miller*. Indicii Miller sînt mai ușor de utilizat pentru notarea fețelor în timp ce parametrii Weiss sînt de preferat pentru notarea elementelor axiale (axe de simetrie, axe de zonă, axe de coordonate). În expresie numerică, indicii Miller ai unui element planar sînt egali cu parametrii Weiss ai elementului axial perpendicular.

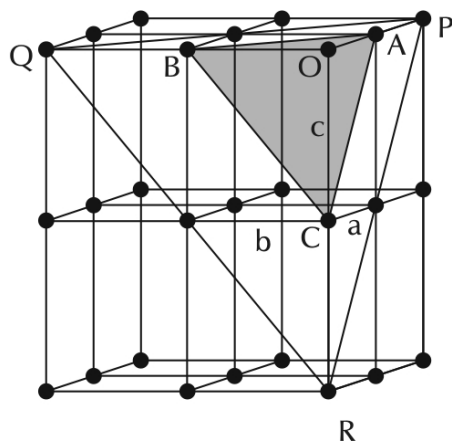


Legea parametrilor raționali determină univoc existența rețelei cristaline. Considerînd versorii de periodicitate ai acesteia ca fiind  $a_1, a_2, a_3$  orice vector al rețelei poate fi definit cu ajutorul relației:

$$t_{mno} = ma_1 + na_2 + oa_3$$

Invers, plecînd de la rețea, se poate ajunge la legea parametrilor raționali. Să considerăm trei muchii ale unui cristal OA, OB, OC ca axe de coordonate și să construim un paralelipiped ale cărui fețe AOB, AOC, BOC se intersectează în O. Fața ABC are parametri  $a, b, c$  (laturile paralelipipedului) și se ia ca față fundamentală.

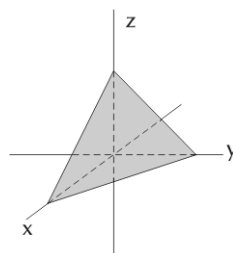
Cu ajutorul acestui paralelipiped se construiește o rețea, ducînd din origine trei șiruri conjugate de puncte omoloage pe axele OA, OB, OC, avînd parametri de șir egali cu  $a, b$  și  $c$ . Într-o astfel de rețea, numai acele plane populate cu atomi (de exemplu PQR, ABC) pot fi fețe de cristal. Pentru planul (fața) PQR nodurile sînt așezate la distanțele  $mOA, nOB, oOC$  adică  $ma, nb$  și  $oc$  față de O; aceste distanțe sînt multipli ai parametrilor șirurilor reticulare respective, numerele  $m, n$  și  $o$  fiind întregi. Dacă s-ar considera un plan definit de parametri iraționali, acel plan va trece printre noduri, prelungirea sa neîntîlnind noduri ale rețelei. Deci orice față de cristal trebuie să treacă prin trei noduri ale rețelei adică trebuie să fie un plan reticular.



Să examinăm pozițiile posibile ale unei fețe de cristal.

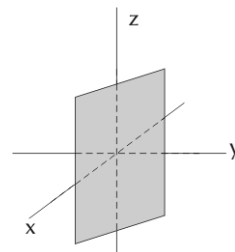
a) fața intersectează toate axele:

- parametri Weiss sînt de forma  $[ma \ nb \ oc]$
- indicii Miller  $(h \ k \ l)$



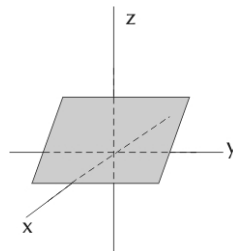
b) fața intersectează numai Ox și Oy:

- parametri Weiss sînt de forma  $[ma \ nb \ \infty c]$
- indicii Miller  $(h \ k \ 0)$



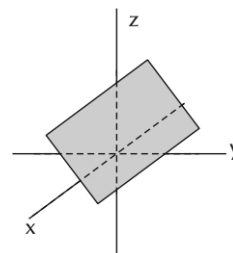
c) fața intersectează numai Ox și Oz:

- parametri Weiss sînt de forma  $[ma \ \infty b \ oc]$
- indicii Miller  $(h \ 0 \ l)$



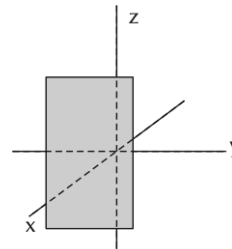
d) fața intersectează numai Oy și Oz:

- parametrii Weiss sînt de forma  $[\infty a \quad nb \quad oc]$
- indicii Miller  $(0 \ k \ l)$



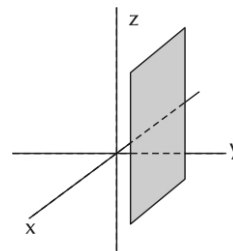
e) fața intersectează numai Ox:

- parametrii Weiss sînt de forma  $[ma \quad \infty b \quad \infty c]$
- indicii Miller  $(h \ 0 \ 0)$



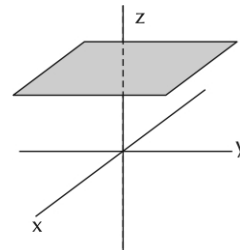
f) fața intersectează numai Oy:

- parametrii Weiss sînt de forma  $[\infty a \quad nb \quad \infty c]$
- indicii Miller  $(0 \ k \ 0)$



g) fața intersectează numai Oz:

- parametrii Weiss sînt de forma  $[\infty a \quad \infty b \quad oc]$
- indicii Miller  $(0 \ 0 \ l)$



**3. Legea zonelor.** Deoarece muchiile sînt intersecții ale fețelor, amplasarea lor în cadrul unui cristal este corelată reciproc. Condiția potrivit căreia o muchie  $[p_1 p_2 p_3]$  aparține feței  $(hkl)$  sau, ceea ce este același lucru, fața  $(hkl)$  se intersectează cu o altă față după muchia  $[p_1 p_2 p_3]$  este de forma:

$$hp_1 + kp_2 + lp_3 = 0$$

Relația decurge din legea parametrilor raționali, deci chiar din existența cristalului ale cărui rețele plane corespund fețelor macroscopice, iar dreptele formate de șiruri, muchiilor. Într-un astfel de cristal orice vector al rețelei se poate scrie în funcție de translațiile elementare.

Legitățile exprimate de această relație se cunosc sub denumirea de *lege a zonelor (Weiss)* care se poate enunța astfel: *fiecare plan paralel cu două din muchiile reale sau posibile ale unui cristal va fi o față reală sau posibilă a cristalului și reciproc, orice direcție paralelă cu dreapta de intersecție a două fețe reale sau posibile ale unui cristal este o muchie reală sau posibilă.* Legea zonelor permite ca plecînd de la fețele și muchiile studiate, să se determine noi fețe și muchii posibile (procedeul de *extindere a complexelor de fețe și muchii*).

Din relația de mai sus rezultă că pot fi paralele cu o anumită direcție — cu muchia  $[p_1 p_2 p_3]$  — cîteva fețe diferite  $(hkl)$ . Ansamblul acestor fețe se numește zonă. Muchia sau direcția  $[p_1 p_2 p_3]$  se numește *axă de zonă*.

Din două ecuații de forma:

$$hp_1 + kp_2 + lp_3 = 0$$

se poate găsi o axă a zonei din care fac parte două fețe cu indicii Miller  $(h_1k_1l_1)$  și  $(h_2k_2l_2)$  cunoscuți, deci două fețe care se intersectează după această direcție:

$$\begin{aligned}h_1p_1 + k_1p_2 + l_1p_3 &= 0 \\h_2p_1 + k_2p_2 + l_2p_3 &= 0\end{aligned}$$

din care:

$$\begin{aligned}p_1 &= k_1l_2 - l_1k_2 \\p_2 &= l_1h_2 - h_1l_2 \\p_3 &= h_1k_2 - k_1h_2\end{aligned}$$

Cel mai simplu exemplu de zonă îl constituie planele de coordonate. Astfel muchia de coordonate  $[p_100]$  este paralelă cu toate fețele de tip  $(0kl)$ .

Fiecare față are cel puțin două muchii neparalele  $[p_1p_2p_3]$  și  $[p_1'p_2'p_3']$  din care cauză aparține la cel puțin două zone. Cunoșcând parametrii celor două direcții se pot afla indicii feței respective:

$$\begin{aligned}hp_1 + kp_2 + lp_3 &= 0 \\hp_1' + kp_2' + lp_3' &= 0\end{aligned}$$

din care:

$$\begin{aligned}h &= p_2p_3' - p_3p_2' \\k &= p_3p_1' - p_1p_3' \\l &= p_1p_2' - p_1'p_2\end{aligned}$$

# PROPRIETĂȚI FIZICE MACROSCOPICE FUNDAMENTALE ALE STĂRII CRISTALINE

Existența unor fețe naturale plane reprezintă cea mai evidentă proprietate a aspectului exterior al unei substanțe cristalizate, însă aceasta este numai una din manifestările macroscopice ale structurii interne, periodic ordonate tridimensional. Un cristal poate să nu aibă o formă poliedrică — și de cele mai multe ori nici nu o are — dar orice fragment, oricât de mic, va prezenta o serie de proprietăți fizice macroscopice care permit să fie deosebit de un corp solid amorf: *omogenitatea, anizotropia și simetria*.

## 1. Omogenitatea

Noțiunea de *omogenitate macroscopică* înseamnă că în orice porțiune a substanței cristaline, toate proprietățile ei sînt identice. Însăși *măsurarea macroscopică* a unei proprietăți are în vedere că experiența se realizează pe lungimi (L), suprafețe (S) sau volume (V) ale unei părți din cristal, suficient de mari pentru ca structura discretă și microperiodicitatea să nu se manifeste, adică atunci cînd:

$$L \gg a, \quad S \gg a^2, \quad V \gg a^3$$

unde  $a$  este cea mai mare dintre dimensiunile periodice ale rețelei cristalului ( $a \approx 10 \div 15 \text{ \AA}$  în cazul majorității cristalelor). Oricare ar fi macrodomeniul dintr-un astfel de cristal ideal din care am lua o probă, aceasta va da același rezultat al analizei chimice, deoarece omogenitatea va rezulta atît din compoziția chimică cît și din starea de fază care sînt constante în volum. De asemenea, cînd ne referim la măsurarea oricărei proprietăți  $F$  a cristalului, avem în vedere că ea se desfășoară în condiții termodinamice bine determinate (presiune, temperatură și în general), altfel acțiunile exterioare n-ar fi determinate.

Prin urmare, *omogenitatea cristalină macroscopică* înseamnă *invarianța oricărei proprietăți  $F$  a acestuia cînd se trece de la măsurarea ei într-un punct  $\mathbf{x}$  ( $x_1, x_2, x_3$ ) la aceeași măsurare într-un punct oarecare  $\mathbf{x} + \mathbf{x}'$  ( $x_1 + x_1', x_2 + x_2', x_3 + x_3'$ )* adică:

$$F(\mathbf{x}) = F(\mathbf{x} + \mathbf{x}'),$$

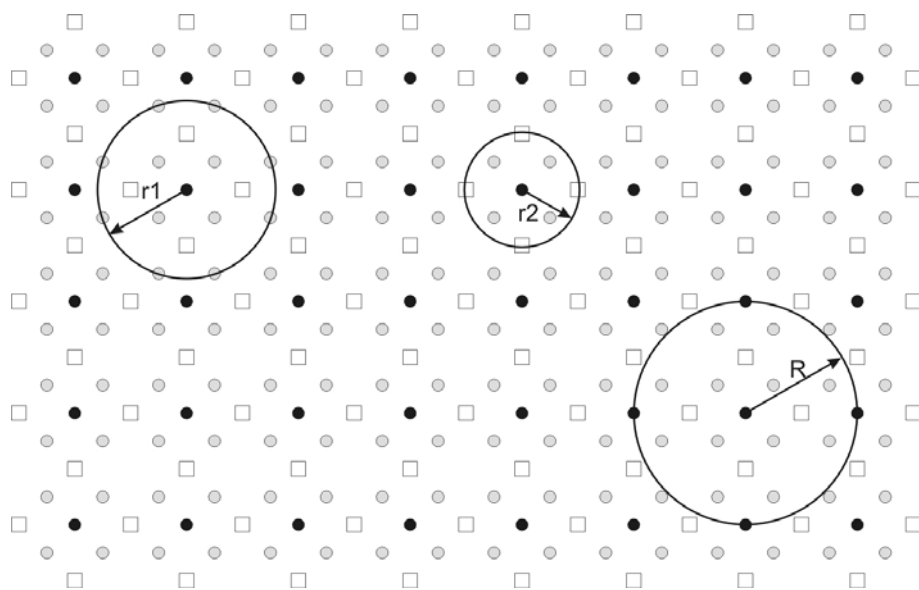
*condiția  $L \gg a$  fiind implicit satisfăcută*. Cu alte cuvinte, omogenitatea macroscopică reprezintă *invarianța proprietăților în raport cu orice translație arbitrară a axelor de coordonate în substanța cristalină (fac excepție: suprafața și stratul ei adiacent)*.

Omogenitatea macroscopică permite considerarea substanței cristaline ca pe un *continuum*, ca pe un mediu unitar și omogen. Această abordare este extrem de importantă deoarece dă posibilitatea interpretării numeroaselor proprietăți fizice ale cristalelor fără să se apeleze la structura lor discretă. Prezentată astfel, omogenitatea macroscopică este valabilă atît pentru *cristale ideale* cît și pentru *cristale reale* sau *corpuri amorfe*. În cazul acestora din urmă, trebuie analizate lungimi (L), suprafețe (S) sau volume (V), respectînd condițiile:

$$L \gg b, S \gg b^2, V \gg b^3$$

unde  $b$  este distanța medie între defecte de o anumită natură: impurități, fragmente, dislocații etc. (în cazul cristalelor reale) sau distanța medie între două particule adiacente (în cazul substanțelor amorfe). Apare evident faptul că omogenitatea macroscopică se referă la un spațiu considerat *infiniț continuu*, adică se are în vedere că toate punctele sale sînt simetric egale ceea ce este posibil numai la scară macroscopică.

La scară microscopică, iese în evidență caracterul discret al spațiului cristalin, în care nu toate punctele sînt simetric egale. Devine de aceea, necesară o altă formulare a postulatului geometric al omogenității, definindu-se așa-numita *omogenitate microscopică (discretă)*.



$R$  – rază de omogenitate;  $r_1, r_2$  – raze de discontinuitate

Un sistem de puncte cu structură discretă este *omogen microscopic* dacă există o sferă de rază  $R$ , încît oriunde ar fi luată, pe suprafața sa există cel puțin două puncte omoloage în raport cu punctul de origine.  $R$  se numește *rază de omogenitate*. Fiind vorba de o structură discretă, fiecare punct al spațiului poate fi înconjurat de o sferă de rază  $r$ , astfel încît în interiorul său să nu existe nici un alt punct omolog. Mărimea  $r$  poartă numele de *rază de discontinuitate*. Raza de discontinuitate este întotdeauna mai mică decît raza de omogenitate. Sintetizînd, se poate vorbi de:

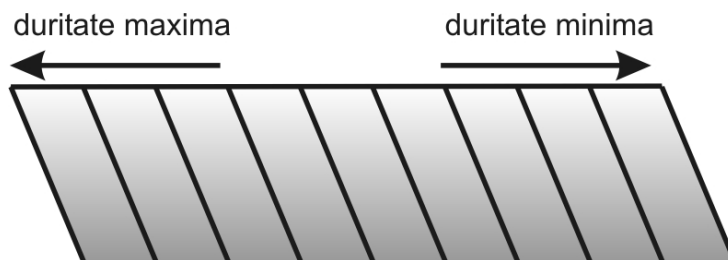
- *omogenitate reală* — definită atît la nivel macroscopic (spațiu continuu) cît și la nivel microscopic (spațiu discret);
- *omogenitate statistică* — manifestată numai la nivel macroscopic.

Omogenitatea reală este caracteristică spațiului cristalin, iar cea statistică, spațiului amorf.

## 2. Anizotropia

Unele proprietăți ale cristalelor sînt *scalare* adică nu depind de orientare (exemplu: greutatea specifică). Altele, cum ar fi conductivitatea termică, refringența, viteza de creștere etc., depind puternic de direcția după care sînt măsurate; sînt așa-numitele proprietăți *vectoriale*. Dacă acțiunea asupra cristalului este vectorială (intensitatea cîmpului electric și inducția), atunci proprietatea care descrie legătura dintre ele (permitivitatea electrică) este *tensorială*. Există mai multe tipuri de proprietăți vectoriale, acestea putînd fi:

- *univectoriale (sau polare)* : definite prin direcție, modul și sens; sînt proprietăți cu valori diferite în două sensuri opuse ale aceleiași direcții. Exemplu: variația durității la zgîriere în două sensuri opuse ale unei direcții pe o față de cristal oblică în raport cu un sistem de plane de clivaj (figura următoare).



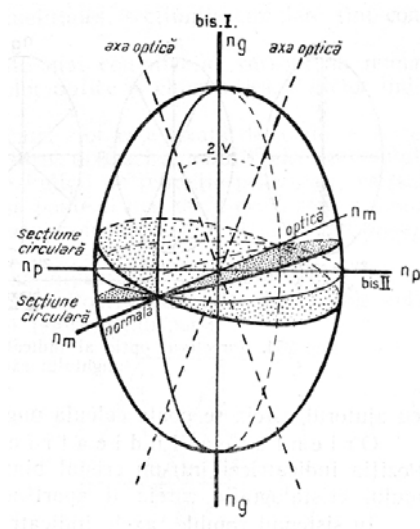
- *bivectoriale*: definite numai prin direcție și modul; sînt proprietăți cu valori egale în două sensuri opuse ale aceleiași direcții. Exemple: dilatarea termică, refringenta etc.
- *continue*: prezintă o variație continuă cu direcția; pot avea o *simetrie ridicată* (refringenta cristalelor uniaxe) sau *scăzută* (refringenta cristalelor biaxe).
- *discontinue*: prezintă o variație accentuată cu direcția. Exemple: clivajul, viteza de creștere, viteza de dizolvare etc.

Dacă proprietatea substanței nu se modifică în funcție de direcție sau, cu alte cuvinte, expresia acestei proprietăți nu depinde de orientarea sistemului de coordonate la care este raportat cristalul se spune că substanța respectivă este *izotropă* față de această proprietate. Dependența proprietăților față de direcție definește *anizotropia*. Toate cristalele sînt anizotrope, cel puțin pentru una din proprietățile lor. Anizotropia se manifestă și în forma exterioară a cristalelor, uneori deosebit de pregnant, ce de exemplu în alungirea sau aspectul lor lamelar. Ea apare limpede în proprietățile mecanice, de pildă în clivaj.

În conformitate cu legea omogenității macroscopice, putem raporta proprietatea **F** la orice punct luat arbitrar. Alegînd o origine oarecare a axelor de coordonate, anizotropia poate fi exprimată în cazul cel mai simplu ca o reprezentare a variației proprietății **F** în funcție de o direcție **n**:

$$\mathbf{F}(\mathbf{n}_1) \neq \mathbf{F}(\mathbf{n}_2)$$

Descrierea intuitivă a anizotropiei unor proprietăți se obține prin construirea *suprafețelor vectoriale (indicatrice)*, la care mărimea razei vectoriale corespunde valorii măsurate, **F**.



*Indicatricea optică biaxă: exemplu de variație a unei proprietăți (refringența) în funcție de direcție*

Anizotropia nu determină în mod necesar o variație a tuturor proprietăților, după cum nu este neapărat nevoie ca o proprietate să fie variantă după toate direcțiile. Dimpotrivă, se observă de

regulă o invarianță a proprietăților după anumite direcții care se modifică continuu sau discret, aceasta nefiind decât o altă manifestare a simetriei cristalelor.

### 3. Simetria

Simetria este una din cele mai generale legi ale fizicii și științelor naturii, în general; ea constituie baza cristalografiei, fiind caracteristică atât structurii cât și proprietăților substanței cristaline. Se mai spune uneori că simetria este *proprietatea proprietăților cristalelor*. Chiar și omogenitatea și anizotropia cristalografică pot fi definite din punct de vedere al simetriei. Astfel, omogenitatea — independența proprietăților față de punctul de măsurare — nu este altceva decât invarianța față de orice translație arbitrară a acestui punct. Anizotropia — dependența proprietăților de direcție — se manifestă ca atare în cadrul simetriei, funcțiile care exprimă aceste proprietăți fiind ele însele simetrice.

Orice obiect (funcție, proprietate, figură geometrică etc.) poate fi supus ca întreg unor transformări în *spațiul variabilelor care îl definesc*. De exemplu, în spațiul tridimensional, un obiect poate fi deplasat, rotit sau oglindit. Dacă în urma unor astfel de transformări obiectul se transformă în el însuși sau se suprapune pe o porțiune a spațiului identică cu el însuși, adică el rămîne *invariant* la această transformare, spunem despre obiectul respectiv că este *simetric*, iar despre transformare că este *simetrică* sau *automorfă* — ceea ce subliniază faptul că spațiul își conservă structura în urma producerii transformării. Transformarea obiectului în el însuși implică faptul că anumite părți ale lui vor suferi o transformare conformă cu alte părți care se află în alt loc. Aceasta semnifică existența în obiect a unor părți egale aflate unele față de altele într-o dispunere logică și nu arbitrară, astfel încît suprapunerea lor să se poată face prin operații de simetrie. "Egalitatea" părților trebuie și ea definită, adică trebuie să se știe *în ce context și după ce criterii (proprietăți, variabile etc.)* se consideră egalitatea. De altfel, în funcție de diferitele proprietăți și nivele de investigare (macroscopic, fizic etc.), un obiect poate avea simetrii diferite.

Ca orice noțiune cu o valabilitate atât de extinsă și cu manifestări atât de diverse, simetria nu este ușor de definit. Există numeroase formulări de genul:

- simetria este proprietatea figurilor geometrice de a-și repeta părțile sau, altfel spus, ca în diferite poziții să se suprapună cu poziția inițială (Fedorov, 1901);
- simetria este proprietatea obiectelor de a poseda un motiv repetabil la intervale regulate în jurul unui punct, de-a lungul unei direcții sau după un plan;
- simetria este proprietatea corpurilor de a fi bine echilibrate și proporționate;
- simetria reprezintă invarianța obiectelor la anumite transformări din spațiul variabilelor care le definesc.

Fiecare dintre acestea scot în evidență înțelesuri importante ale noțiunii, ajutînd în același timp la o mai ușoară înțelegere a sa. Uneori însă, astfel de formulări sînt considerate prea ambigue pentru anumite scopuri concrete cum ar fi acela al deducerii tuturor transformărilor simetrice posibile ale unui obiect din spațiul tridimensional. Din acest punct de vedere se poate încerca o alta definiție pe care o vom pregăti prin introducerea cîtorva noțiuni.

În spațiul tridimensional  $\mathbf{S}$  transformările simetrice conservă metrica acestuia, adică distanța între două puncte oarecare rămîne constantă în urma transformării: spațiul nu suferă încovoieri, dilatări sau contractări. De aceea se spune despre transformările simetrice ca sînt *izometrice* sau se numesc simplu *izometrii*.

**Definiție:** O izometrie  $\alpha$  este o bijecție  $\mathbf{S} \rightarrow \mathbf{S}$  cu proprietatea că pentru toate perechile de puncte  $(\mathbf{u}, \mathbf{v}) \in \mathbf{S}$ , distanța dintre  $\mathbf{u}$  și  $\mathbf{v}$  este egală cu distanța dintre  $\alpha(\mathbf{u})$  și  $\alpha(\mathbf{v})$ . Dacă, în plus, există un punct  $\mathbf{r} \in \mathbf{S}$ , astfel încît  $\alpha(\mathbf{r}) = \mathbf{r}$ , deci dacă cel puțin un punct al spațiului  $\mathbf{S}$  rămîne imobil în urma izometriei, atunci se spune despre  $\alpha$  că este o *izometrie punctuală*.



**Definiție:** Fie  $\mathbf{B}$  o submulțime de puncte din  $\mathbf{S}$  corespunzând spațiului ocupat de un obiect. Se numește *simetrie a obiectului* mulțimea tuturor izometriilor  $\alpha$  cu proprietatea că  $\alpha(\mathbf{B}) = \mathbf{B}$  (adică toate izometriile care aduc obiectul în coincidență cu sine). Aici simetria are sensul unei mulțimi și nu al unei proprietăți.

**Definiție:** Se numește *element de simetrie* al unei izometрии punctuale  $\alpha$ , mulțimea punctelor din spațiu imobile în raport cu  $\alpha$ ; un punct  $\mathbf{p} \in \mathbf{S}$  este element de simetrie a lui  $\alpha$  dacă  $\alpha(\mathbf{p}) = \mathbf{p}$ .

# OPERAȚII DE SIMETRIE

După cum arătam, simetria unui obiect poate fi studiată nu numai în sens geometric, ci și în funcție de oricare din variabilele care descriu obiectul dat. Dacă numărul total de variabile este  $m$ , atunci se poate examina domeniul lor de variație ca un *spațiu cu  $m$  dimensiuni*, coordonatele unui punct al său fiind:

$$x_1, \dots, x_i, \dots, x_m$$

Fie  $g$  o operație care să realizeze o anumită transformare a coordonatelor spațiului. Dacă notăm cu  $x$  mulțimea acestor coordonate, se poate scrie:

$$g [x_1 \dots x_m] = x'_1 \dots x'_m \quad \text{sau} \quad g [x] = x'$$

Definiție: O operație  $g$  față de care un obiect  $F$  (proprietate, funcție, figură) este invariant se numește *operație de simetrie*:

$$F (x_1 \dots x_m) = F (g [x_1 \dots x_m]) = F (x'_1 \dots x'_m) \quad \text{sau}$$

$$F (x) = F (g [x]) = F (x')$$

Pentru orice operație  $g$  care transformă variabilele  $x$  în  $x'$ , există o *transformare inversă*,  $g^{-1}$ , care va transpune pe  $x'$  în  $x$ :

$$g^{-1}[x'] = x$$

și care este tot o operație de simetrie. O operație de simetrie poate fi interpretată în două moduri echivalente: o modificare a poziției punctelor obiectului într-un sistem de axe imobil sau o modificare a sistemului de coordonate când obiectul stă pe loc. Această dublă abordare ridică o problemă importantă a înțelegerii simetriei: dacă în urma transformării față de care obiectul este invariant acesta se transformă în el însuși, atunci cum poate fi el deosebit de starea sa inițială sau cum putem ști că transformarea a avut loc? Evident, printr-un sistem de referință care să reflecte condițiile fizice sau geometrice exterioare lui, ceea ce face ca al doilea mod de abordare dintre cele amintite mai sus să fie mai adecvat.

## IZOMETRII FUNDAMENTALE ALE SPAȚIULUI TRIDIMENSIONAL

Cristalele constituie obiecte în spațiul tridimensional. De aceea, teoria clasică a simetriei cristalelor este de fapt, teoria transformărilor simetrice ale spațiului tridimensional în el însuși, în condițiile unor restricții impuse de existența rețelei cristaline.

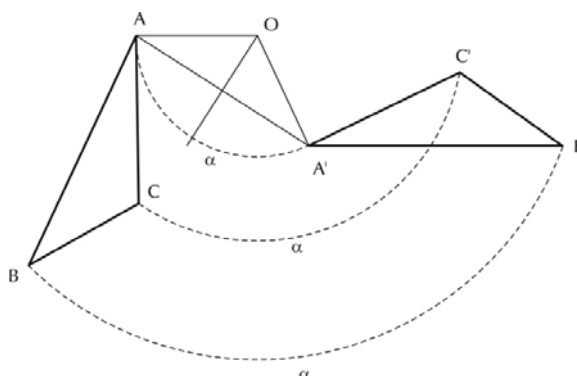
Transformările simetrice ale spațiului tridimensional sînt izometrii care pot fi reduse la un *transport paralel* numit *translație*, *rotație*, *reflexie*. Există și altă posibilitate de reducere a izometriilor și anume la *translație*, *rotație* și *rotoinversie* (Boisen și Gibbs 1985), dar în cele ce urmează nu va fi tratată decît prima variantă.

Izometriile nu se pot referi decît la părți congruente ale spațiului, însă două repere asimetrice pot fi congruente în două moduri distincte pe care le vom numi:

- *congruență de genul I*, când reperele asimetrice pot fi aduse în coincidență prin translație și rotație;
- *congruență de genul II*, când pentru a face reperele să coincidă, este nevoie și de reflexie.

Izometriile prin translație și rotație se numesc *mișcări sau transformări de genul I*, iar cele care conțin reflexia, *mișcări sau transformări de genul II*.

**Teorema lui Chasles.** Orice mișcare a unui plan care îl suprapune pe el însuși este fie o rotație, fie o translație. Considerăm două puncte cristalografice A și A' având ca repere asimetrice triunghiurile ABC și A'B'C'. Pentru a-l suprapune pe A peste A' trebuie aplicată o rotație în jurul punctului O (punct Chasles), aflat la intersecția mediatoarelor segmentelor AA', BB' și CC' sau, spre exemplu, în jurul unui punct O de pe mediatoarea lui AA' astfel încât unghiul  $\angle AOA'$  să fie egal cu unghiul dintre AB și A'B', acesta fiind și unghiul de rotație necesar. Dacă AB este paralel cu A'B', punctul O se găsește la infinit și suprapunerea se poate face prin translație.

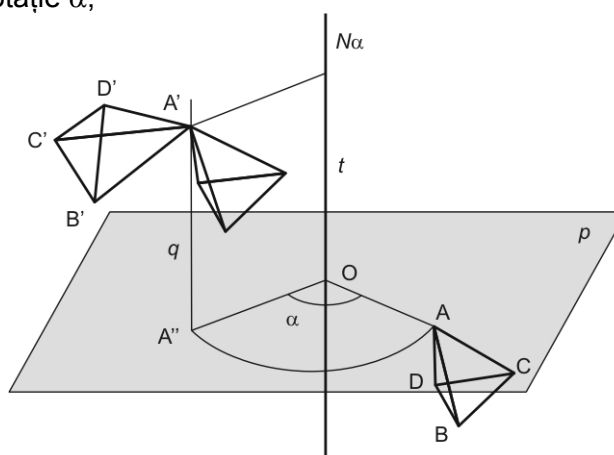


În spațiul tridimensional putem considera ca repere asimetrice fie două tetraedre congruente de genul I, fie două tetraedre congruente de genul II.

În primul caz (a se vedea figura de mai jos), cele două tetraedre ABCD și A'B'C'D' luate oricum pot fi aduse în coincidență printr-o translație și printr-o rotație cu un unghi  $\alpha$  în jurul unui ax q. Perpendicular pe q se ia un plan P care îl conține pe A; translătăm pe A'B'C'D' de-a lungul lui q, pe distanța t, astfel încât A' să ajungă în planul P. Notăm proiecția lui A' pe planul P cu A''. Se poate stabili un punct O pe mediatoarea lui AA'', astfel încât unghiul AOA' să fie  $\alpha$ . O este punctul Chasles pentru cele două tetraedre.

Dreapta N paralelă cu q și care trece prin O se numește *axă de rotație elicoidală* și are două componente:

- componenta de translație t;
- componenta de rotație  $\alpha$ ;



*Rotația elicoidală*

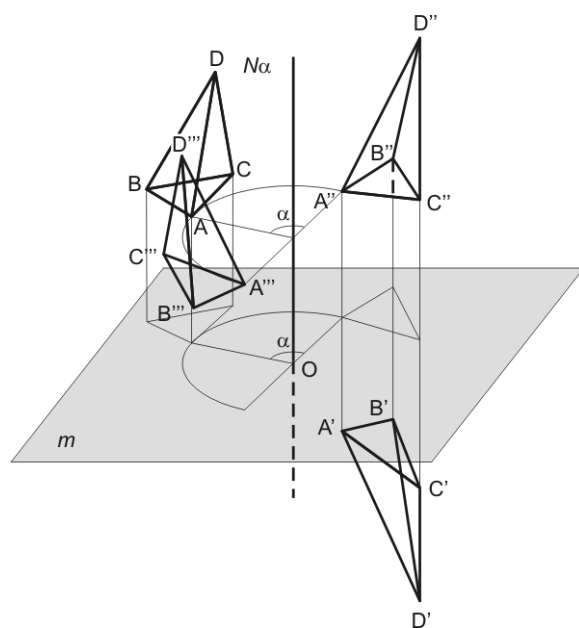
*Rotația elicoidală este cea mai generală formă de izometrie de genul I; rotația simplă și translația sînt cazuri particulare ale acestei mișcări:*

- dacă  $\alpha = 0$ , izometria este o translație simplă;
- dacă  $t = 0$ , izometria este o rotație simplă.

În mod analog se poate dovedi că cea mai generală izometrie de genul II este rotația cu oglindire care implică:

- existența unei axe  $N$  în jurul căreia se produce o rotație cu unghi  $\alpha$ ;
- existența unui plan de oglindire  $m$ .

Plasarea tetraedrelor asimetrice, congruente de genul II, se face astfel (vezi figura de mai jos): planul  $m$  intersectează pe  $N$  într-un punct  $O$ , astfel încît distanțele dintre punctele respective ( $A$  și  $A'$  etc.) și  $m$  să fie egale. Reflectîndu-l pe  $A'B'C'D'$  în  $m$  obținem tetraedrul  $A''B''C''D''$  care este congruent de genul I cu  $ABCD$  și plasat la aceeași înălțime. Dacă se rotește  $A''B''C''D''$  cu un unghi  $\alpha$  în jurul unei axe  $N$  perpendiculare pe  $m$  și care trece prin  $O$ , atunci  $A''B''C''D''$  și  $ABCD$  se suprapun.



*Reflexia cu oglindire*

Cazurile particulare ale rotației cu oglindire sînt:

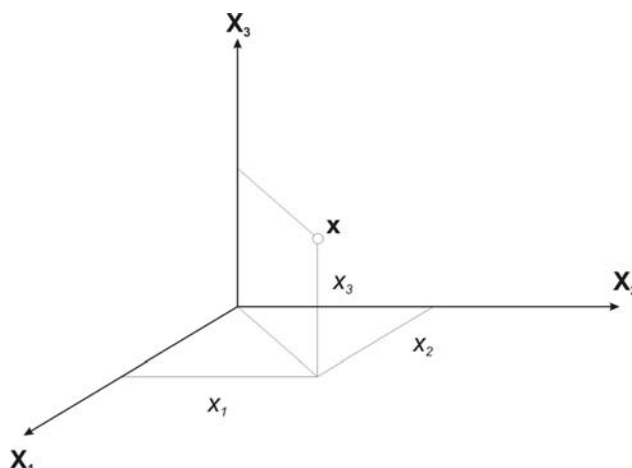
- reflexia (cînd  $\alpha = 0$ );
- reflexia cu translație (cînd  $N$  se găsește la  $\infty$ );
- inversiunea (cînd  $\alpha = \pi$ ),

adică transformarea prin *centru de simetrie* (un punct cu proprietatea că orice dreaptă care îl străbate se transformă în sine, schimbîndu-și sensul). De altfel, rotația cu oglindire poate fi înlocuită cu o *rotație combinată cu inversiune (rotoinversie)* care diferă de prima numai prin unghiul de rotație  $\beta = \alpha - \pi$ .

În spațiul cristalin, toate aceste transformări sînt posibile numai pentru anumite valori ale componentelor unghiulare. În ceea ce privește simetria formelor exterioare ale unui cristal, aceasta poate cuprinde numai izometrii punctuale (în care nu este implicată translația): rotații, reflexii, inversiuni, rotoflexii (sau rotoinversii). Din această perspectivă, nu este posibilă combinarea reflexiei cu inversiunea, ambele fiind cazuri particulare ale aceleiași izometrii generale cu componenta de  $\alpha = 0$  și respectiv,  $\alpha = \pi$ , ceea ce nu se poate obține simultan. De fapt, combinația elementelor de simetrie corespunzătoare duce la apariția unei axe de rotație de ordin par.

## SCRIEREA ANALITICĂ A OPERAȚIILOR DE SIMETRIE

Alegem în spațiu un sistem cartezian de coordonate  $X_1, X_2, X_3$ , dextrogir.



Transformarea  $g[x]$  a spațiului tridimensional este definită de următoarele ecuații:

$$[x'_1, x'_2, x'_3] = g[x_1, x_2, x_3]$$

$$x'_1 = a_{11}x_1 + a_{12}x_2 + a_{13}x_3 + a_1$$

$$x'_2 = a_{21}x_1 + a_{22}x_2 + a_{23}x_3 + a_2$$

$$x'_3 = a_{31}x_1 + a_{32}x_2 + a_{33}x_3 + a_3$$

sau, sub formă matricială:

$$x'_i = \begin{vmatrix} a_{11} & a_{12} & a_{13} \\ a_{21} & a_{22} & a_{23} \\ a_{31} & a_{32} & a_{33} \end{vmatrix} x_j + a_i \quad (i, j = 1, 2, 3)$$

sau, sub formă de operatori:

$$\mathbf{x}' = \mathbf{A}\mathbf{x} + \mathbf{t}$$

unde  $\mathbf{A}$  reprezintă transformările punctuale ( rotații simple, rotoflexii, inversii etc.), iar  $\mathbf{t}$ , translația cu componentele  $a_i$ .

Condiția de izometrie, adică de invarianță a distanțelor dintre puncte la aplicarea unei transformări are forma:

$$|x - y| = \sqrt{(x_1 - y_1)^2 + (x_2 - y_2)^2 + (x_3 - y_3)^2} = |x' - y'|$$

Suma de sub radical se poate scrie ca un produs scalar de forma:

$$\langle x - y, x - y \rangle \text{ sau, notînd } x - y \text{ cu } z, \text{ ca: } \langle z, z \rangle$$

Dacă notăm componentele vectorului  $z$  pe axele unui sistem ortogonal de axe cu  $z_1, z_2, z_3$ , atunci:

$$\langle \mathbf{z}, \mathbf{z} \rangle = \left\| \begin{bmatrix} \mathbf{z}_1 \\ \mathbf{z}_2 \\ \mathbf{z}_3 \end{bmatrix} \right\| = \mathbf{z}^t \mathbf{z}$$

Totodată,  $\mathbf{x}'$  și  $\mathbf{y}'$  se pot scrie ca:

$$\begin{aligned} \mathbf{x}' &= \mathbf{A}\mathbf{x} + \mathbf{t} \\ \mathbf{y}' &= \mathbf{A}\mathbf{y} + \mathbf{t} \end{aligned}$$

iar  $|\mathbf{x}' - \mathbf{y}'|$  se poate înlocui cu:

$$|\mathbf{x}' - \mathbf{y}'| = \sqrt{\langle \mathbf{A}\mathbf{x} + \mathbf{t} - \mathbf{A}\mathbf{y} - \mathbf{t}, \mathbf{A}\mathbf{x} + \mathbf{t} - \mathbf{A}\mathbf{y} - \mathbf{t} \rangle}$$

$$|\mathbf{x}' - \mathbf{y}'| = \sqrt{\langle \mathbf{A}(\mathbf{x} - \mathbf{y}), \mathbf{A}(\mathbf{x} - \mathbf{y}) \rangle}$$

$$|\mathbf{x}' - \mathbf{y}'| = \sqrt{\langle \mathbf{A}\mathbf{z}, \mathbf{A}\mathbf{z} \rangle}$$

$$|\mathbf{x}' - \mathbf{y}'| = \sqrt{\langle (\mathbf{A}\mathbf{z})^t, \mathbf{A}\mathbf{z} \rangle}$$

Condiția de izometrie devine:

$$\mathbf{z}^t \mathbf{z} = \mathbf{z}^t \mathbf{A}^t \mathbf{A} \mathbf{z}$$

din care rezultă că  $\mathbf{A}^t \mathbf{A} = \mathbf{I}$ , adică determinantul matricii  $\mathbf{A}$  este întotdeauna egal cu  $\pm 1$ :

$$|\mathbf{a}_{ij}| = \pm 1$$

### Cazuri particulare

a) *Translația* — constă din deplasarea tuturor punctelor  $\mathbf{x}$  ale spațiului în aceeași direcție și cu același vector unitar  $\mathbf{t}$ :

$$\mathbf{x}' = \mathbf{x} + \mathbf{t}, \quad a_{ij} = 1, \quad a_{ij} = 0 \text{ pentru } i \neq j \text{ și cel puțin una dintre valorile } a_i \text{ este nenulă};$$

b) *Rotația*

— rotația în jurul lui  $\mathbf{X}_1$ :

$$\begin{bmatrix} 1 & 0 & 0 \\ 0 & \cos \alpha & -\sin \alpha \\ 0 & \sin \alpha & \cos \alpha \end{bmatrix}$$

— rotația în jurul lui  $\mathbf{X}_2$ :

$$\begin{bmatrix} \cos \alpha & 0 & \sin \alpha \\ 0 & 1 & 0 \\ -\sin \alpha & 0 & \cos \alpha \end{bmatrix}$$

— rotația în jurul lui  $X_3$ :

$$\begin{vmatrix} \cos \alpha & -\sin \alpha & 0 \\ \sin \alpha & \cos \alpha & 0 \\ 0 & 0 & 1 \end{vmatrix}$$

— rotația cu  $120^\circ$  în jurul lui  $[111]$  — axă de ordinul 3 în sistemul cubic:

$$\begin{vmatrix} 0 & 0 & 1 \\ 1 & 0 & 0 \\ 0 & 1 & 0 \end{vmatrix}$$

c) *Reflexia.*

—reflexie după  $X_1OX_3$ :

$$\begin{vmatrix} 1 & 0 & 0 \\ 0 & -1 & 0 \\ 0 & 0 & 1 \end{vmatrix}$$

—reflexie după  $X_2OX_3$ :

$$\begin{vmatrix} -1 & 0 & 0 \\ 0 & 1 & 0 \\ 0 & 0 & 1 \end{vmatrix}$$

d) *Inversia.*

$$\begin{vmatrix} -1 & 0 & 0 \\ 0 & -1 & 0 \\ 0 & 0 & -1 \end{vmatrix}$$



## RELAȚII ȘI DIFERENȚE ÎNTRE OPERAȚIILE DE GENUL I ȘI DE GENUL II

Matricile operațiilor de genul I au determinantul egal cu 1:

$$\begin{vmatrix} a_{ij} \end{vmatrix}_{g^I} = 1$$

Produsul (efectuarea succesivă) de un număr  $q$  de ori a unei astfel de operații:  $g_1^I, g_2^I, \dots, g_q^I = g_r$  are determinantul:

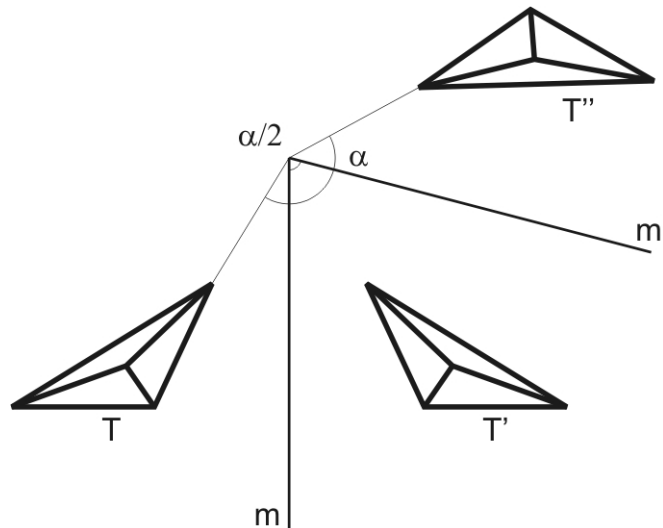
$$\begin{vmatrix} a_{ij} \end{vmatrix}_{g_r} = (+1)^q = 1$$

Deci produsul oricărui număr de operații de genul I este tot o operație de genul I.

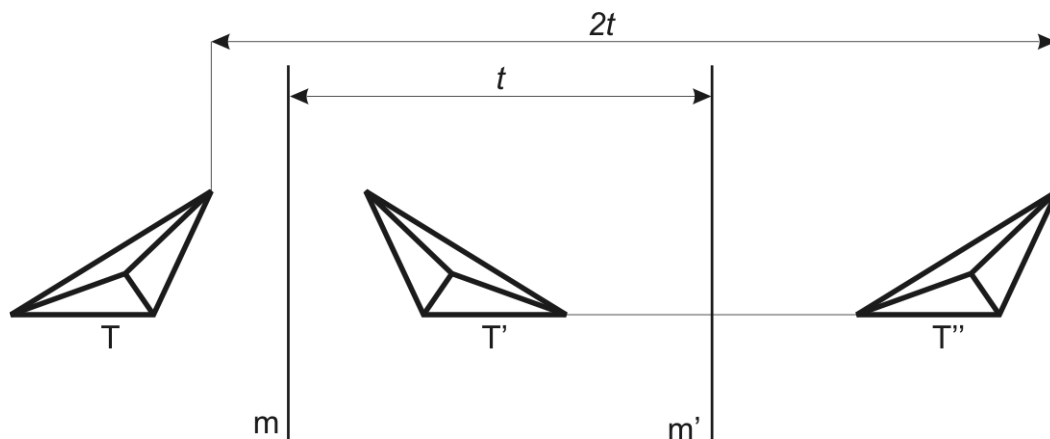
Pentru operațiile de genul II, determinantul este întotdeauna egal cu -1:

$$\begin{vmatrix} a_{ij} \end{vmatrix}_{g^{II}} = -1$$

Astfel, nici o mișcare de genul II nu poate fi obținută dintr-o mișcare de genul I. În schimb, un număr par de operații de genul II, reprezintă o operație de genul I. Spre exemplu, reflexiile succesive după două plane care fac între ele un unghi  $\alpha \neq 0$ , pot fi înlocuite cu o axă de rotație avînd unghiul elementar  $2\alpha$ .



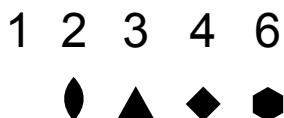
Dacă cele două reflexii se produc după plane paralele aflate la distanța  $t$ , rezultatul este o translație pe distanța  $2t$ .



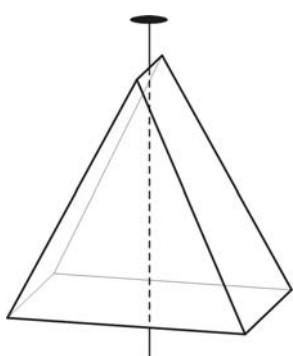
## SINTEZA ȘI NOTAȚIA ELEMENTELOR DE SIMETRIE

### ELEMENTE DE SIMETRIE SIMPLE

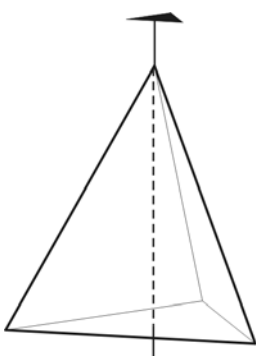
**Axa de rotație.** La rotația cu unghi elementar  $\alpha = 2\pi / N$ , numărul întreg  $N$  indică *ordinul axei* și arată de câte ori se suprapune cristalul pe el însuși în timpul unei rotații complete. În notația internațională Hermann - Mauguin, axele de simetrie sînt simbolizate printr-o cifră care indică ordinul:



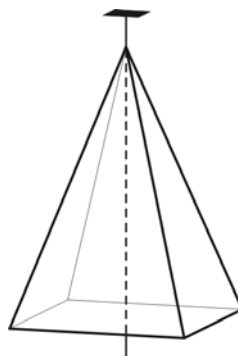
Rotația de ordin 1 corespunde unui unghi elementar  $\alpha = 2\pi$ . Toate obiectele posedă o infinitate de axe de rotație de ordinul 1. Din acest motiv, rotația de ordinul 1 nu este relevantă pentru cristalografie, operația fiind utilizată doar în formalismul matematic al simetriei, ca *operație unitate* sau *element neutru*  $e$ .



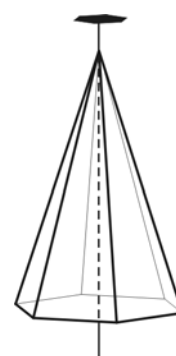
Axă de simetrie de ordinul 2 ( $\alpha = 180^\circ$ )



Axă de simetrie de ordinul 3 ( $\alpha = 120^\circ$ )

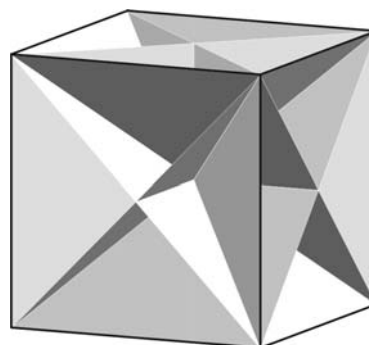
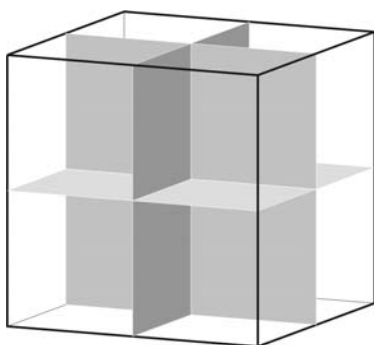


Axă de simetrie de ordinul 4 ( $\alpha = 90^\circ$ )



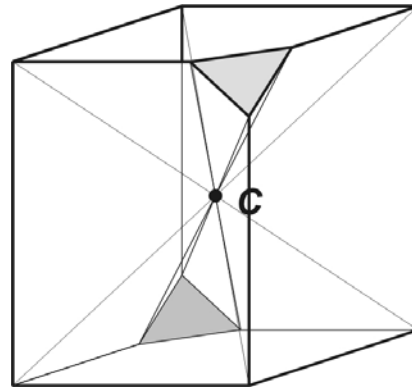
Axă de simetrie de ordinul 6 ( $\alpha = 60^\circ$ )

**Planul de reflexie sau planul de simetrie** se notează cu  $m$  de la "mirror" (oglinadă).



Plane de simetrie ale unui cristal cubic

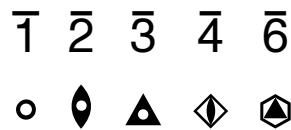
**Centrul de simetrie** reprezintă un punct din cristal de o parte și de alta a căruia, la distanțe egale se găsesc puncte simetric echivalente. Existența centrului de simetrie este relevantă, între altele, de faptul că un cristal centric are toate fețele paralele două câte două. Centrul de simetrie se notează cu  $\bar{1}$  (a se vedea explicația în cele de mai jos).



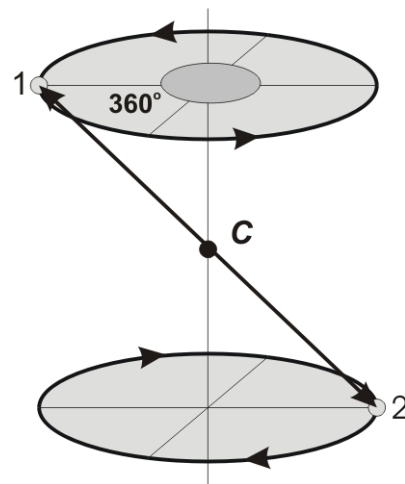
Centrul de simetrie **C** al unui cristal

## ELEMENTE DE SIMETRIE COMPUSE

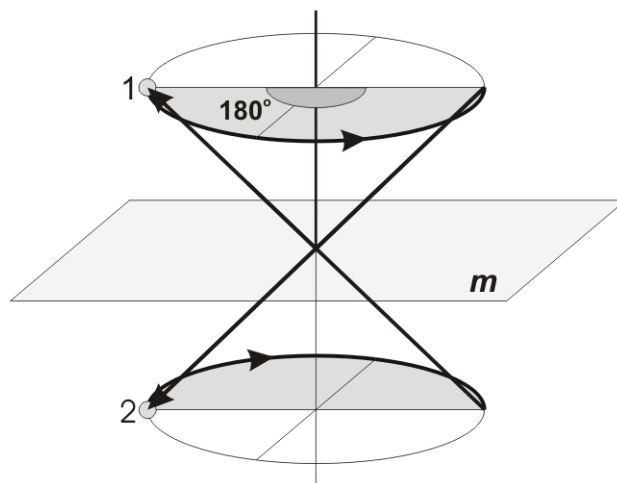
*Axa de rotoinversie* reprezintă o combinație între o rotație cu unghi „elementar”  $\alpha$  și o inversie după un punct din cristal. În principiu, acest element de simetrie combinat ar avea sens numai în măsura în care rotația cu unghi  $\alpha$  *nu ar produce o suprapunere simetrică a cristalului pe el însuși*, iar punctul de inversie *nu ar reprezenta un centru de simetrie de-sine-stătător în cristal*. Pe de altă parte, unui astfel de element i s-ar putea impune și condiția ca revenirea în poziția inițială să se facă după un număr de rotații-inversii egal cu  $N = 360^\circ/\alpha$ . După cum vom vedea în exemplele de mai jos, acest lucru nu este posibil pentru orice  $\alpha$ . În sistemul internațional, axele de rotoinversie se notează astfel:



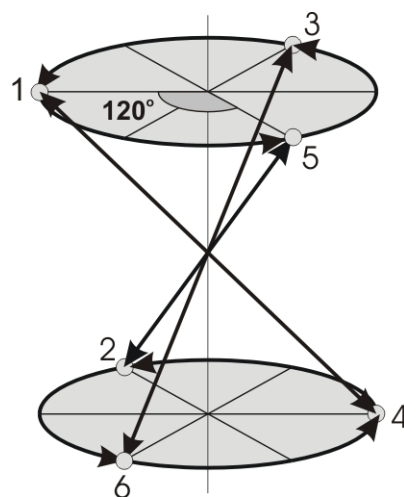
*Axa de rotoinversie de ordinul 1.* Punctul 1 – care reprezintă un punct oarecare din cristal – execută o mișcare de rotație cu un unghi  $\alpha$  de  $360^\circ$  urmată de o inversie în jurul unui punct central. Se obține punctul simetric echivalent 2. Pentru a ajunge din nou în 1, punctul 2 este supus aceluiași ciclu de mișcări. După cum se observă, rotațiile au produs suprapunerea punctelor 1 și respectiv 2, pe el însele. De asemenea, configurația finală arată că punctul 1 este simetricul lui 2 în raport cu un centru de simetrie de-sine-stătător în cristal. Din acest motiv, vom folosi simbolul  $\bar{1}$  al axei de rotoinversie de ordinul 1 pentru a desemna existența centrului de simetrie.



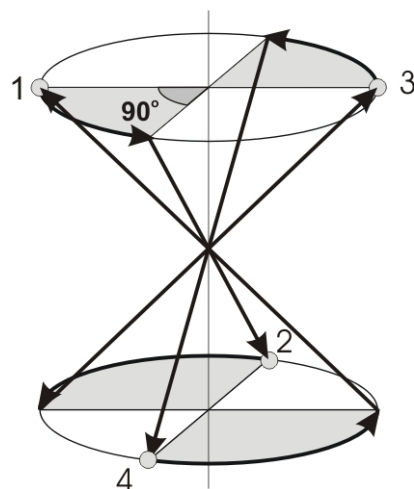
**Axa de rotoinversie de ordinul 2.** punctul 1 – execută o mișcare de rotație cu un unghi  $\alpha$  de  $180^\circ$  urmată de o inversie în jurul unui punct central. Se obține punctul simetric echivalent 2 de la care, pentru a reveni în 1, se efectuează un nou ciclu de rotație și inversie. Cele două rotații nu au condus fiecare în parte la suprapuneri simetrice, iar configurația finală arată nu denotă existența unui centru de simetrie de-sine-stător. De asemenea, rotoinversia s-a încheiat în două mișcări, în conformitate cu ordinul prescris al axei. Cu toate acestea, se observă că punctele 1 și 2 sînt reciproc simetrice printr-un plan de simetrie  $m$  perpendicular pe axa  $\hat{2}$ . De aceea, nu vom utiliza axele de rotoinversie de ordinul 2, preferînd înlocuirea acestora cu plane de simetrie.



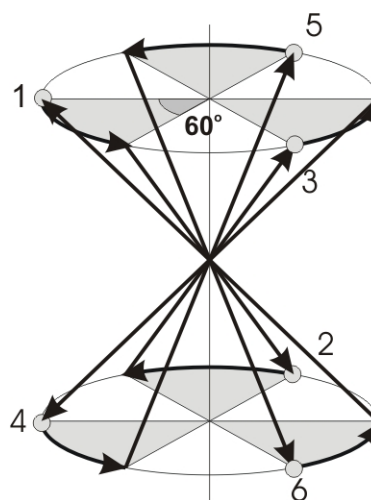
**Axa de rotoinversie de ordinul 3.** Reprezintă un alt exemplu de abatere de la regula suprapunerii simetrice în urma aplicării separate a unei componente de rotoinversie, precum și a celei privind compatibilitatea dintre ordinul axei și numărul de rotoinversii necesar completării ciclului. În cazul acestei axe, practic, toate rotațiile întîlnesc puncte simetric echivalente, iar configurația finală a punctelor denotă prezența unui centru de simetrie. Este de urmărit însă, echivalența acestei axe cu cea de roto-reflexie de ordinul 6, descrisă mai departe, în acest capitol.



**Axa de rotoinversie de ordinul 4.** În acest caz, punctele simetric echivalente se obțin numai prin aplicarea concomitentă a unei rotații și a unei inversii. De asemenea, ciclul complet se încheie după patru mișcări, în concordanță cu ordinul axei.

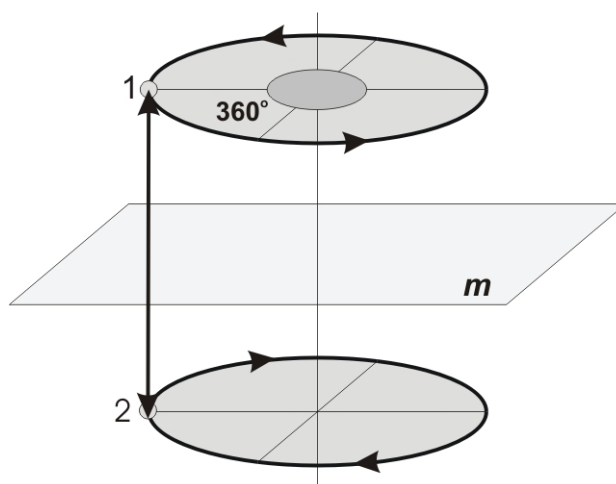


**Axa de rotoinversie de ordinul 6.** Această axă respectă la rândul său regula suprapunerilor simetrice și a numărului de mișcări de rotoinversie pentru o rotație completă. Configurația finală a punctelor simetric echivalente corespunde unui cristal lipsit de centru de simetrie.

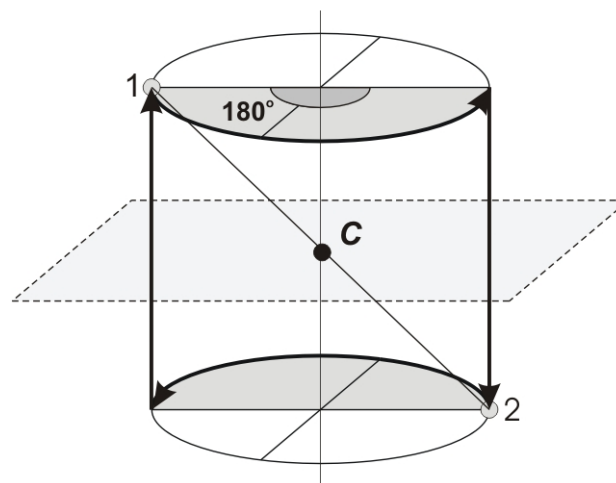


**Axa de rotoflexie** presupune aplicarea combinată a unei rotații cu unghi „elementar”  $\alpha$  și a unei reflexii după un plan perpendicular pe axa de rotație. Și în acest caz se poate impune regula ca rotațiile separate să nu conducă la suprapuneri simetrice, iar planul de reflexie să nu constituie un plan de simetrie în cristal. În plus, la fel ca în cazul rotoinversiei, se poate impune ca numărul de rotoflexii necesare completării unui ciclu de suprapuneri să fie egal cu ordinul axei respective.

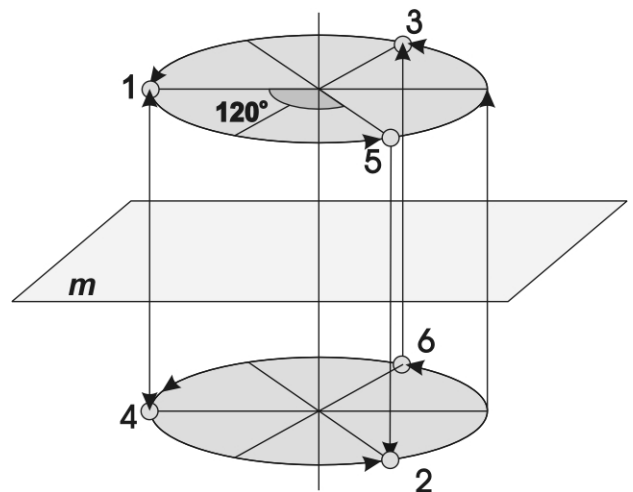
**Axa de rotoflexie de ordinul 1.** Această axă produce suprapuneri simetrice în urma aplicării componentelor de rotație. Ciclul complet de transformări se produce prin două mișcări de rotoinversie, iar ansamblul final al punctelor denotă prezența unui plan de simetrie perpendicular pe axa de rotoinversie. Această axă echivalează cu  $\bar{2}$ , putînd fi înlocuită cu un plan de simetrie.



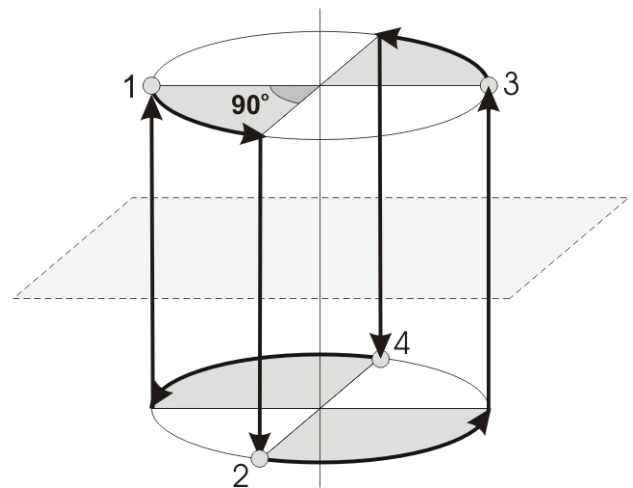
**Axa de rotoflexie de ordinul 2.** Prin rotirea punctului 1 cu  $180^\circ$  și reflectarea acestuia după un plan perpendicular pe axa de rotație, se generează punctul simetric echivalent 2. La rîndul său, punctul 2 este rotit și reflectat suprapunîndu-se simetric peste punctul inițial 1. Se remarcă echivalența acestei axe cu cea de rotoinversie de ordinul 1. Așadar axa de rotoflexie de ordinul 2 reprezintă centrul de simetrie.



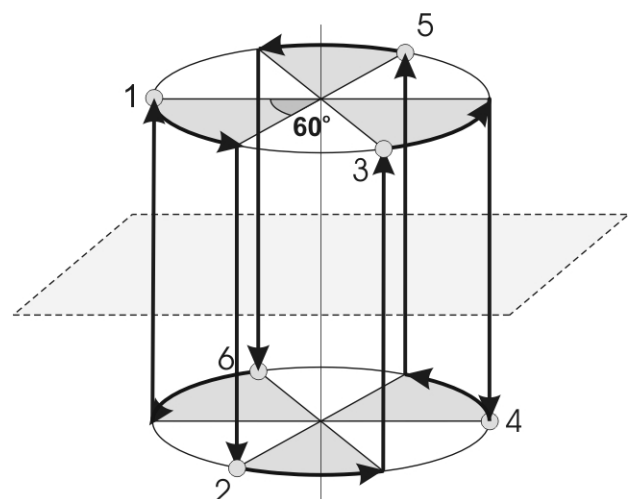
**Axa de rotoflexie de ordinul 3.** Această axă reprezintă un nou exemplu de abatere de la condiția impusă privind suprapunerile simetrice rezultate în urma aplicării rotațiilor. De asemenea, se observă că planul utilizat în mișcarea de rotoflexie este de fapt, un plan de simetrie al cristalului. Ciclu complet de transformări se realizează din șase mișcări. Axa echivalează cu cea de rotoinversie de ordinul 6.



**Axa de rotoflexie de ordinul 4.** Axa relevă un comportament pe deplin conform cu regula impusă mai sus. Nu apar suprapuneri prin rotație, iar planul utilizat nu are funcție de plan de simetrie. Această axă echivalează cu  $\bar{4}$ .



**Axa de rotoflexie de ordinul 6.** Această axă încheie un ciclu complet de transformări din șase rotații de câte  $60^\circ$  combinate cu reflexii după un plan care nu funcționează ca plan de simetrie independent în cristal. Axa reprezintă echivalenta unei axe  $\bar{3}$ .



Recapitulînd, între axele de rotoinversie și cele de rotoflexie descrise, se constată următoarele echivalențe :

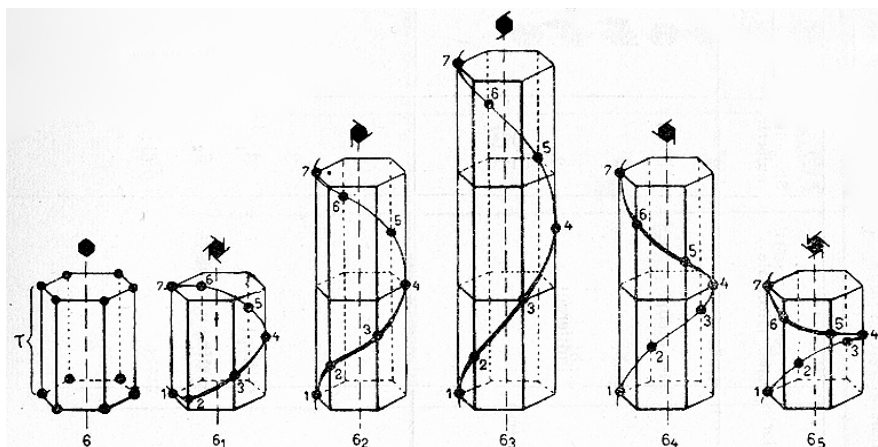
Axă de rotoinversie	Axă de rotoflexie echivalentă	Alte elemente de simetrie echivalente	Simbol utilizat în sistemul internațional de notare
Ordinul 1	Ordinul 2 *	Centru de simetrie	$\bar{1}$
Ordinul 2	Ordinul 1	Plan de simetrie perpendicular pe axă	m
Ordinul 3	Ordinul 6	Axă simplă de ordinul 3 + centru de simetrie	$\bar{3}$ **
Ordinul 4	Ordinul 4	Axă de ordinul 2	$\bar{4}$
Ordinul 6	Ordinul 3	Axă simplă de ordinul 3 perpendiculară pe un plan de simetrie	$\bar{6}$

\* Căsuțele umbrite indică axe «proprie» - care nu generează suprapuneri de rotație și nici nu conduc la apariția centrului de simetrie sau a unui plan de simetrie

\*\* Din rațiuni de omogenizare a scrierii, în sistemul internațional se păstrează notația  $\bar{3}$ , aceasta desemnînd însă fie combinația 3 +  $\bar{1}$ , fie o axă "proprie" de rotoflexie de ordinul 6.

Elementele enumerate sînt caracteristice atît izometriilor punctuale cît și celor spațiale. În simetria spațială apar elemente cu componente de translație.

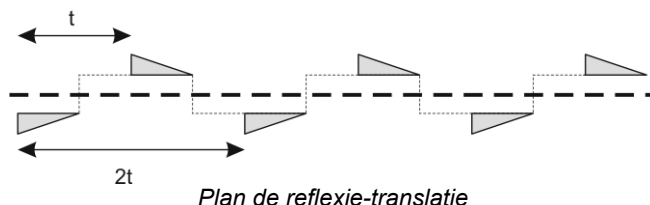
**Axa de rotație elicoidală** combină o componentă de rotație  $\alpha = 2\pi / N$  și una de translație  $t = q \cdot t_i / N$ , unde N este ordinul de rotație (2,3,4,6), q este *indicele rotației elicoidale* și reprezintă fracțiunea din translația completă t corespunzătoare unei rotații de 360°, la care se obține un punct simetric echivalent în urma unei rotații dextrogire cu unghi  $\alpha$ . Pentru  $q < N/2$ , axele elicoidale sînt *dextrogire*, iar pentru  $q > N/2$ , *levogire*. Cînd  $q = N/2$ , mișcările în ambele sensuri sînt echivalente, axele fiind și drepte și stîngi în același timp. Axa elicoidală se notează  $N_q$ . De exemplu, notația  $6_2$  arată că multiplicările simetrice corespunzătoare unui unghi  $\alpha = 360^\circ/6$  au loc la distanțe egale cu  $2/6 = 1/3$  din translația totală.



Axe de rotație elicoidală de ordinul 6. Se observă că  $6_1$  și  $6_2$  (axe dextrogire) sînt enantiomorfe axelor  $6_5$  și respectiv  $6_4$  (axe levogire)



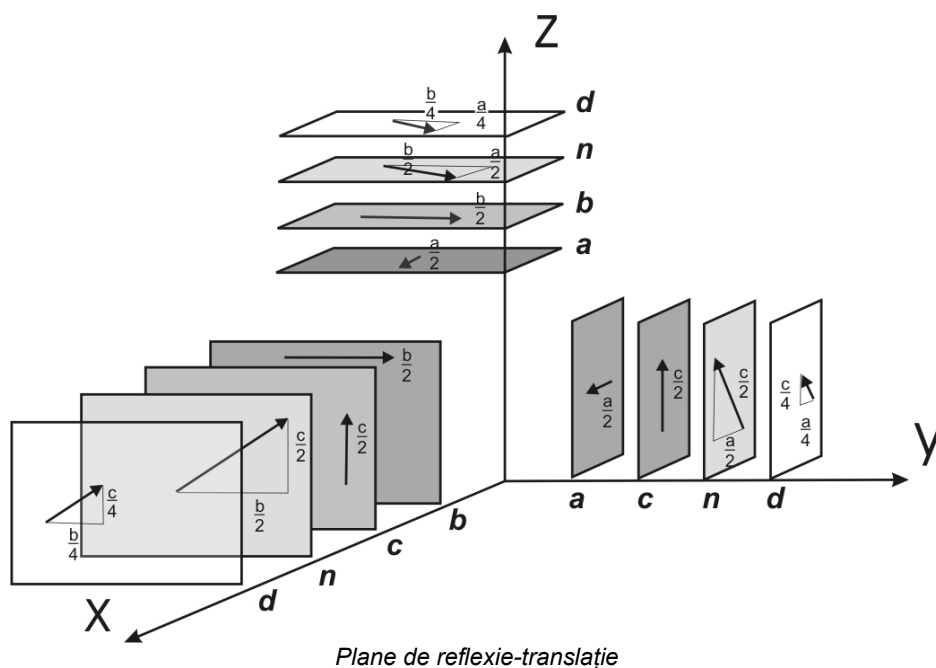
*Planul de reflexie-translație (alunecare)* combină o operație de reflexie după un plan care nu reprezintă plan de simetrie al rețelei cristaline, cu o translație  $t$  în direcția planului. Prin repetarea operației de reflexie-translație, componenta  $t$  se dublează, iar distanța obținută —  $2t$ , trebuie să coincidă cu periodicitatea rețelei cristaline în direcția respectivă.



Planele de reflexie-translație se notează cu  $a$ ,  $b$ ,  $c$ ,  $n$  sau  $d$ , după cum urmează:

Plan de reflexie-translație	Direcția și lungimea translației	Axe de coordonate perpendiculare
<b>a</b>	În lungul axei X, cu o semilungime din perioada acestei axe ( $\frac{a}{2}$ )	Y sau Z
<b>b</b>	În lungul axei Z, cu o semilungime din perioada acestei axe ( $\frac{b}{2}$ )	X sau Y
<b>c</b>	În lungul axei Y, cu o semilungime din perioada acestei axe ( $\frac{c}{2}$ )	X sau Z
<b>n</b>	În una din direcțiile cu componentele: $\frac{a}{2}, \frac{b}{2}; \frac{a}{2}, \frac{c}{2}$ sau $\frac{b}{2}, \frac{a}{2}$ cu o lungime egală cu $\frac{\sqrt{a^2 + b^2}}{2}; \frac{\sqrt{a^2 + c^2}}{2}; \frac{\sqrt{b^2 + c^2}}{2}$	X, Y sau Z
<b>d</b>	În una din direcțiile cu componentele: $\frac{a}{4}, \frac{b}{4}; \frac{a}{4}, \frac{c}{4}$ sau $\frac{b}{4}, \frac{a}{4}$ cu o lungime egală cu $\frac{\sqrt{a^2 + b^2}}{4}, \frac{\sqrt{a^2 + c^2}}{4}$ sau $\frac{\sqrt{b^2 + c^2}}{4}$	X, Y sau Z

În figura următoare este redat sinopticul planelor de reflexie-translație.



## SISTEME DE CRISTALIZARE

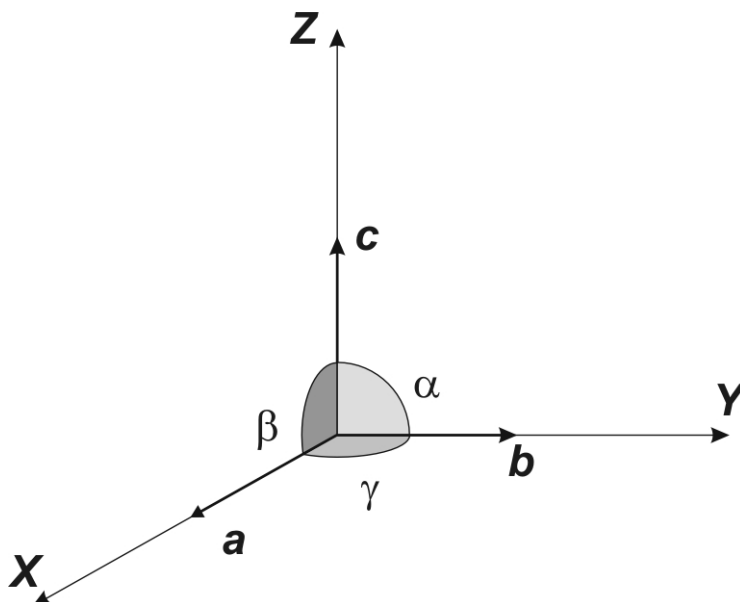
Fiecare cristal are un set caracteristic de transformări de simetrie. În funcție de aceste transformări, cristalele se pot clasifica în *șapte sisteme cristalografice*:

Sistem cristalografic	Simetria diagnostică (minimală)
Cubic	Patru axe de ordinul 3
Tetragonal	O axă (principală) de ordinul 4 simplă sau de rotoinversie
Hexagonal	O axă (principală) de ordinul 6 simplă sau de rotoinversie
Trigonal	O axă (principală) de ordinul 3 simplă sau de rotoinversie
Rombic	Ordinul maxim al axelor de simetrie este 2; există cel puțin trei elemente de simetrie
Monoclinic	O axă de ordinul 2 și/sau un plan de simetrie perpendicular
Triclinic	Fără axe sau plane de simetrie; simetria maximă este reprezentată de un centru de simetrie

## SISTEME DE AXE DE REFERINȚĂ

Efectuarea unor măsurători și calcule cristalografice, precum și tratamentul matematic al operațiilor de simetrie impun raportarea cristalelor la un sistem de axe de referință. Pentru a facilita aceste măsurători, sistemele de axe de referință pot lua diverse forme în funcție de simetria caracteristică a cristalelor. Parametrii unui sistem dextrogir de axe de coordonate X,Y,Z sînt următorii:

$\alpha$  – unghiul dintre axele Y și Z  
 $\beta$  – unghiul dintre axele X și Z  
 $\gamma$  – unghiul dintre axele X și Y  
 $a$  – versorul (vectorul elementar, perioada) axei X  
 $b$  – versorul axei Y  
 $c$  – versorul axei Z



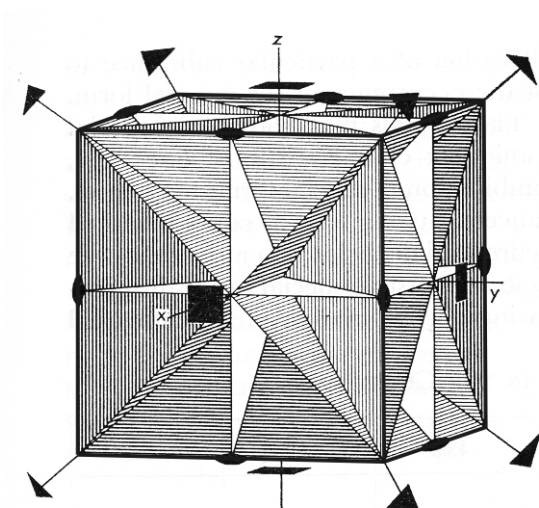
Ansamblul acestor parametri poartă denumirea de *relație axială*, el caracterizînd complet un sistem de axe de referință.

Pentru ca astfel de sisteme de axe să fie eficiente din punct de vedere al măsurătorilor cristalografice, acestea trebuie orientate judicios în funcție de simetria cristalului. Există șase astfel de sisteme de axe de coordonate, numite *singonii*, ale căror relații axiale și reguli de orientare cristalografică sînt redată în tabelul următor.

Singonia	Relația axială	Sistem cristalografic	Orientarea cristalografică
Cubică	$a = b = c$ $\alpha = \beta = \gamma = 90^\circ$	Cubic	Cele trei axe de coordonate (identice) se orientează paralel cu cele trei axe 4, $\bar{4}$ sau 2
Tetragonală	$a = b \neq c$ $\alpha = \beta = \gamma = 90^\circ$	Tetragonal	Axa Z se orientează paralel cu unica axă 4 sau $\bar{4}$ . Axele X și Y (identice) se orientează perpendicular pe plane care conțin axa principală sau paralel cu axe de ordinul 2 perpendiculare pe axa principală
Hexagonală	$a = b \neq c$ $\alpha = \beta = 90^\circ; \gamma = 120^\circ$	Hexagonal Trigonal	Axa Z se orientează paralel cu unica axă de 6, $\bar{6}$ , 3 sau $\bar{3}$ . Axele X și Y (identice) se orientează perpendicular pe plane care conțin axa principală sau paralel cu axe de ordinul 2 perpendiculare pe axa principală
Rombică	$a \neq b \neq c$ $\alpha = \beta = \gamma = 90^\circ$	Rombic	Axele X,Y,Z se orientează perpendicular pe planele de simetrie sau paralel cu axele 2. Dacă există o singură axă 2, aceasta va fi paralelă cu axa Z. De preferință, axa Z va fi paralelă cu zona (alungirea) cea mai dezvoltată a cristalului.
Monoclinică	$a \neq b \neq c$ $\alpha = \gamma = 90^\circ; \beta \neq 90^\circ$	Monoclinic	Axa Y se orientează paralel cu unica axă 2 și/sau cu unica normală la planul de simetrie. Axa Z se alege perpendiculară pe Y și paralelă cu zona (alungirea) cea mai dezvoltată a cristalului. Axa X se alege perpendiculară pe Y și paralelă cu o muchie reală sau posibilă din zona rămasă disponibilă.
Triclinic	$a \neq b \neq c$ $\alpha \neq \beta \neq \gamma \neq 90^\circ$	Triclinic	Cele trei axe se orientează paralel cu cele trei axe de zonă sau cu muchii reale sau posibile ale cristalului

### REPREZENTAREA MORFOLOGIEI ȘI SIMETRIEI CRISTALELOR – PROIECȚIA STEREOGRAFICĂ

Reprezentarea a morfologiei unui cristal și a elementelor de simetrie caracteristice acestuia poate prin proiecție stereografică constituie un mijloc facil și eficient de redare grafică, permițând în același timp măsurarea precisă a unghiurilor dintre diverse direcții ale cristalului. Această reprezentare este menită să înlocuiască o redare în axonometrie sau perspectivă care, deși mai intuitivă, este mult mai laborioasă, necesitând mijloace tehnice și îndemânare mult mai avansate. De altfel, reprezentarea în axonometrie sau perspectivă permite într-o mult mai mică măsură citirea directă a unor unghiuri caracteristice.

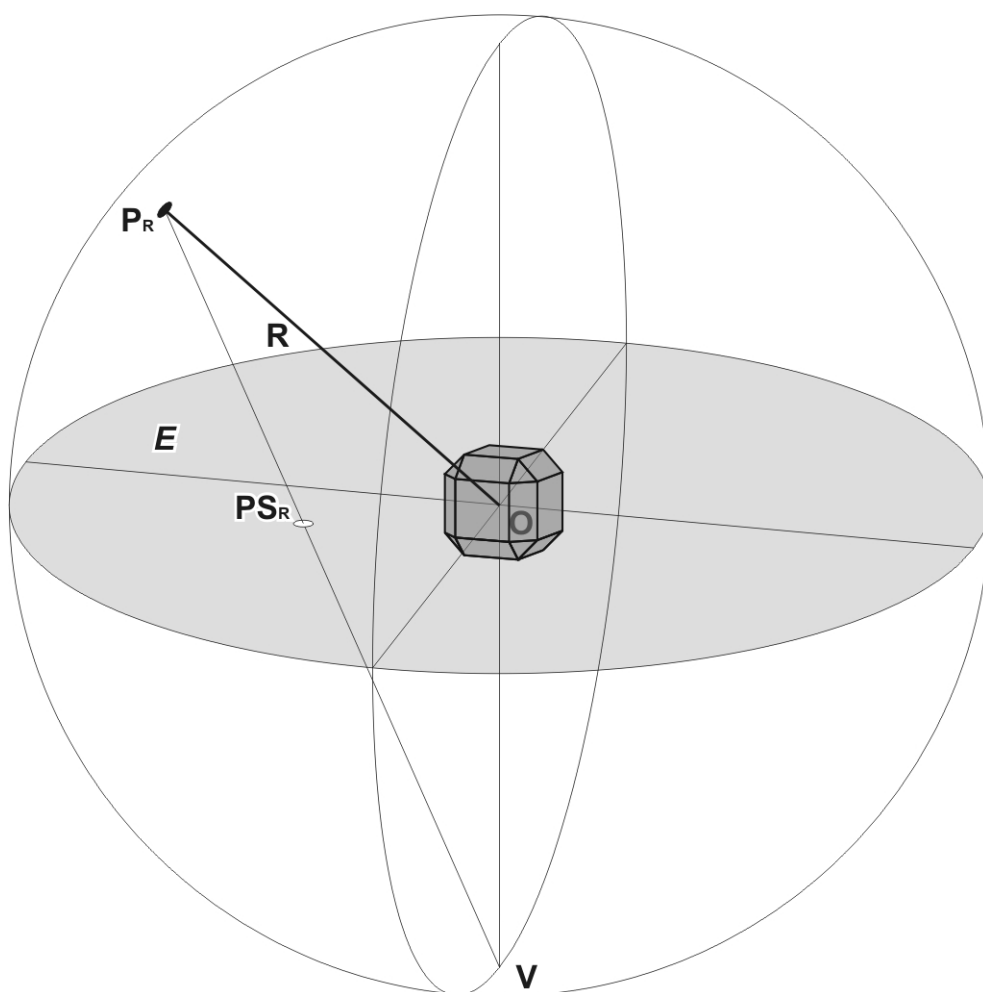


*Morfologia și elementele de simetrie ale unui cristal cubic redat în axonometrie. Încercați ca printr-un simplu examen vizual să determinați unghiul dintre o axă de ordinul 4 și o axă învecinată de ordinul 3.*

## PRINCIPIUL PROIECȚIEI STEREOGRAFICE

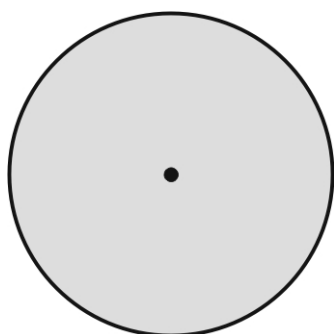
Se consideră un cristal plasat în centrul unei sfere de rază nedeterminată. Notăm cu **R** o direcție din acest cristal (ex. o axă de ordinul 3) și cu **M** un plan (ex. un plan de simetrie diagonal al cristalului cubic).

**Proiecția stereografică a unei direcții.** Prelungim direcția **R** pînă cînd intersectează sfera de proiecție. Punctul **P<sub>R</sub>** reprezintă *proiecția sferică a direcției R*. Unim polul emisferei opuse – numit *punct vizual V* – cu proiecția sferică **P<sub>R</sub>**. Punctul de intersecție **PS<sub>D</sub>** al segmentului **VP<sub>R</sub>** cu planul ecuatorial **E** al sferei reprezintă *proiecția stereografică a direcției R*.

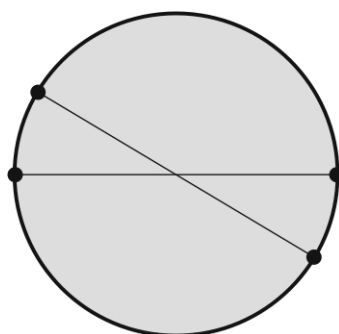


*Proiecția stereografică a unei direcții R.*

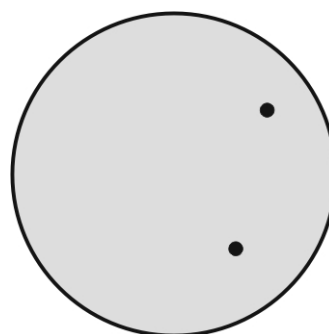
Așadar, proiecția stereografică a unei direcții este reprezentată de un punct. Putem distinge următoarele cazuri particulare:



*Direcție verticală*

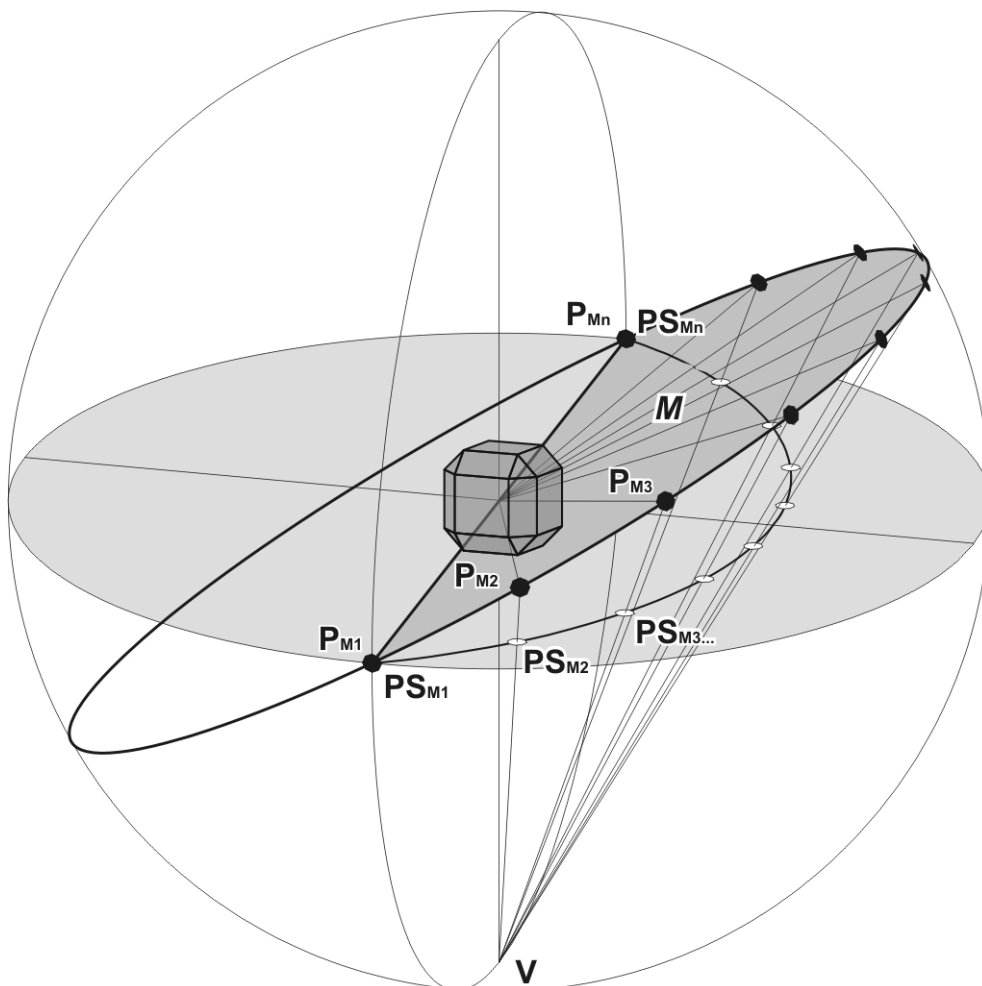


*Direcții orizontale*



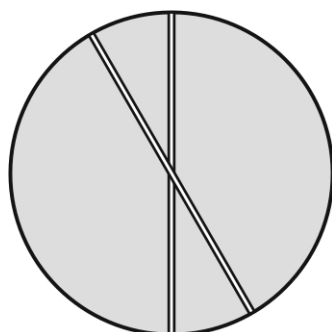
*Direcții înclinate*

**Proiecția stereografică a unui plan.** Prelungim planul  $M$  pînă cînd intersectează sfera de proiecție. Urma lăsată de plan pe suprafața sferei reprezintă *proiecția sferică a planului  $M$*  (redată în figura următoare ca o succesiune infinită de puncte  $PM_1, PM_2...PM_n$ ). Putem considera aceste puncte ca reprezentând proiecții sferice ale unor direcții care emerg radial din centrul planului. La fel ca în cazul precedent, această urmă – sau această succesiune de proiecții sferice – va fi privită din polul opus  $V$ . Intersecțiile tuturor traseelor vizuale  $VPM_n$  cu planul  $E$  vor forma *proiecția stereografică a planului  $M$* .

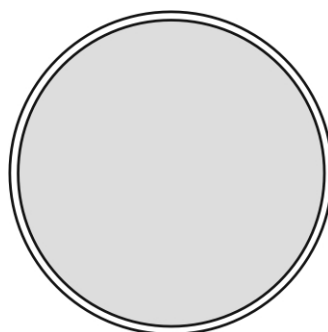


*Proiecția stereografică a unui plan  $M$ .*

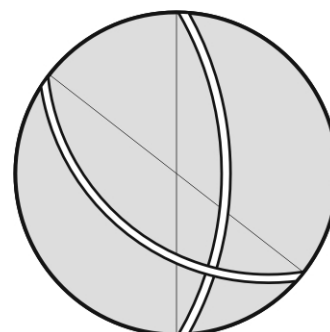
Putem distinge următoarele cazuri:



*Plane verticale*

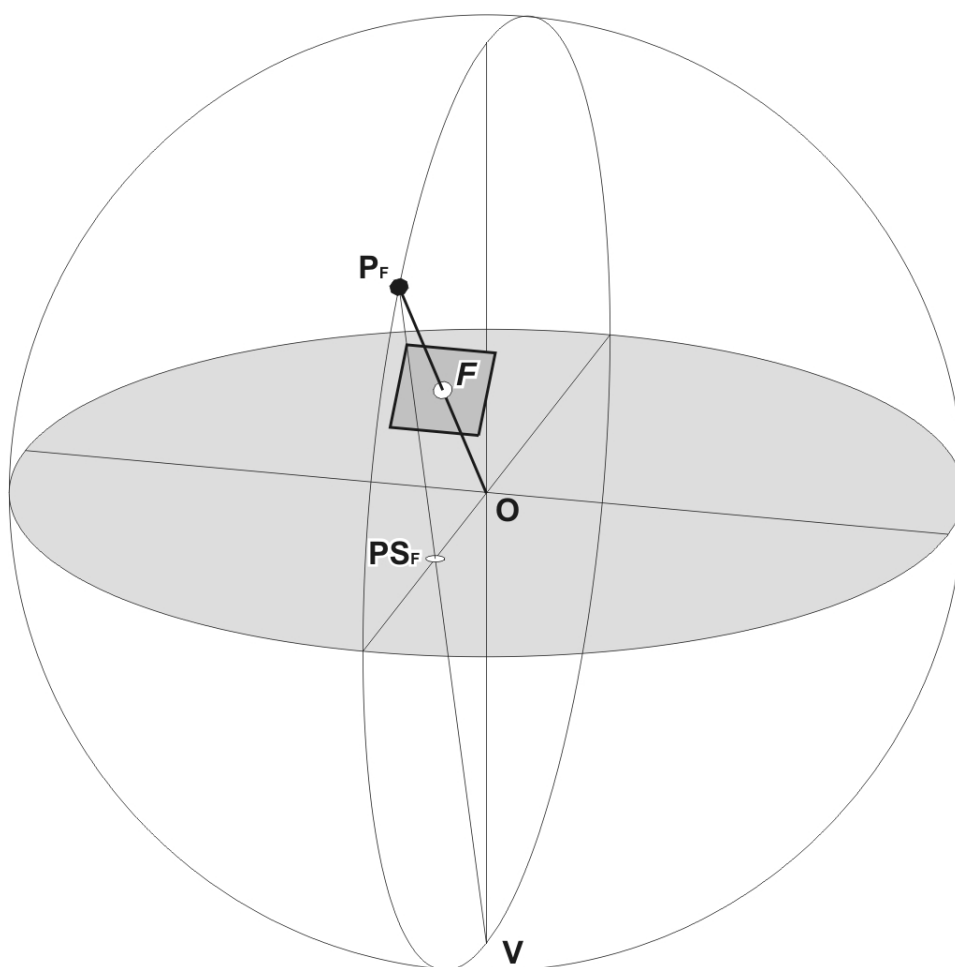


*Plan orizontal*



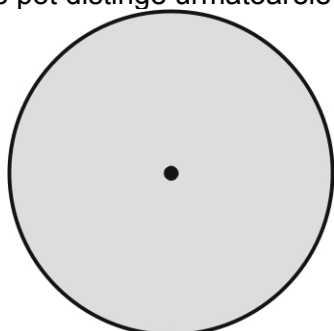
*Plane înclinate*

Proiecțiile stereografice descrise pînă acum se pot aplica numai elementelor axiale și planare ale unui cristal, care trec prin originea sistemului axelor de coordonate. Astfel de proiecții pot fi folosite pentru reprezentarea axelor de referință, a axelor de simetrie și a planelor de simetrie. Fețele de cristal – care nu intersectează centrul sistemului de axe – nu mai pot fi reprezentate prin simple proiecții stereografice ale unor plane. În schimb, vom valorifica faptul că fiecare față a unui cristal admite o normală care trece prin centru. Vom realiza așadar, o *proiecție gnomostereografică* a fețelor, echivalentă cu o *proiecție stereografică a normalelor la aceste fețe*, normale care străbat centrul sistemului de axe de referință. Fie  $F$  o față a unui cristal. Alegem o perpendiculară la această față care să treacă prin centrul sferei. Prolungim această normală pînă la intersecția cu sfera, obținînd punctul  $P_F$ , adică proiecția sferică a normalei pe fața  $F$  sau proiecția gnomosferică a feței  $F$ . Intersecția traseului vizual dintre polul  $V$  și punctul  $P_F$  – adică punctul  $PS_F$  – reprezintă proiecția stereografică a normalei la fața  $F$  sau proiecția gnomostereografică a feței  $F$ .

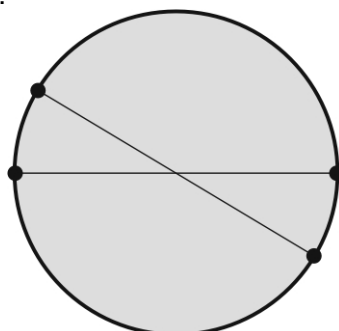


*Proiecția gnomostereografică a unei fețe  $F$ .*

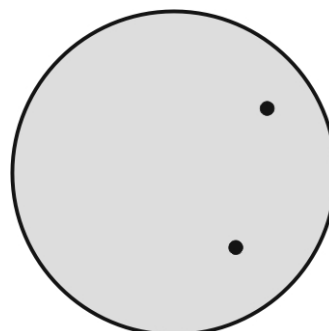
Se pot distinge următoarele cazuri:



*Față orizontală*

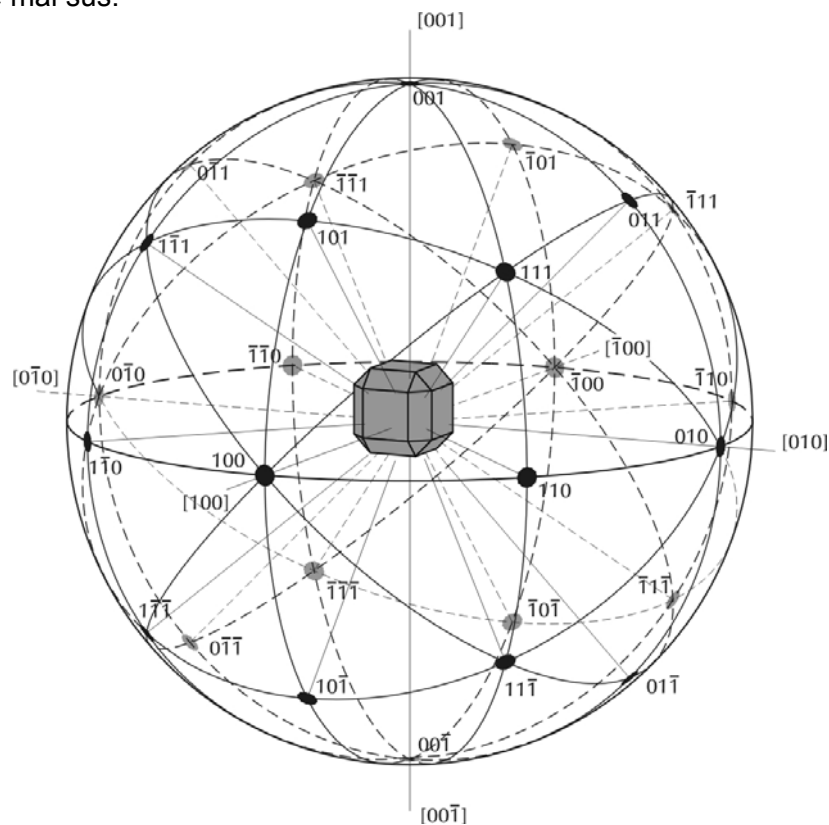


*Fețe verticale*



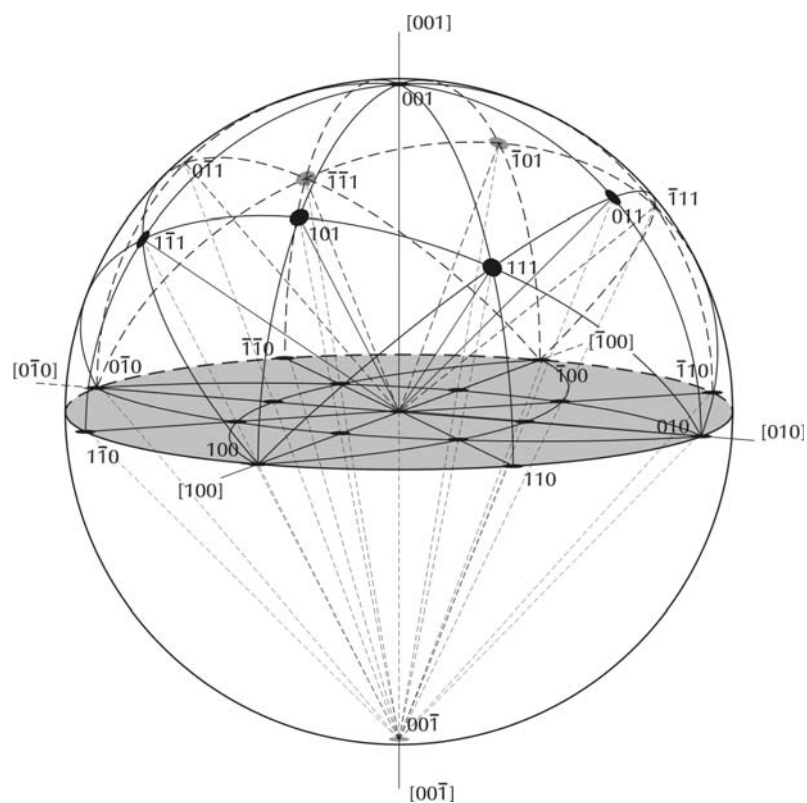
*Fețe înclinate*

În figura următoare este redat un sinoptic al proiecțiilor sferice pentru cristalul cubic considerat în exemplele de mai sus.



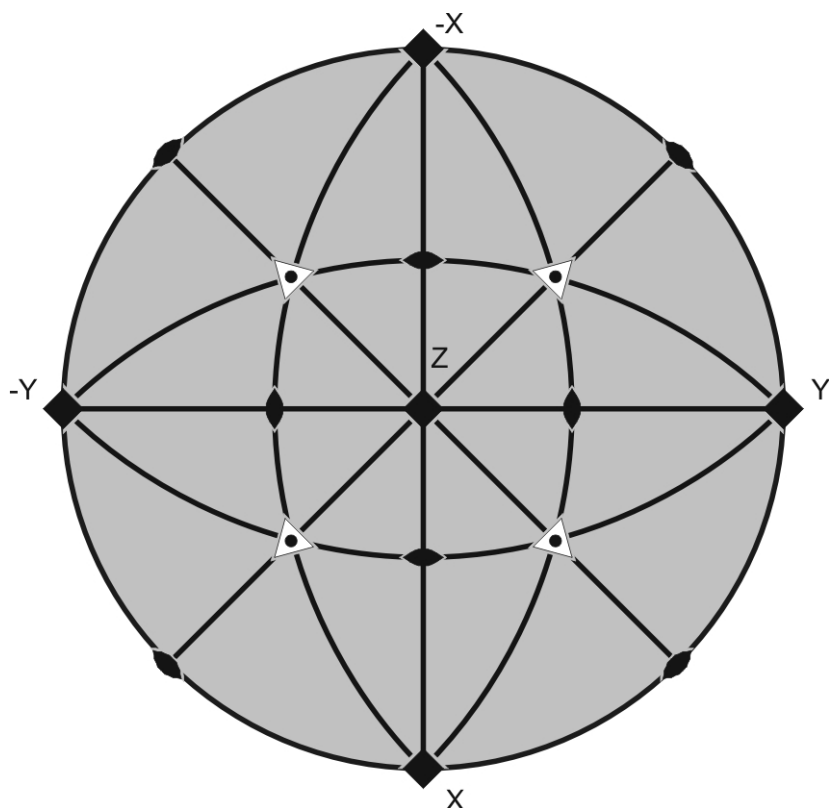
### Proiecțiile sferice ale fețelor de cristal

Selectînd doar proiecțiile sferice din emisfera nordică, putem examina mecanismul de proiecție stereografică a acestor puncte pe planul ecuatorial.

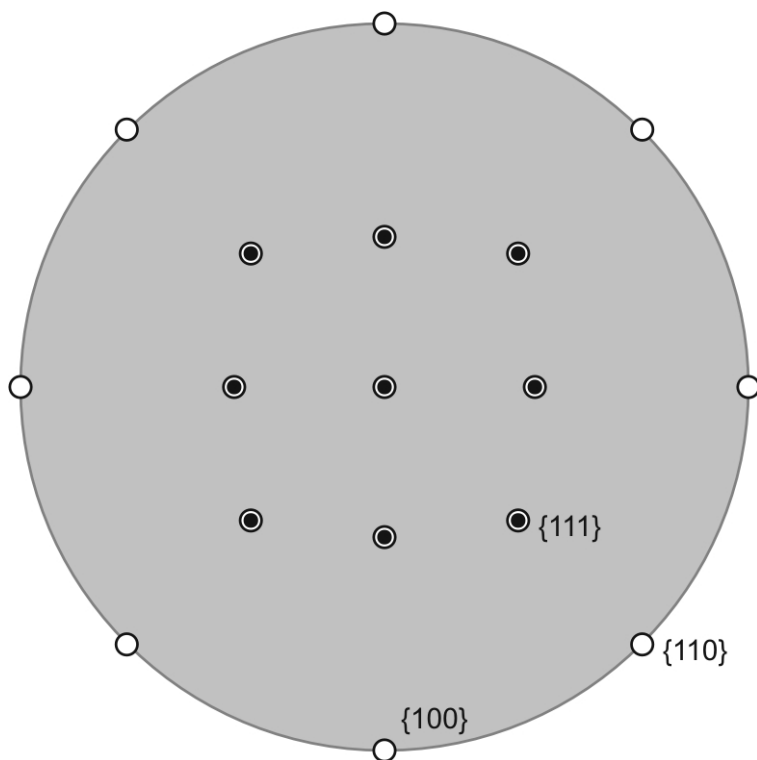


### Proiecțiile gnomostereografice ale fețelor de cristal din emisfera nordică

În figurile următoare sînt redată proiecțiile stereografice ale axelor de referință și elementelor de simetrie, precum și proiecțiile gnomostereografice ale fețelor cristalului considerat.



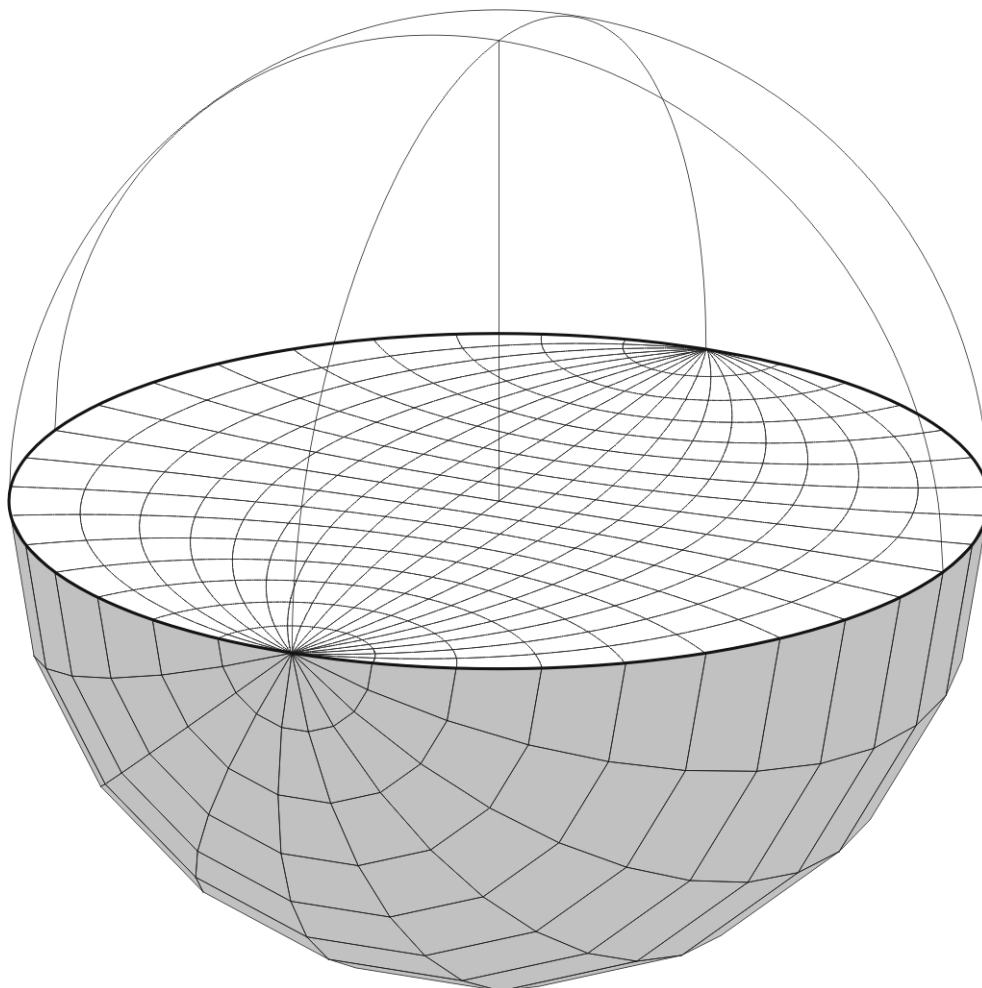
Proiecția stereografică a axelor de coordonate și a elementelor de simetrie



Proiecția gnomostereografică a fețelor din formele  $\{100\}$ ,  $\{110\}$  și  $\{111\}$ . Punctele negre denotă fețe ale căror normale se prelungesc în emisfera inferioară

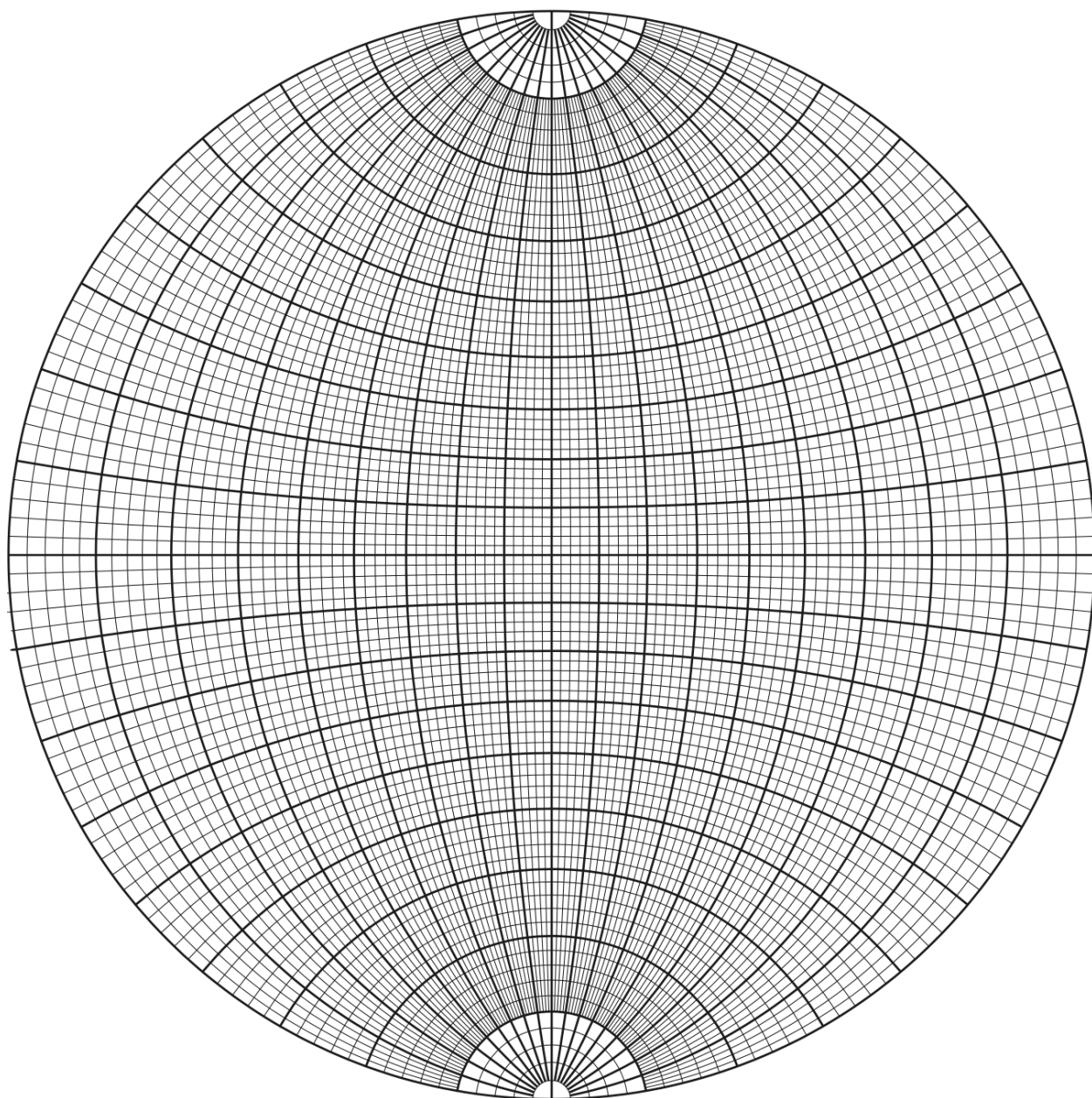


Proiecția stereografică este *echiunghiulară* (păstrează unghiurile în valoare reală) permițând astfel măsurarea unor unghiuri dintre diverse direcții ale cristalului. Pentru a facilita această operație se folosește *rețeaua stereografică Wulff*. Aceasta se obține prin împărțirea sferei de proiecție în meridiane și paralele și înclinarea rețelei obținute cu  $90^\circ$ . Rețeaua de plane astfel obținută, se proiectează stereografic.



*Obținerea rețelei Wulff prin proiecția stereografică a unui sistem de meridiane și paralele sferice distanțate la câte  $20^\circ$*

În figura următoare este redată o rețea Wulff cu echidistanța de  $2^\circ$ , utilizabilă pentru exercițiile de laborator.



*Rețeaua stereografică Wulff*

## GRUPURI CRISTALOGRAFICE

### Axiome și proprietăți ale grupurilor

Simetriile cristalelor constituie una din expresiile posibile ale grupurilor matematice. Importanța noțiunii de grup pentru cristalografie rezulta în bună măsură din faptul că ea poate fi folosită pentru a evalua simetria diferitelor cristale, adică pentru a stabili numărul și combinațiile posibile ale transformărilor de simetrie.

O lege de compoziție internă (operație) definită între elementele unei mulțimi dă posibilitatea efectuării unor calcule cu elementele respective. În anumite condiții, legea determină pe mulțimea dată o *structură algebrică* ale cărei proprietăți sînt exprimate printr-o serie de *axiome* (sau teoreme).

O astfel de lege — notată  $\otimes$  — între elementele unei mulțimi  $\mathbf{G}$ , determină pe aceasta o *structură de grup* dacă satisface următoarele propoziții:

a) *legea este peste tot definită*: oricare ar fi elementele  $\mathbf{x} \in \mathbf{G}$  și  $\mathbf{y} \in \mathbf{G}$ , distincte sau nu, compusul  $\mathbf{x} \otimes \mathbf{y}$  este definit;

b) *legea este asociativă* : oricare ar fi  $\mathbf{x}, \mathbf{y}$  și  $\mathbf{z} \in \mathbf{G}$ , distincte sau nu, atunci:

$$\mathbf{x} \otimes (\mathbf{y} \otimes \mathbf{z}) = (\mathbf{x} \otimes \mathbf{y}) \otimes \mathbf{z};$$

c) *există un element neutru*  $\mathbf{e} \in \mathbf{G}$  cu proprietatea că , oricare ar fi  $\mathbf{x} \in \mathbf{G}$ :

$$\mathbf{e} \otimes \mathbf{x} = \mathbf{x} \otimes \mathbf{e} = \mathbf{x};$$

d) *oricare element din  $\mathbf{G}$  admite un simetric*: pentru oricare  $\mathbf{x} \in \mathbf{G}$ , există  $\mathbf{x}' \in \mathbf{G}$ , astfel încît:

$$\mathbf{x} \otimes \mathbf{x}' = \mathbf{x}' \otimes \mathbf{x} = \mathbf{e};$$

Din aceste axiome rezultă unicitatea elementului neutru și a celui simetric. Dacă presupunem că există două elemente neutre  $\mathbf{e}$  și  $\mathbf{e}'$ , să considerăm compusul  $\mathbf{e} \otimes \mathbf{e}'$ :

$$\text{- } \mathbf{e} \text{ fiind element neutru: } \mathbf{e} \otimes \mathbf{e}' = \mathbf{e}'$$

$$\text{- } \mathbf{e}' \text{ fiind element neutru: } \mathbf{e} \otimes \mathbf{e}' = \mathbf{e}$$

deci  $\mathbf{e} = \mathbf{e}'$ . La fel, dacă presupunem că un element oarecare  $\mathbf{x} \in \mathbf{G}$  admite două simetrice  $\mathbf{x}'$  și  $\mathbf{x}''$ , rezultă:

$$\mathbf{x} \otimes \mathbf{x}' = \mathbf{x}' \otimes \mathbf{x} = \mathbf{e}$$

$$\mathbf{x} \otimes \mathbf{x}'' = \mathbf{x}'' \otimes \mathbf{x} = \mathbf{e}$$

Se poate scrie:

$$\mathbf{x}'' \otimes (\mathbf{x} \otimes \mathbf{x}') = \mathbf{x}'' \otimes \mathbf{e} = \mathbf{x}''$$

și, deoarece  $\otimes$  este asociativă,

$$(\mathbf{x}'' \otimes \mathbf{x}) \otimes \mathbf{x}' = \mathbf{x}'' \otimes \mathbf{e} = \mathbf{x}''$$

$$\mathbf{e} \otimes \mathbf{x}' = \mathbf{x}''$$

$$\mathbf{x}' = \mathbf{x}''$$

Dacă, în plus, legea  $\otimes$  este comutativă , adică: oricare ar fi  $\mathbf{x}$  și  $\mathbf{y} \in \mathbf{G}$ :  $\mathbf{x} \otimes \mathbf{y} = \mathbf{y} \otimes \mathbf{x}$ , atunci structura determinată este de *grup comutativ (abelian)*. Cînd nu este precizat sensul concret — geometric, fizic etc. — al elementelor grupului, acesta se numește *grup abstract*. Dacă între elementele a două grupuri se poate stabili o corespondență biunivocă și anume, astfel încît compusului a două elemente oarecare ale unuia din grupuri să-i corespundă compusul a două elemente din celălalt grup, atunci între grupuri se stabilește o relație de *izomorfism*:

$$\mathbf{G} = \{ \mathbf{x}_1, \mathbf{x}_2, \dots, \mathbf{x}_n \}; \mathbf{H} = \{ \mathbf{y}_1, \mathbf{y}_2, \dots, \mathbf{y}_n \}$$

$G \leftrightarrow H$  dacă  $x_i \rightarrow y_i, x_j \rightarrow y_j$  astfel încît  $x_i x_j \leftrightarrow y_i y_j$ .

Dacă într-un grup există un element  $g$  cu proprietatea că puterile lui  $g^n$ , epuizează toate elementele grupului, atunci grupul se numește *grup ciclic*:

$$G = \{ g, g^2, \dots, g^n = e \},$$

iar elementul respectiv poartă numele de *generator*. Toate grupurile ciclice sînt comutative, dar nu toate grupurile comutative sînt ciclice.

Proprietățile unui grup abstract sînt complet determinate prin așa-numitul *tabel al înmulțirii grupului* sau *pătratul lui Cayley*:

	$g_1$	$g_2$	.....	$g_n$
$g_1$	$g_1^2$	$g_1 g_2$	.....	$g_1 g_n$
$g_2$	$g_2 g_1$	$g_2^2$	.....	$g_2 g_n$
:	:	:		:
$g_n$	$g_n g_1$	$g_n g_2$	.....	$g_n^2$

### Interacțiunea operațiilor de simetrie

Obiectele spațiului tridimensional pot suferi acțiunea mai multor operații de simetrie  $g$  aplicate succesiv, rezultatul lor fiind tot o operație de simetrie. Să examinăm simetria punctuală a unui cristal din sistemul rombic, a cărui formă ideală (paralelipipedul rombic Miller) este redată în figura următoare.

Figura este invariantă față de următoarele operații:

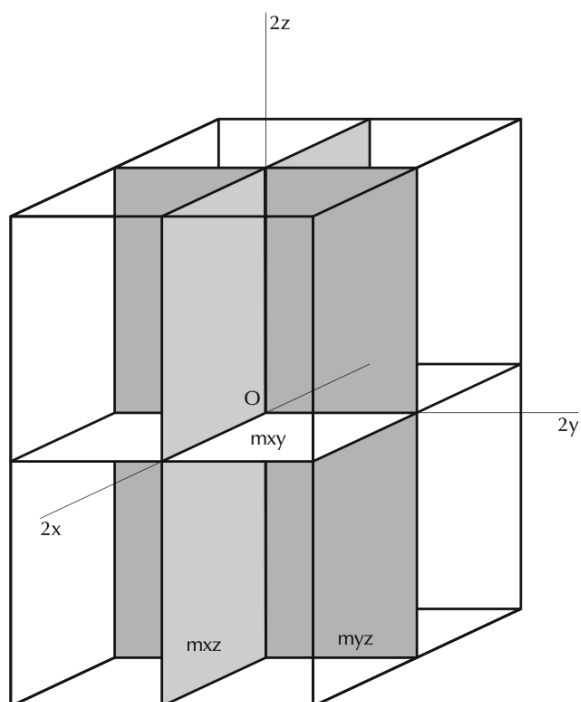
$$g_0 = e = 1, g_1 = 2_x, g_2 = 2_y, g_3 = 2_z, g_4 = m_{xy}, \\ g_5 = m_{xz}, g_6 = m_{yz}, g_7 = \bar{1},$$

unde  $g_1, g_2, g_3$  sînt rotații cu  $180^\circ$  în jurul axelor  $OX, OY$  și  $OZ$ ;  $g_4, g_5$ , și  $g_6$  — reflexii după planele de coordonate  $XOY, XOZ$  și  $YOZ$ , iar  $g_7$  este transformarea prin centru de simetrie care coincide cu originea  $O$  a axelor. Operația  $g_0$  este *operația unitate*:  $g_0 = e = 1$ , ea corespunzînd din punct de vedere geometric, stării de imobilitate sau rotației cu  $360^\circ$  în jurul oricărei direcții; ea este proprie oricărui obiect, inclusiv celor asimetrice. Deși pare inutilă, operația unitate joacă un rol formal important în teoria simetriei, ea exprimînd produsul compunerii a două operații reciproc inverse:

$$g_i g_i^{-1} = e$$

Aplicarea de mai multe ori a operațiilor  $g_i$  produce tot o operație de simetrie, ceea ce se poate scrie ca:

$$g_i g_i \dots g_i = g_i^n$$



De asemenea, toate operațiile  $g_i$  sînt inversele lor înseși:

$$g_i = g_i^{-1}$$

Exemplul dat ne apropie de înțelegerea faptului că din punct de vedere matematic, *mulțimea operațiilor de simetrie ale unui cristal are o structură de grup*. Tabelul înmulțirii grupului de simetrie al cristalului considerat, în care este cuprinsă totalitatea operațiilor de simetrie aplicate succesiv, este redat în cele de mai jos.

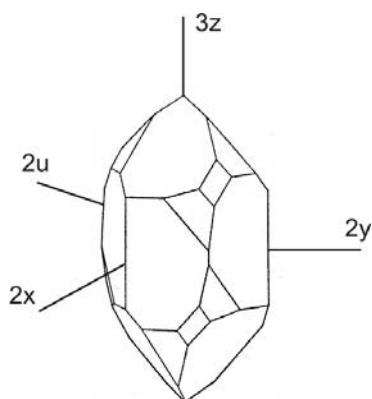
	1	$2_x$	$2_y$	$2_z$	$m_{xy}$	$m_{xz}$	$m_{yz}$	$\bar{1}$
1	1	$2_x$	$2_y$	$2_z$	$m_{xy}$	$m_{xz}$	$m_{yz}$	$\bar{1}$
$2_x$	$2_x$	1	$2_z$	$2_y$	$m_{xz}$	$m_{xy}$	$\bar{1}$	$m_{yz}$
$2_y$	$2_y$	$2_z$	1	$2_x$	$m_{yz}$	$\bar{1}$	$m_{xy}$	$m_{xz}$
$2_z$	$2_z$	$2_y$	$2_x$	1	$\bar{1}$	$m_{yz}$	$m_{xz}$	$m_{xy}$
$m_{xy}$	$m_{xy}$	$m_{xz}$	$m_{yz}$	$\bar{1}$	1	$2_x$	$2_y$	$2_z$
$m_{xz}$	$m_{xz}$	$m_{xy}$	$\bar{1}$	$m_{yz}$	$2_x$	1	$2_z$	$2_y$
$m_{yz}$	$m_{yz}$	$\bar{1}$	$m_{xy}$	$m_{xz}$	$2_y$	$2_z$	1	$2_x$
$\bar{1}$	$\bar{1}$	$m_{yz}$	$m_{xz}$	$m_{xy}$	$2_z$	$2_y$	$2_x$	1

Tabelul este simetric în raport cu diagonală principală, adică pentru oricare pereche de operații  $g_i, g_j$  avem

$$g_i g_j = g_j g_i$$

ceea ce înseamnă că grupul descris pe mulțimea operațiilor de simetrie admise de cristal este comutativ. Nu toate grupurile caracteristice cristalelor sînt comutative. De exemplu, în grupul axial al sistemului trigonal (grupul cristalelor de cuarț), compusul axei principale de ordin 3 și al unei axe de ordin 2 perpendiculară pe ea, depinde de ordinea în care se efectuează cele două operații:  $3 \cdot 2_x = 2_y$ ;  $2_x \cdot 3 = 2_u$ .

Din punct de vedere al generatorilor, tabelul înmulțirilor are numeroase elemente redundante. Folosind generatorii și anumite relații de determinare între aceștia, obținem de asemenea, o descriere completă a grupului. De exemplu, pentru grupul axial 32, amintit mai sus, pot servi ca generatori rotația de ordin 3 și oricare rotație de ordin 2 perpendiculară pe aceasta. În cazul prisme rombighe analizate, se pot lua ca generatori  $2_x$ ,  $2_z$  și  $\bar{1}$ . Detalii asupra modului în care generatorii pot fi folosiți pentru de ducerea altor elemente ale grupului din care fac parte, vor fi discutate în capitolele următoare odată cu teoremele simetriei punctuale și spațiale.



Cristal de cuarț acentric din grupul axial 32

Așadar, simetria unui cristal — adică mulțimea operațiilor față de care acesta este invariant — are o structură de grup.

## Restricții cristalografice

Obiectul a cărui simetrie prezintă un interes particular în studiul cristalografic, este *rețeaua spațială* care prin existența ei impune o serie de restricții în ceea ce privește operațiile de simetrie posibile și numărul acestora.

**Definiție.** Dacă  $D = \{a, b, c\}$  este o mulțime de trei vectori necoplanari și nenuli din  $\mathbf{R}^3$  (spațiul tridimensional), atunci submulțimea vectorilor (punctelor) care pot fi definiți ca o combinație a vectorilor  $a, b, c$ , cu coeficienți întregi poartă numele de *rețea spațială*:

$$L_D = \{ ma + nb + oc \mid m, n, o \in \mathbf{Z} \}$$

**Definiție.** Grupul izometriilor față de care o anumită rețea spațială  $L_D$  este invariantă, se numește *grup cristalografic*.

**Definiție.** Un grup cristalografic avînd proprietatea că oricare din elementele sale lasă cel puțin un punct imobil se numește *grup cristalografic punctual* sau *de simetrie punctuală*.

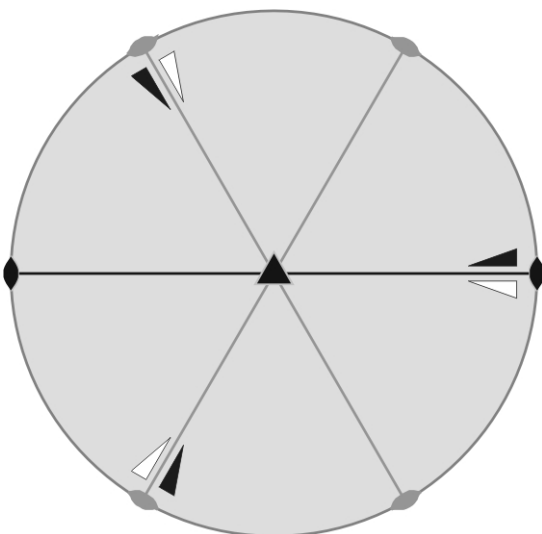
Grupurile cristalografice prezintă următoarele proprietăți importante care derivă din existența rețelei spațiale:

- un grup cristalografic are un număr finit de elemente distincte; acest număr se numește *ordinal grupului* (exemplu — grupul mmm analizat în exemplul de interacțiune a operațiilor de simetrie constă din 8 elemente distincte: 1,  $2_x$ ,  $2_y$ ,  $2_z$ ,  $m_{xy}$ ,  $m_{xz}$ ,  $m_{yz}$ ,  $\bar{1}$ , deci ordinul său va fi 8).
- dacă  $g$  este o izometrie punctuală a unei rețele  $L_D$ , unghiul de rotație asociat lui  $g$  are următoarele valori posibile:  $0^\circ$ ,  $\pm 60^\circ$ ,  $\pm 90^\circ$ ,  $\pm 120^\circ$ ,  $180^\circ$ .

## GRUPURI CRISTALOGRAFICE DE SIMETRIE PUNCTUALĂ

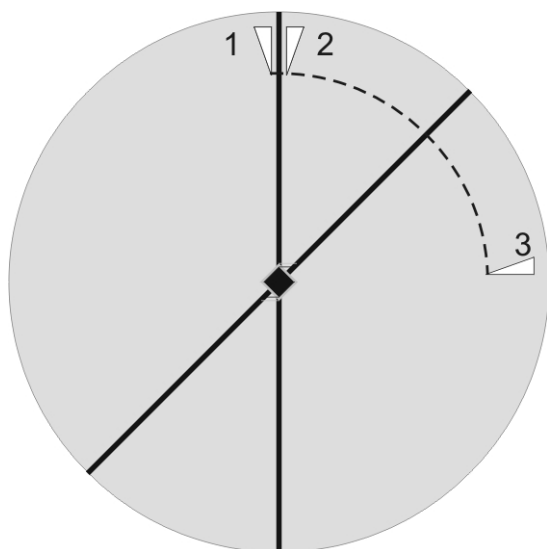
### Teoremele simetriei punctuale

**Teorema 1.** Dacă o axă de simetrie de ordinul 2 este perpendiculară pe o axă de simetrie de ordinul  $n$  atunci există  $n$  axe de ordinul 2 perpendiculare pe axa de ordin  $n$ . În notația internațională, combinația celor două axe este redată prin simbolul  $n2$ .



Elementele generatoare sînt: axa de ordin 3 și axa de ordin 2, orientată est-vest (ambele redată cu negru). Multiplicările simetrice ale reperelor triunghiulare indică prezența altor două axe de ordin 2 (redate cu gri închis)

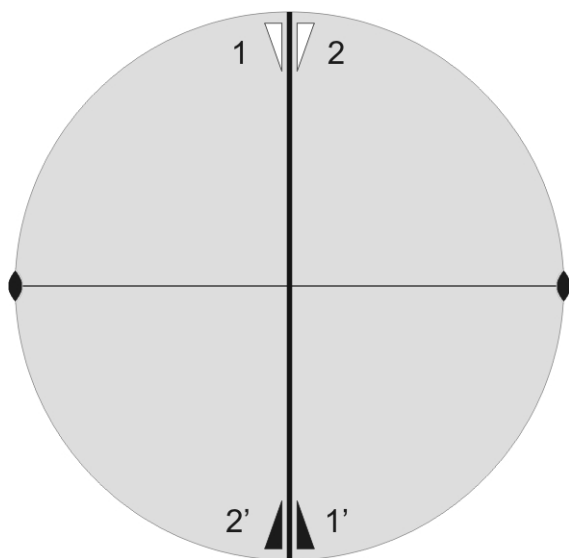
**Teorema 2.** Dreapta de intersecție a două plane de simetrie este întotdeauna o axă de rotație cu un unghi elementar de două ori mai mare decât unghiul dintre plane.



*Elementele generatoare sînt cele două plane de simetrie redată cu linie neagră, între care este un unghi de  $45^\circ$ . Reperele 2 și 3 rezultă după multiplicarea lui 1 prin reflexie după cele două plane. Reperul 1 poate fi adus însă, direct peste 3 printr-o rotație de  $90^\circ$ , adică printr-o axă de ordinul 4.*

**Teorema 2a (reciproca teoremei 2).** Rotația în jurul unei axe de simetrie poate fi înlocuită cu o dublă reflexie după plane de simetrie. Unul dintre plane se ia arbitrar de-a lungul axei, iar cel de-al doilea, în așa fel încît să formeze cu primul un unghi egal cu jumătate din unghiul elementar de rotație al axei.

**Teorema 3.** Punctul de intersecție al unei axe de simetrie de ordin par cu un plan de simetrie perpendicular pe el, este un centru de simetrie. Combinația se notează  $n/m$ .

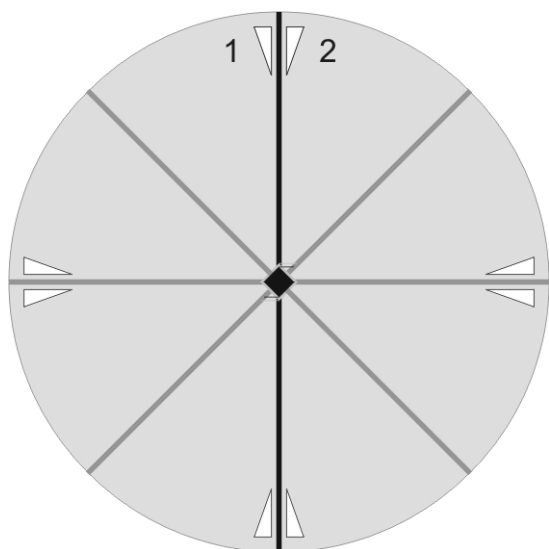


*Elementele generatoare sînt reprezentate de axa de ordin 2 și de planul perpendicular. Planul multiplică pe 1 în 2, iar axa "răstoarnă" cele două repere în emisfera inferioară a sferei de proiecție. Reperele 1 și 2 sînt simetricele în raport cu 1' și 2' printr-un centru de inversie.*

**Teorema 3a (reciprocă a teoremei 3).** Dacă pe o axă de simetrie de ordin par există un centru de simetrie, atunci există un plan de simetrie perpendicular pe această axă.

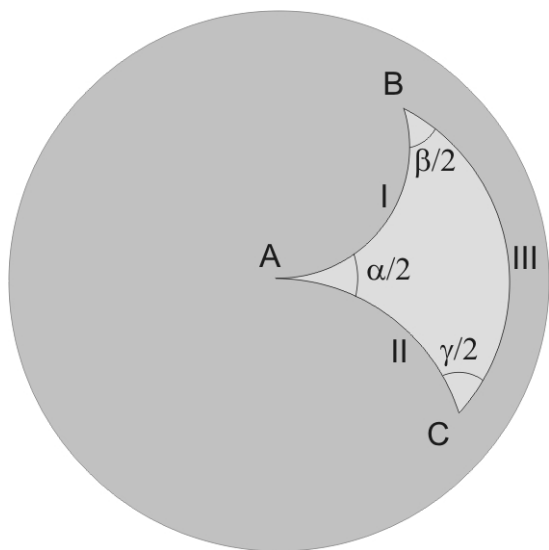
**Teorema 3b (reciprocă a teoremei 3).** Dacă printr-un centru de simetrie trece un plan de simetrie, atunci prin acest centru va trece o axă de simetrie de ordin par, perpendiculară pe planul considerat.

**Teorema 4.** Dacă după o axă de simetrie de ordinul  $n$  trece un plan de simetrie, atunci există un număr  $n$  de astfel de plane. O astfel de combinație se notează  $nm$ .



*Elementele generatoare sînt reprezentate de axa de ordin 4 și de un plan (negru) care conține această axă. Planul multiplică pe 1 în 2, iar perechea acestor repere este multiplicată de axa de ordin patru. Configurațiile generate indică prezența a încă trei plane de simetrie (gri) care conțin axa 4.*

**Teorema 5 (teorema lui Euler).** Rezultanta a două axe de simetrie concurente este o a treia axă care trece prin punctul lor de intersecție. Una din consecințele acestei teoreme este aceea că vor exista numai anumite combinații posibile ale celor trei axe.



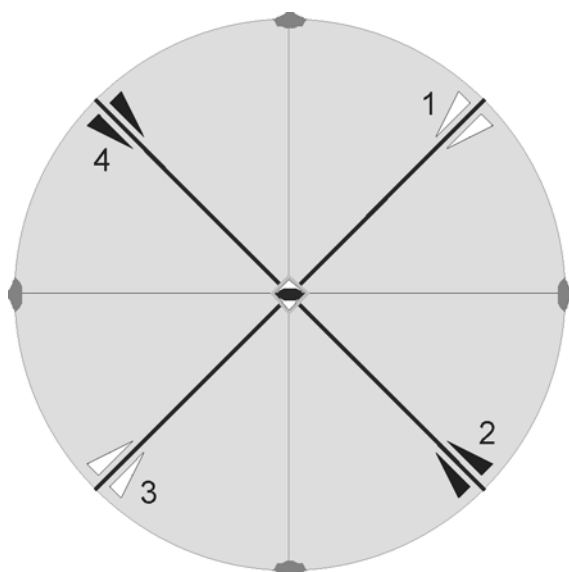
*A și B sînt urmele axelor de simetrie cu unghiurile de rotație  $\alpha = 2\pi/n$  și respectiv  $\beta = 2\pi/m$ . Conform teoremei 2a, rotația în jurul axei A poate fi reprezentată ca două reflexii pe plane de simetrie: un plan poate fi luat arbitrar, iar al doilea, astfel încît să facă cu primul un unghi  $\alpha/2$ ; Primul plan va fi ales astfel încît să conțină axa B. În mod analog, vom înlocui rotația în jurul lui B cu două reflexii pe plane care formează între ele un unghi  $\beta/2$ , ducînd primul plan după A. Planele II și III se intersectează după un unghi  $\gamma/2$ , fiind, conform teoremei 2, echivalente cu axa de simetrie C avînd unghiul elementar  $\gamma = 2\pi/p$ .*

Suma **S** a unghiurilor făcute de cele trei plane I, II și III, adică suma unghiurilor unui triunghi sferic este  $180^\circ \leq \mathbf{S} \leq 240^\circ$ . De asemenea, există condiția ca axele A, B și C să fie numai axe de ordinul 2, 3, 4 și 6 astfel încît, cele trei unghiuri dintre plane pot fi numai de  $90^\circ$ ,  $60^\circ$ ,  $45^\circ$  sau  $30^\circ$ . Prin urmare, pot fi stabilite numai combinațiile următoare de axe de simetrie:

- 2, 2, 2 - sistemul rombic
- 3, 2, 2 - sistemul trigonal
- 4, 2, 2 - sistemul tetragonal
- 6, 2, 2 - sistemul hexagonal
- 3, 2, 2
- 4, 3, 2 - sistemul cubic



**Teorema 6.** Dacă după o axă de inversie pară, trec diferite plane de simetrie, atunci între ele se vor dispune axele de ordin 2.



Reperul 1 este multiplicat prin axa de rotoinversie de ordinul 4, în pozițiile 2, 3 și 4. La rândul lor planele de simetrie dublează aceste poziții, configurând repere compatibile cu axe de ordinul 2.

### SIMBOLURILE GRUPURILOR DE SIMETRIE PUNCTUALĂ

În notația internațională, simbolurile grupurilor de simetrie punctuală au la bază teoremele simetriei punctuale și legile de compunere a operațiilor de simetrie. Simbolurile conțin numai generatori ai simetriei — planele și axele, însă cunoscând teoremele referitoare la combinarea acestor elemente, se poate reprezenta întreaga mulțime a elementelor unui anumit grup. O importanță deosebită o are ordinea de scriere: sensul unei cifre sau al unei litere care semnifică un element de simetrie, depinde de poziția în care aceasta este scrisă în simbol.

Singonia	Poziția în simbol		
	I	II	III
Cubică	Elementele de simetrie ale axelor de coordonate X,Y,Z	Patru axe de ordin 3	Elementele de simetrie diagonale
	<b>m, 4, <math>\bar{4}</math>, 2</b>	<b>3</b>	<b>m, 2 *</b>
Tetragonală	Elementele de simetrie ale axei Z	Elemente de simetrie ale axelor de coordonate orizontale X, Y	Elementele de simetrie diagonale
	<b>4, <math>\bar{4}</math>, 4/m</b>	<b>m, 2</b>	<b>m, 2</b>
Hexagonală	Elementele de simetrie ale axei Z	Elemente de simetrie ale axelor de coordonate orizontale X, Y (U)	Elementele de simetrie diagonale
	<b>6, <math>\bar{6}</math>, 6/m, 3, <math>\bar{3}</math></b>	<b>m, 2</b>	<b>m, 2</b>
Rombică	Elementele de simetrie ale axei X	Elementele de simetrie ale axei Y	Elementele de simetrie ale axei Z
	<b>m, 2</b>	<b>m, 2</b>	<b>m, 2</b>
Monoclinică	Elementele de simetrie ale axei Y		
	<b>m, 2, 2/m</b>		
Triclinică	<b>1, <math>\bar{1}</math></b>		

\* Celulele umbrite indică faptul că poziția corespunzătoare poate rămâne liberă

În această notație, se deosebesc elementele de simetrie "ale coordonatelor" și cele "diagonale"; planele de simetrie ale axelor coordonate sînt perpendiculare pe axe de referință corespunzătoare, în timp ce axele de simetrie ale coordonatelor sînt paralele cu axe de referință. Planele și axele diagonale sînt perpendiculare pe, și respectiv paralele cu bisectoarele unghiurilor dintre axele de coordonate.

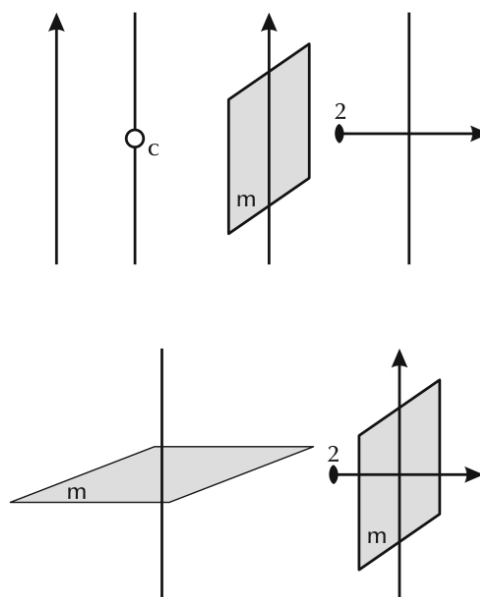
De exemplu, simbolul  $m3$  se descifrează astfel: deoarece simbolul 3 apare pe poziția a doua, sistemul de cristalizare corespunzător este cel cubic. Simbolul  $m$  de pe prima poziție indică trei plane perpendiculare pe cele trei axe de coordonate X, Y și Z, iar simbolul 3 cele patru axe de ordinul 3 dispuse la  $54^\circ 44'$  de axele de coordonate. Conform teoremei 2, la intersecția planelor care fac între ele  $90^\circ$ , vor apărea trei axe de ordinul 2, iar conform teoremei 3, la intersecția lor se va găsi centrul. Simbolul  $m3$  se deosebește fundamental de  $3m$ ; cifra 3 care se află pe primul loc, arată o axă principală de simetrie de ordin 3, adică apartenența la sistemul trigonal. Litera  $m$  semnifică trei plane de simetrie care se intersectează după această axă.

## DEDUCEREA CELOR 32 DE GRUPURI DE SIMETRIE PUNCTUALĂ

Identificarea tuturor grupurilor finite care se pot construi cu ajutorul izometriilor simetrice punctuale, stă la baza clasificării cristalelor după forma lor exterioară. Există mai multe modalități de rezolvare a acestei probleme, fie printr-o abordare geometrică, fie prin metode bazate pe teoria elementară a grupurilor. În cele ce urmează, vom utiliza o metodă empirică, dar intuitivă, care constă din a alege un element generator inițial, căruia îi vom adăuga succesiv toate celelalte elemente de simetrie rămase și admisibile ca elemente generatoare. Cu ajutorul teoremelor simetriei punctuale se vor deduce elementele rezultate din diferite combinații binare ale generatorilor.

Vom începe cu cristalele în care există direcții particulare adică cele din categoriile inferioară și medie. Se va lua ca element generator o axă de simetrie de diferite ordine de-a lungul direcției particulare și se vor adăuga pe rând la aceasta următoarele elemente:

- un centru de simetrie pe axă;
- un plan după direcția axei;
- o axă de ordin 2 perpendiculară;
- un plan și o axă de ordin 2 perpendiculare pe axă.



Planele pot fi alese numai în aceste poziții; în oricare altă configurație axa generatoare se va repeta deci nu va respecta condiția de unicitate. Din aceeași cauză, axele de ordin 2 nu pot fi decât perpendiculare pe axa aleasă.

Dacă se va considera numai axa generatoare fără nici un element adițional, se obțin așa-numitele *clase primitive* în care există un singur element de simetrie și anume, o axă de rotație de ordin  $n$  de-a lungul unei direcții particulare:

Grupul de simetrie	1	2	3	4	6
--------------------	---	---	---	---	---

Adăugînd axei un centru de simetrie și aplicînd teorema 3, vom obține așa-numitele *grupuri centrate*:

Axa generatoare	1	2	3	4	6
Element generat	-	$m$	-	$m$	$m$
Grupul de simetrie	$\bar{1}$	$2/m$	$\bar{3}$	$4/m$	$6/m$

Adăugarea centrului de simetrie la o axă 3 a convertit-o într-o axă de rotoinversie,  $\bar{3}$ . Uneori, grupul  $\bar{3}$  nu este considerat ca un grup centrat, ci ca un grup primitiv de inversie, adică un grup în care există un singur element de simetrie dirijat după direcția particulară, în cazul nostru, o axă  $\bar{3}$ .

Adăugînd axei generatoare un plan de simetrie care o conține, obținem pe baza teoremei 4, *grupurilor planare*:

Axa generatoare	1	2	3	4	6
Grupul de simetrie	$m$	$mm2$	$3m$	$4mm$	$6mm$

Scrierea simbolului  $mm2$  respectă regulile poziționării cristalografice pentru singonia rombică, după care axa de ordin 2, dacă există, trebuie să fie o axă  $2_z$ , ceea ce determină apariția ei pe poziția a treia în simbol. În simbolurile  $4mm$  și  $6mm$ , pe primul loc se află axele principalele de simetrie, pe al doilea elementele (planele) de coordonate, iar pe al treilea elementele diagonale.

Dacă se adaugă axa 2 perpendiculară pe axa generatoare, conform teoremei 1, obținem grupurile axiale:

Axa generatoare	1	2	3	4	6
Grupul de simetrie	$2^*$	$222$	$32$	$422$	$622$

\*) grup deja dedus

În simbolurile  $422$  și  $622$ , în poziția a doua și a treia se află axele 2, care corespund axelor de coordonate orizontale și respectiv bisectoarelor acestora.

Adăugăm axei un plan perpendicular. Conform teoremei 2a, avem:

Axa generatoare	1	2	3	4	6
Grupul de simetrie	$m^*$	$2/m^*$	$\bar{6}$	$4/m^*$	$6/m^*$

Dacă axei generatoare i se adaugă un plan longitudinal și o axă de ordin 2 perpendiculară, aplicînd teoremele 3 și 4 obținem *grupurile plan-axiale*:

Axa generatoare	1	2	3	4	6
Grupul de simetrie	$2/m^*$	$mmm$	$\bar{3}m$	$4/mmm$	$6/mmm$

Grupurile enumerate epuizează combinațiile elementelor de simetrie cu axă de rotație generatoare.

În continuare, putem lua ca element generator o axă de inversie:

Axa generatoare	$\bar{1}$	$\bar{2}$	$\bar{3}$	$\bar{4}$	$\bar{6}$
Grupul de simetrie	$\bar{1}^*$	$m^*$	$\bar{3}^*$	$\bar{4}$	$\bar{6}^*$

Axele  $\bar{1}$ ,  $\bar{2}$ ,  $\bar{3}$ , și  $\bar{6}$  nu generează grupuri noi; numai axa  $\bar{4}$  dă grupul primitiv de inversie de ordin 4.

Dacă axei de inversie  $i$  se adaugă un plan longitudinal, și dacă se ține seama că o axă de inversie de ordin  $2n$  este și o axă simplă de ordin  $n$ , obținem:

Axa generatoare	$\bar{1}$	$\bar{2}$	$\bar{3}$	$\bar{4}$	$\bar{6}$
Grupul de simetrie	$2/m^*$	$mm2^*$	$3m^*$	$\bar{4}2m$	$\bar{6}m2$

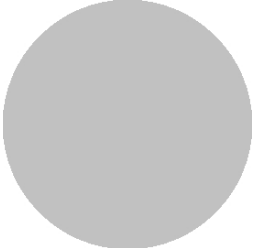
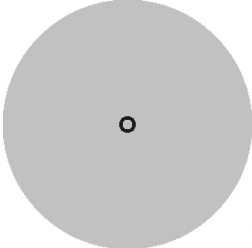
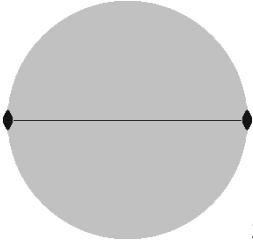
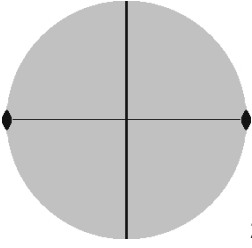
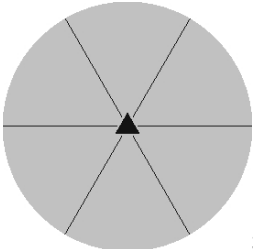
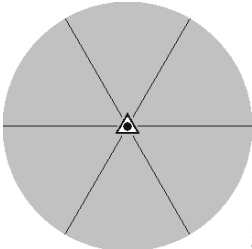
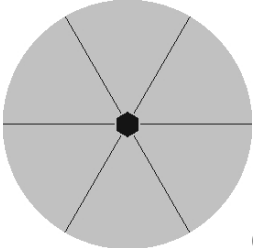
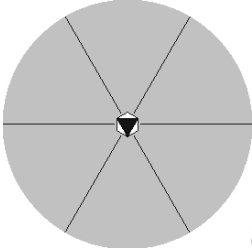
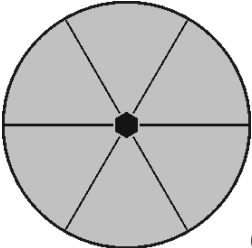
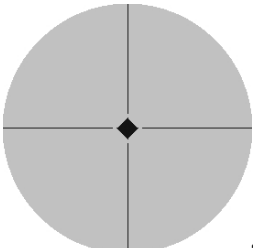
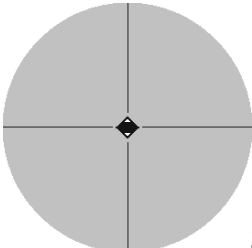
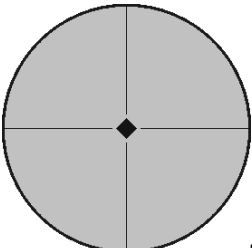
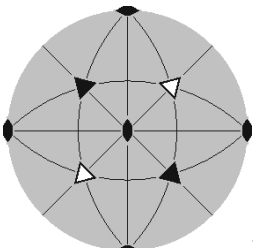
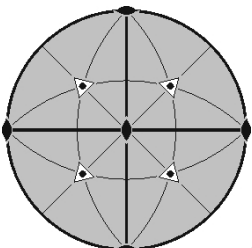
Pentru grupurile nou generate s-a aplicat teorema 6, din care au fost deduse axele de ordin 2.

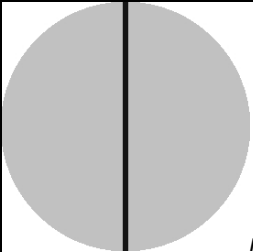
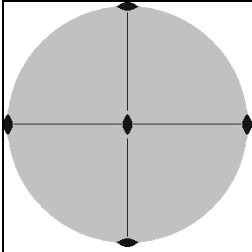
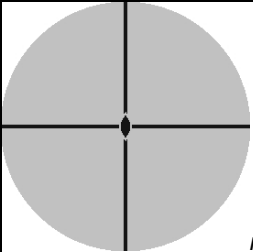
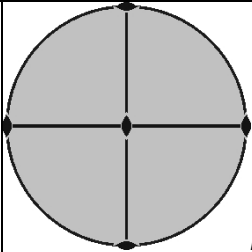
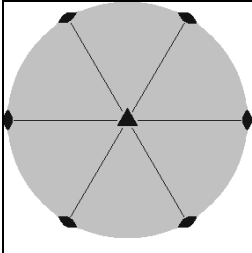
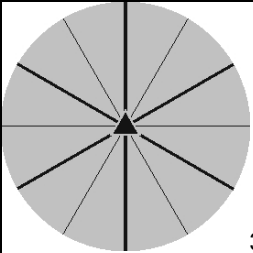
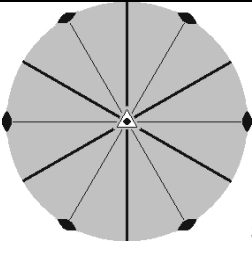
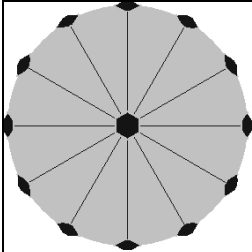
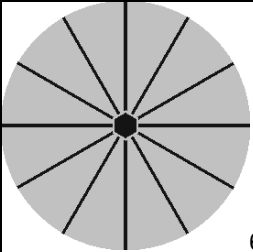
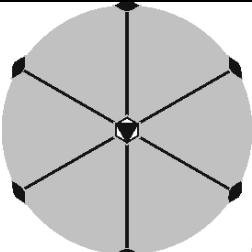
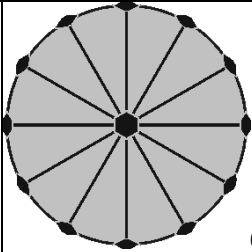
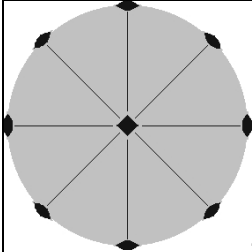
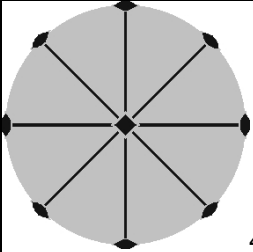
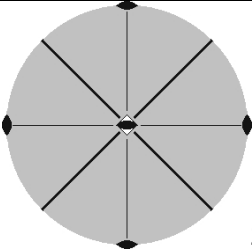
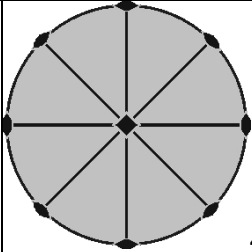
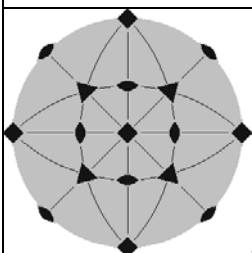
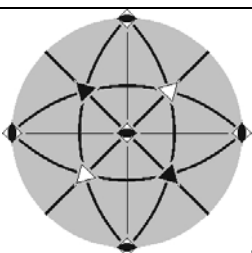
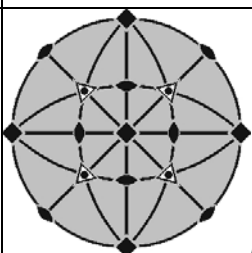
Adăugarea la axele de inversie a planelor perpendiculare, a axelor de ordin 2 și a centrului de simetrie nu conduce la elemente noi, astfel încât, cele 27 de grupuri enumerate până acum acoperă combinațiile posibile pentru sistemele cristalografice de simetrie medie (tetragonal, hexagonal și trigonal) unde există direcții particulare.

În ceea ce privește categoria superioară — corespunzătoare sistemului cubic — nu există direcții particulare, ci câteva axe de ordin mai mare ca 2 care se intersectează într-un punct. S-a arătat în capitolul precedent că pentru sistemul cubic sînt posibile următoarele combinații de axe 432 și 332 care corespund axelor de simetrie ale cubului și respectiv, ale tetraedrului și prin care se obțin trei grupuri de simetrie: 432 și 23. Celelalte grupuri se deduc prin adăugarea la aceste combinații a unui plan de simetrie sau a unui centru. Axa 2 nu poate fi adăugată deoarece toate combinațiile au fost deja epuizate. Planele se pot alege numai în două feluri: trei plane de coordonate sau 6 plane diagonale. O altă aranjare este imposibilă pentru că la intersecțiile planelor ar apărea noi axe.

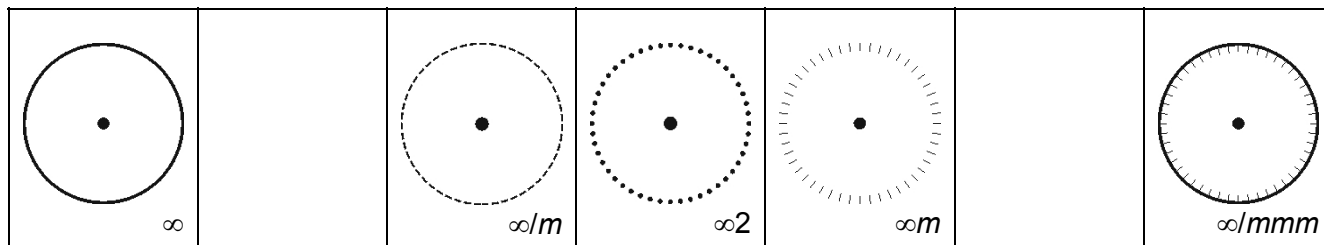
Elemente generatoare	Element adăugat	Element generat	Grup
23	$m$ de-a lungul axei 2	$\bar{1}$	$m3$
23	$m$ de-a lungul axei 3	6 plane diagonale; axa 2 devine axă de inversie	$\bar{4}3m$
23	$\bar{1}$	trei plane de coordonate	$m3$
432	$\bar{1}$	trei plane de coordonate; șase plane de diagonale	$m3m$
432	$m$ de-a lungul axei 4	$\bar{1}$ ; șase plane diagonale	$m3m$
432	$m$ de-a lungul axei 3	$\bar{1}$ ; trei plane de coordonate;	$m3m$

Tabelul din următoarele pagini conține o sinteză a celor 32 de grupuri de simetrie punctuală deduse anterior,

Sistem	Primitive	Primitive de inversie	Centrate
triclinic	 1	 $\bar{1}$	
monoclinic	 2		 $2/m$
rombic			
trigonal	 3	 $\bar{3}$	
hexagonal	 6	 $\bar{6}$	 $6/m$
tetragonal	 4	 $\bar{4}$	 $4/m$
cubic	 23		 $m\bar{3}$

Axiale	Planare	Planare de inversie	Plan-axiale
	 $m$		
 $222$	 $mm2$		 $mmm$
 $32$	 $3m$	 $\bar{3}m$	
 $622$	 $6mm$	 $\bar{6}m2$	 $6/mmm$
 $422$	 $4mm$	 $\bar{4}2m$	 $4/mmm$
 $432$		 $\bar{4}3m$	 $m\bar{3}m$

În studiul geometriei structurii, cristalele trebuie considerate ca medii discrete, în timp ce pentru tratarea proprietăților fizice cristalele pot fi considerate ca medii omogene continue. În grupurile de simetrie ale unui astfel de mediu pot intra și axe de simetrie de ordin infinit pe care le vom nota cu semnul  $\infty$ . Grupurile care conțin axe de ordin  $\infty$  se numesc *grupuri de simetrie limită* sau *grupuri Curie*. Fiecare din cele 32 de grupuri punctuale este un subgrup al cel puțin unuia din dintre grupurile Curie.

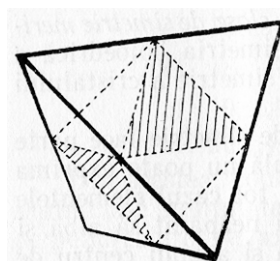


### **HOLOEDRIE, MERIEDRIE, ENANTIOMORFISM**

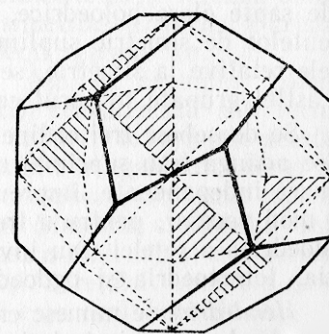
Pentru grupurile punctuale de ordin maxim din cadrul fiecărui sistem cristalografic, există o corespondență totală între simetriile formelor exterioare și cele ale rețelelor. O astfel de corespondență se numește *holoedrie*, iar grupurile respective — *holoedrice*. Grupului holoedric îi corespunde forma simplă generală cu numărul maxim de fețe.

Prin reducerea numărului de fețe ale formei generale simple se obțin grupuri cu simetrie mai redusă — așa-numitele *grupuri meriedrice*. Acestea pot fi ordonate în raport cu grupul holoedric prin scăderea la jumătate a numărului de fețe (*hemiedrie*), la sfert (*tetartoedrie*, sau la optime (*ogdoedrie*). Exemple:

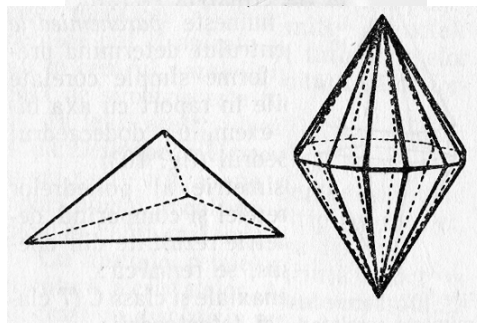
*Tetraedrul este forma hemiedrică a octaedrului*



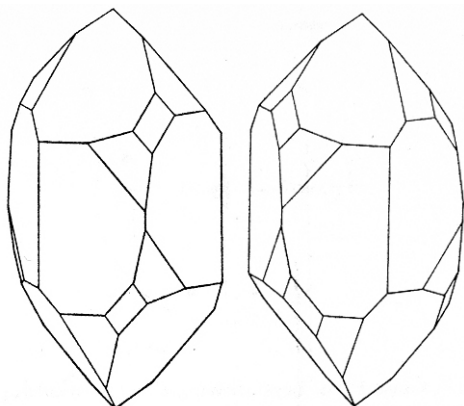
*Dodecaedrul pentagonal tetraedric este forma tetartoedrică a hexagonoctaedrului*



*Piramida trigonală este forma ogdoedrică a bipiramidei dihexagonale*



Cristalele care fac parte din grupurile punctuale a căror simetrie conține numai axe de rotație (grupurile primitive și axiale) se pot prezenta în două variante — *drepte* sau *stîngi* — între care se poate stabili o egalitate prin oglindire. Astfel de cristale se numesc *enantiomorfe*.



Exemplu de cristale enantiomorfe: cuarț stîng și cuarț drept

## SIMETRIA STRUCTURII CRISTALELOR

Simetria structurii interne a cristalelor include, pe lîngă transformările finite care descriu grupurile punctuale, și transformări de simetrie infinite. Izometria simetrică infinită fundamentală este *translația* adică o deplasare care se repetă la infinit de-a lungul unei drepte cu o aceeași distanță bine definită care poartă numele de *perioadă a translației* sau simplu, *translație*. Se pot reține așadar, două sensuri pentru termenul de "translație" care desemnează atît operația de simetrie cît și distanța periodică după care aceasta se produce. Compunerea translațiilor cu fiecare dintre izometriile punctuale generează noi elemente de simetrie care se repetă la infinit în spațiu.

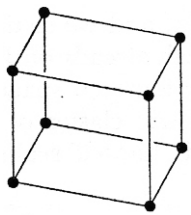
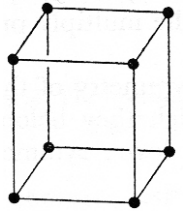
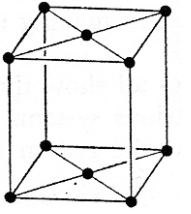
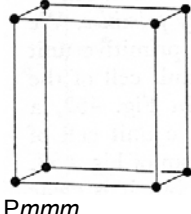
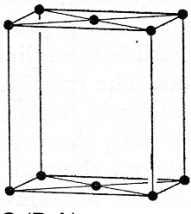
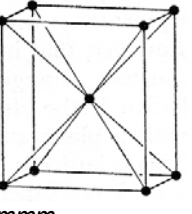
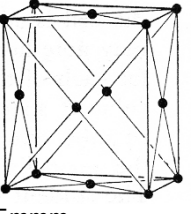
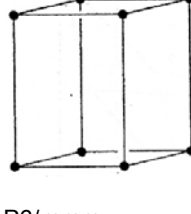
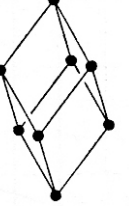
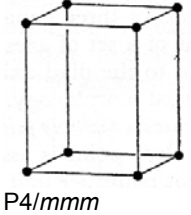
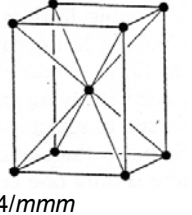
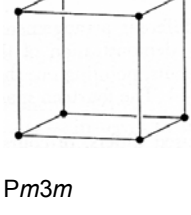
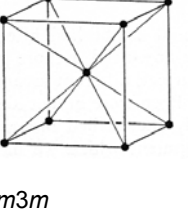
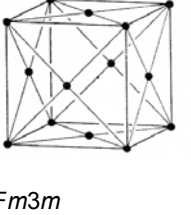
## Rețele Bravais

Pentru fiecare structură este caracteristic setul său de translații elementare sau *grupul translațiilor* care definește rețeaua spațială. În funcție de orientările celor trei translații elementare  $a$ ,  $b$ ,  $c$ , și de raportul reciproc al mărimilor acestora se obțin rețele diferite care se deosebesc prin simetria lor. Numărul rețelilor posibile este totuși limitat. Toate structurile cristaline pot fi descrise prin 14 grupuri de mișcări de ambele genuri, care conțin atît izometrii punctuale cît și translații, și prin care rețeaua se suprapune cu sine. Acestea sînt *grupurile Bravais* cărora le corespund cele 14 *rețele Bravais*.

Se numește rețea Bravais un sistem infinit de puncte care se obține prin repetarea a unui singur punct sau rețeaua infinită dedusă dintr-un punct cu ajutorul elementelor unui grup Bravais. Condițiile cerute unui rețea Bravais sînt:

- (a) simetria ei să corespundă simetriei întregii rețele, adică simetria unei celule primitive sau neprimitive să corespundă simetriei holodrice a sistemului,
- (b) numărul unghiurilor drepte și al laturilor egale să fie maxim,
- (c) volumul celulei să fie minim.

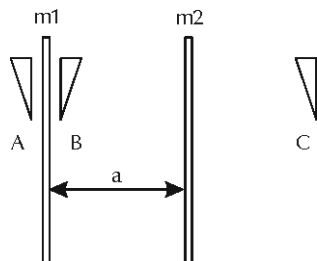


Singonie	Primitivă	Cu baze centrate	Centrate în volum	Cu fețe centrate	Romboedrică
triclinică $\bar{1}$	 $P\bar{1}$				
monoclinică $2/m$	 $P2/m$	 (B) $C2/m$			
rombică $mmm$	 $Pmmm$	 C (B,A) $mmm$	 $Immm$	 $Fmmm$	
hexagonală $6/mmm$	 $P6/mmm$				 $R3m$
tetragonală $4/mmm$	 $P4/mmm$		 $I4/mmm$		
cubică $m3m$	 $Pm3m$		 $Im3m$	 $Fm3m$	

## GRUPURI CRISTALOGRAFICE DE SIMETRIE SPAȚIALĂ

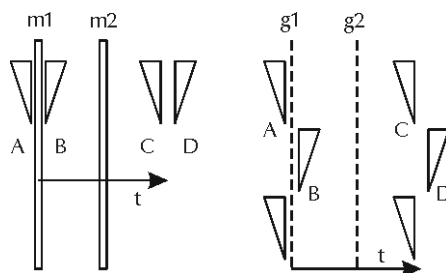
### Teoremele simetriei spațiale

**Teorema 7.** Reflexia succesivă după două plane de simetrie paralele, aflate la distanța  $a$ , este echivalentă cu o translație  $t = 2a$ .

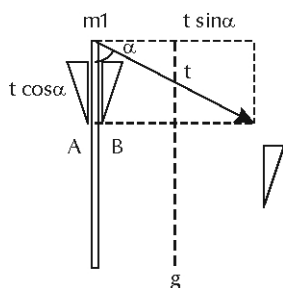


**Teorema 7a.** Orice translație  $t$  poate fi înlocuită cu o reflexie după două plane aflate la distanța  $t/2$  unul de altul.

**Teorema 8.** Un plan de simetrie și o translație perpendiculară pe el generează noi plane de simetrie "intercalate", paralele cu planul generator, de tip analog cu acesta și la o distanță  $t/2$  de el. Teorema se aplică indiferent de tipul planului generator.



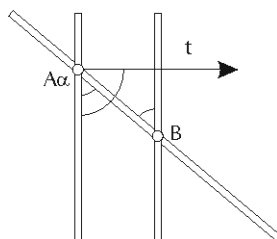
**Teorema 9.** Un plan de simetrie și o translație  $t$  care face cu acesta un unghi  $\alpha$ , generează un plan de reflexie-alunecare paralel cu planul generator și situat la o distanță  $(t/2) \sin \alpha$  de el, în sensul în care are loc translația. Componenta de alunecare în planul generat va fi  $t \cos \alpha$ .



Descompunem  $t$  într-o translație paralelă  $t \cos \alpha$  și una perpendiculară  $t \sin \alpha$ . Conform teoremei 7, planul  $m1$  și translația perpendiculară vor genera un plan omolog cu primul, situat la  $(t/2) \sin \alpha$ . Translația paralelă va da o reflexie cu alunecare având componenta  $t \cos \alpha$ . Teorema este adevărată pentru orice plan generator. Din teoremă rezultă că în structura unui cristal al unui grup punctual cu plane de simetrie, vor apărea plane generate simple sau de reflexie alunecare.

**Teorema 10.** O axă de simetrie cu unghiul  $\alpha$  și o translație  $t$  perpendiculară pe ea, generează o axă de simetrie de același tip, paralelă cu axa inițială, plasată la distanța  $(t/2) \sin \alpha/2$ . Adică:

$$A_{\alpha} \cdot t = m_I \cdot m_{II} \cdot m_I \cdot m_{III} = 1 \cdot m_{II} \cdot m_{III} = A'_{\alpha}$$



Teorema este valabilă pentru orice tip de axă de simetrie. De exemplu, în cazul unei axe elicoidale cu unghi elementar  $\alpha$  și deplasare longitudinală  $t_1$ , compusă cu o translație perpendiculară,  $t_\perp$  se poate scrie:

$$A_\alpha \cdot t_1 \cdot t_\perp = m_I \cdot m_{II} \cdot t_1 \cdot m_I \cdot m_{III} = 1 \cdot t_1 \cdot m_{II} \cdot m_{III} = A'_\alpha \cdot t_1$$

**Teorema 11.** O axă de simetrie cu un unghi de rotație  $\alpha$  și o translație  $t$  care face cu ea unghiul  $\beta$  generează o axă elicoidală. Dacă descompunem  $t$  într-o componentă paralelă  $t_{||} = t \sin \beta$  și o componentă normală  $t_\perp = t \cos \beta$ , avem:

$$A_\alpha \cdot t = A_\alpha \cdot t_{||} \cdot t_\perp$$

unde  $A_\alpha \cdot t_\perp$  este o axă situată față de prima la o distanță  $(t/2) \sin \alpha/2$  de prima. Ceea ce se obține este o axă elicoidală cu translația  $t \cos \beta$ . Teorema este valabilă pentru orice tip de axă. Astfel, o axă elicoidală cu unghi  $\alpha$  și deplasare  $t_1$ , compusă cu o translație  $t$  sub un unghi  $\beta$ , generează o axă elicoidală omoloagă:

$$A_\alpha \cdot t_1 = A_\alpha \cdot t_1 \cdot t_\perp \cdot t_{||} = A'_\alpha \cdot t_1 \cdot t_{||}$$

Teorema arată că o axă de simetrie care trece printr-un nod al celulei elementare, combinată cu translațiile grupului Bravais, generează axe de simetrie simple și elicoidale pe muchiile celulei, în centru și în pozițiile nou generate.

O axă de simetrie cu unghi  $\alpha$  include și rotațiile multiple ale acesteia, iar axele de simetrie generate pot fi de ordine diferite. Luînd ca exemplu axa de ordin 4, aceasta include rotațiile elementare:

$$2\pi (=1), \pi/2, \pi, 3\pi/2$$

Dacă la acestea vom adăuga translațiile celulei primitive plane vom obține:

	$t_1$	$t_2$	$t_1 + t_2$
1	1	1	1
$\pi/2$	$\pi/2$	$3\pi/2$	$\pi/2$
$\pi$	$\pi$	$\pi$	$\pi$
$3\pi/2$	$3\pi/2$	$3\pi/2$	$3\pi/2$

Teoremele enunțate nu epuizează combinațiile posibile ale transformărilor de simetrie infinite, dar ilustrează diversitatea acestor combinații și principiul deducerii lor.

## Simbolurile internaționale ale grupurilor de simetrie spațială

Se numește *grup spațial de simetrie* mulțimea tuturor transformărilor simetrice ale unei structuri cristaline. Grupul spațial măsoară simetria rețelei cristaline așa cum grupul punctual caracterizează simetria formelor exterioare sau a proprietăților sale macroscopice. Fiecare grup punctual conține câteva grupuri spațiale. Pentru a deduce grupul punctual pornind de la cel spațial este suficient să se anuleze mintal toate translațiile, adică să se considere planele de reflexie alunecare ca plane simple și axele elicoidale ca axe de rotație.

Există 230 de grupuri spațiale care au fost deduse concomitent și independent de Schönflies și Fedorov între 1890 și 1894, deci cu două decenii înainte de a se confirma prin difracția razelor X, existența structurii cristaline.

Ordinea pozițiilor în simbolurile grupurilor spațiale

Singonia	Poziția în simbol			
	I (Simbolul Bravais)	II	III	IV
Cubică	P, I, F	Elementele de simetrie ale axelor de coordonate X,Y,Z	Patru axe de ordin 3	Elementele de simetrie diagonale*
Tetragonală	P, I	Elementele de simetrie ale axei Z	Elemente de simetrie ale axelor de coordonate orizontale X, Y	Elementele de simetrie diagonale
Hexagonală	P(C), R	Elementele de simetrie ale axei Z	Elemente de simetrie ale axelor de coordonate orizontale X, Y (U)	Elementele de simetrie diagonale
Rombică	P, C (B, A), I, F	Elementele de simetrie ale axei X	Elementele de simetrie ale axei Y	Elementele de simetrie ale axei Z
Monoclinică	P, C (B, A)	Elementele de simetrie ale axei Y		
Triclinică	P	1, $\bar{1}$		

## DREPTLE ȘI PLANELE REȚELEI

Rețeaua spațială este un sistem de noduri care se află la extremitatea unor vectori de forma:

$$t_{p_1 p_2 p_3} = p_1 a_1 + p_2 a_2 + p_3 a_3$$

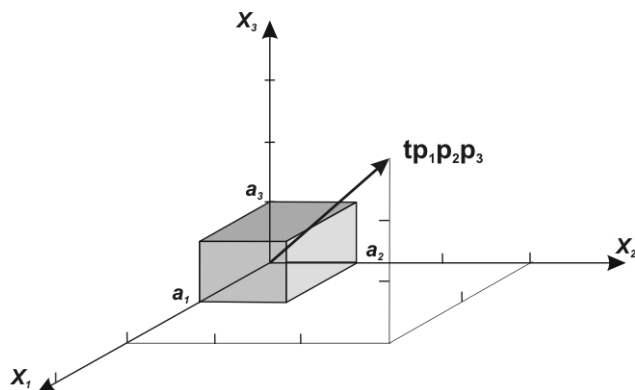
construiți pe setul celor trei translații elementare necoplanare ale rețelei:  $a_1$ ,  $a_2$ ,  $a_3$  care sînt și vectorii de coordonate sau, după cum se mai spune, formează baza vectorială a spațiului cristalin respectiv. Expresia de mai sus constituie baza cristalografiei geometrice și din ea rezultă în particular, legea parametrilor raționali. O rețea infinită  $T(x)$  poate fi definită cu ajutorul relației

$$T(x) = \sum_{p_1} \sum_{p_2} \sum_{p_3} \delta(x - p_1 a_1, y - p_2 a_2, z - p_3 a_3) = \sum_{p_1 p_2 p_3} \delta(r - t_{p_1 p_2 p_3})$$

unde funcția  $\delta$  are valoarea 1 în noduri și 0 în afara lor. Prin urmare, fiecare nod se caracterizează printr-un set de trei numere întregi  $p_1$   $p_2$   $p_3$ . Prin nodurile rețelei pot fi duse drepte ale căror poziții sînt comod de determinat cu ajutorul perechilor de noduri pe care acestea le străbat. În particular, dacă unul din dintre noduri e luat ca origine, atunci un alt nod

$p_1 p_2 p_3$  definește o asemenea dreaptă, iar simbolul ei va fi format din cei trei indici notați în paranteze drepte.

Poziția unui plan al nodurilor va putea fi determinată de trei noduri necoliniare. Dacă cele trei noduri se află pe axele de coordonate, atunci planul va tăia pe ele segmente care sînt multipli întregi ai versorilor axelor sau ai translațiilor elementare:  $p_1 a_1$  pe prima axă,  $p_2 a_2$  pe a doua,  $p_3 a_3$  pe a treia. Setul de numere  $p_1 p_2 p_3$  reprezintă parametrii Weiss ai planului.



Dacă nu interesează caracteristicile metrice ale cristalului, cei trei indici  $p_1 p_2 p_3$  sînt suficienți pentru definirea rețelei, a dreptelor și planelor acesteia. Dacă ne preocupă însă și distanțele, unghiurile etc., atunci trebuie cunoscute și valorile concrete ale translațiilor  $a_i$ .

Fie planul cu parametrii Weiss  $p_1 p_2 p_3$ . Ecuația sa are forma

$$x_1/p_1 a_1 + x_2/p_2 a_2 + x_3/p_3 a_3 = 1,$$

iar dacă exprimăm coordonatele prin versorii axelor  $x_i' = x_i/a_i$ , atunci

$$x_1'/p_1 + x_2'/p_2 + x_3'/p_3 = 1,$$

ceea ce se mai poate scrie ca

$$h x_1' + k x_2' + l x_3' = p$$

$p_1 a_1$  pe prima axă, pe a doua,  $p_3 a_3$

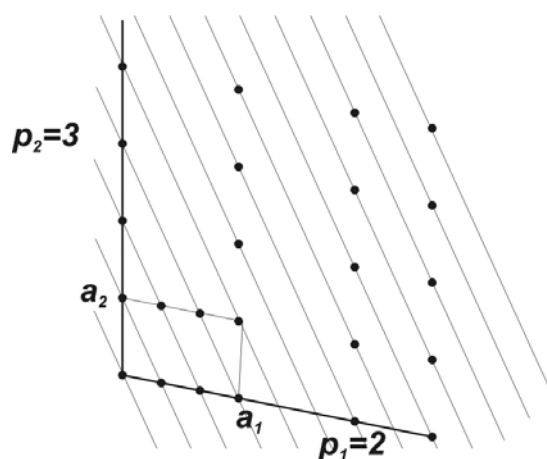
unde  $h=p_2 p_3$ ,  $k=p_1 p_3$ ,  $l= p_1 p_2$  și  $p= p_1 p_2 p_3$ ;  $h$ ,  $k$  și  $l$  sînt indicii Miller ai planelor. Spre deosebire de notația fețelor, în cazul planelor structurii interne *nu se mai simplifică divizorul comun al indicilor* (dacă acesta există). De exemplu, feței (211) îi corespund plane de tipul (211), (422), (633) etc. Prin fiecare nodal rețelei poate trece un plan cu indicii(hkl) care va fi paralel cu un plan dat de relația

$$h x_1' + k x_2' + l x_3' = p$$

Produsul  $p=p_1 p_2 p_3$  se numește *ordinul planului* și arată cîte plane paralele (hkl) trec între planul care traversează originea

$$h x_1' + k x_2' + l x_3' = 0$$

și planul considerat.



Fiecare dintre aceste plane va acoperi rețele plane de egală translație, adică rețele paralele și echidistante. Sînt posibile orice valori  $p = 0, \pm 1, \pm 2 \dots$ . Condiția ca un anumit vector  $t_{p_1 p_2 p_3}$  să se afle în planul  $hkl$  este

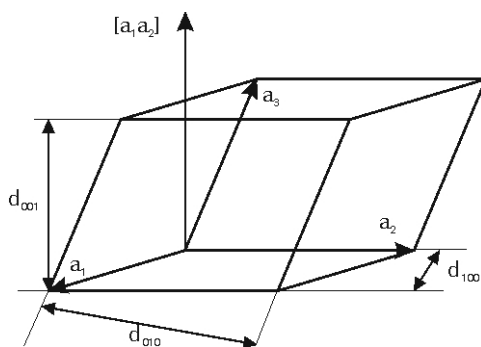
$$h_1 p_1 + h_2 p_2 + h_3 p_3 = 0 \text{ adică tocmai legea zonelor.}$$

### REȚEAUA RECIPROCĂ

Distanța dintre două plane din familia  $(hkl)$  se notează  $d_{hkl}$ . Ea se măsoară după normala la planul  $hkl$  și depinde de indicii metrici  $a_1, a_2, a_3$  (sau  $a, b, c$ ) ai celulei elementare. Pe fiecare dintre planele familiei  $(hkl)$  se poate construi un vector perpendicular  $H_{hkl}$  a cărui lungime o definim ca fiind inversa distanței dintre plane

$$H_{hkl} = d_{hkl}^{-1}$$

În cazul general al unei celule oblice, normala la planul a două translații elementare este dat de un produs vectorial  $[a_i a_j]$ , adică un vector al cărui modul este aria  $a_i a_j$  a celulei plane respective, iar distanțele dintre plane sînt cîturile împărțirii volumului celulei la aria  $a_i a_j$ .



Volumul celulei este dat de

$$\Omega = a_1 [a_2 a_3] = a_2 [a_3 a_1] = a_3 [a_1 a_2], \text{ deci}$$

$$d_{100} = \Omega / [a_2 a_3]$$

$$d_{010} = \Omega / [a_3 a_1]$$

$$d_{001} = \Omega / [a_1 a_2]$$

ceea ce permite definirea a trei vectori perpendiculari pe planele de coordonate, și anume

$$\begin{aligned} \mathbf{H}_{100} &= \mathbf{a}^*_1 \\ \mathbf{H}_{010} &= \mathbf{a}^*_2 \\ \mathbf{H}_{001} &= \mathbf{a}^*_3 \end{aligned}$$

egali cu

$$\begin{aligned} \mathbf{a}^*_1 &= [\mathbf{a}_2\mathbf{a}_3] / \Omega \\ \mathbf{a}^*_2 &= [\mathbf{a}_3\mathbf{a}_1] / \Omega \\ \mathbf{a}^*_3 &= [\mathbf{a}_1\mathbf{a}_2] / \Omega \end{aligned}$$

obținându-se

$$\begin{aligned} d_{100} &= \mathbf{a}_1^{*-1} \\ d_{010} &= \mathbf{a}_2^{*-1} \\ d_{001} &= \mathbf{a}_3^{*-1}. \end{aligned}$$

Dacă rețelele sînt ortogonale, atunci

$$\begin{aligned} \mathbf{a}^*_1 &= \mathbf{a}_1^{-1} = d_{100}^{-1} \\ \mathbf{a}^*_2 &= \mathbf{a}_2^{-1} = d_{010}^{-1} \\ \mathbf{a}^*_3 &= \mathbf{a}_3^{-1} = d_{001}^{-1} \end{aligned}$$

Vectorul  $\mathbf{H}$  pentru un plan arbitrar cu indicii Miller (h,k,l) va fi

$$\mathbf{H}_{hkl} = h\mathbf{a}_1 + k\mathbf{a}_2 + l\mathbf{a}_3$$

Totalitatea vectorilor  $\mathbf{H}_{hkl}$  construiți pe vectorii bazei  $\mathbf{a}_1, \mathbf{a}_2, \mathbf{a}_3$  se numește *rețea reciprocă*, iar vectorii  $\mathbf{a}^*_1, \mathbf{a}^*_2, \mathbf{a}^*_3$  ( $\mathbf{a}^*, \mathbf{b}^*, \mathbf{c}^*$ ), *versori ai rețelei reciproce*. Rețeaua reciprocă este definită în spațiul tridimensional reciproc, avînd dimensiunea lungimilor inverse. Între rețeaua atomică directă și cea reciprocă se pot stabili următoarele legături:

- dreptele nodurilor într-una din rețele sînt perpendiculare pe planele din cealaltă rețea;
- dreptele dintre noduri într-o rețea sînt inversele distanțelor interplanare din cealaltă;
- indicii dreptelor dintr-o rețea sînt inverșii indicilor planelor din cealaltă;
- vectorii rețelei reciproce sînt definiți ca soluție a sistemului

$$\begin{aligned} \mathbf{a}_1\mathbf{a}_1 &= 1 \quad \mathbf{a}_2\mathbf{a}_1 = 0 \quad \mathbf{a}_3\mathbf{a}_1 = 0 \\ \mathbf{a}_1\mathbf{a}_2 &= 0 \quad \mathbf{a}_2\mathbf{a}_2 = 1 \quad \mathbf{a}_3\mathbf{a}_2 = 0 \\ \mathbf{a}_1\mathbf{a}_3 &= 0 \quad \mathbf{a}_2\mathbf{a}_3 = 0 \quad \mathbf{a}_3\mathbf{a}_3 = 1 \end{aligned}$$

## TRANSFORMĂRI ALE SISTEMELOR DE COORDONATE ÎN CRISTALOGRAFIE

După cum am arătat într-unul din capitolele anterioare sistemele de coordonate cristalografice se aleg în funcție de simetria cristalului, de apartenența acestuia la o anumită singonie. Fiecare sistem de referință va fi definit de o *relație axială* adică, de un set caracteristic de rapoarte ale modulelor versorilor axiali  $\mathbf{a}, \mathbf{b}, \mathbf{c}$  și de unghiurile pe care aceștia le formează:  $\alpha$  ( $\mathbf{b} \wedge \mathbf{c}$ ),  $\beta$  ( $\mathbf{a} \wedge \mathbf{c}$ ),  $\gamma$  ( $\mathbf{a} \wedge \mathbf{b}$ ). În funcție de sistemul de cristalizare, cei trei versori  $\mathbf{a}, \mathbf{b}, \mathbf{c}$  pot aparține unui triedru  $T\{\mathbf{abc}\}$  ortogonal – ca în cazul sistemelor cubic, tetragonal și rombic, sau neortogonal – ca în cazul sistemelor hexagonal, trigonal, monoclinic și triclinic. În cazul sistemelor neortogonale este utilă, pe lîngă stabilirea sistemului de referință direct  $T\{\mathbf{abc}\}$ , și definirea unui sistem de referință reciproc  $T^*\{\mathbf{a}^*\mathbf{b}^*\mathbf{c}^*\}$  după cum urmează:  $\mathbf{a}^* \perp (\mathbf{b}, \mathbf{c})$ ,  $\mathbf{b}^* \perp (\mathbf{a}, \mathbf{c})$  și  $\mathbf{c}^* \perp (\mathbf{a}, \mathbf{b})$ .

Versorii sistemului reciproc vor fi, după cum urmează:

$$\begin{aligned} \mathbf{a}^* &= \mathbf{bc} \sin \alpha / V; \\ \mathbf{b}^* &= \mathbf{ac} \sin \beta / V; \\ \mathbf{c}^* &= \mathbf{ab} \sin \gamma / V \end{aligned}$$

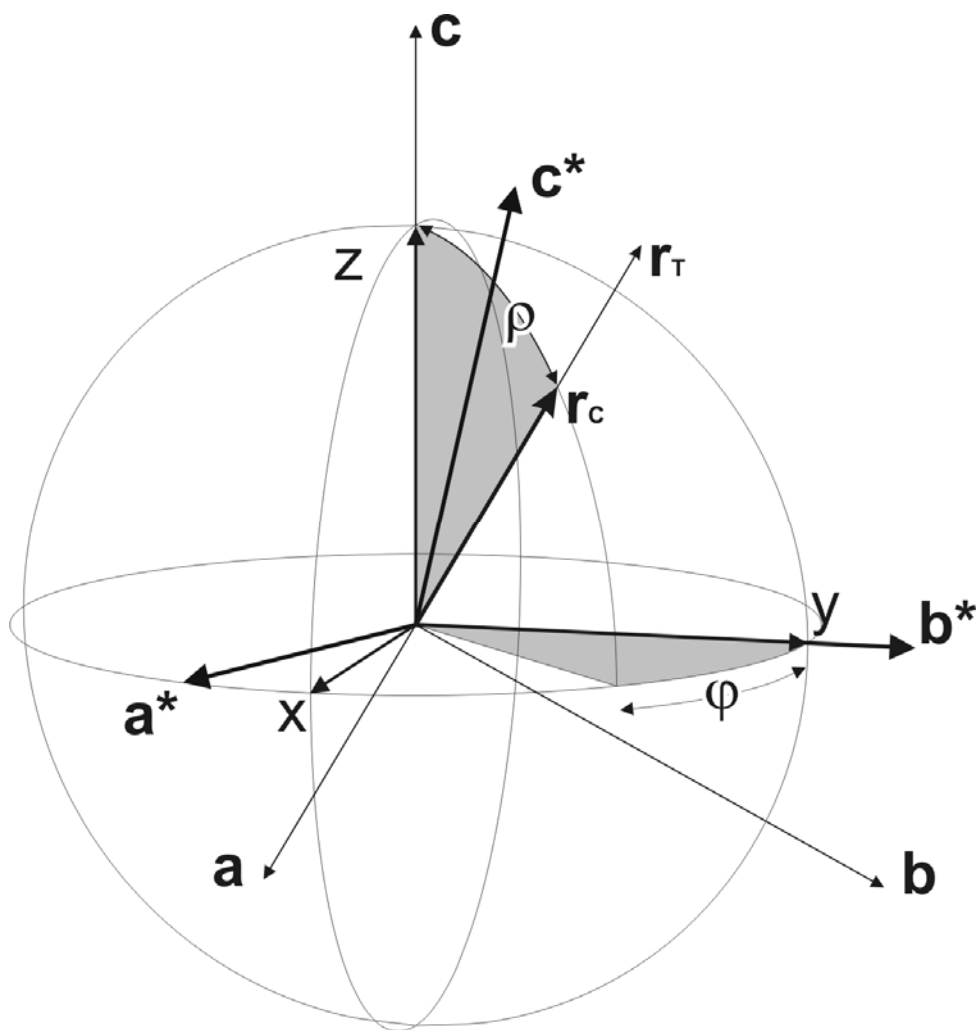
unde  $V = abc \sqrt{1 - \cos^2 \alpha - \cos^2 \beta - \cos^2 \gamma + 2 \cos \alpha \cos \beta \cos \gamma}$

Componentele unei direcții  $\mathbf{r}$  perpendiculare pe un plan oarecare (hkl) vor respecta condiția

$$\mathbf{r} = h\mathbf{a}^* + k\mathbf{b}^* + l\mathbf{c}^*$$

adică, vor fi egale cu indicii Miller ai planului, dar numai prin raportare la axele sistemului reciproc. Componentele vectorului  $\mathbf{r}$ , definite în spațiul direct, vor fi egale cu indicii Miller ai planului perpendicular numai în cazul în care ambele elemente se pot raporta la axe cu versori egali. Spre exemplu, într-un sistem ortogonal cu  $\mathbf{a}=1$ ,  $\mathbf{b}=1$ ,  $\mathbf{c}=3$ , planul (hkl=210) este perpendicular pe direcția [mno=210]. În toate celelalte cazuri, relația între componentele de direcție [mno] ale unui vector și indicii Miller ai planului perpendicular, este mult mai complexă și va fi tratată într-unul din paragrafele de mai jos.

Proiecția stereografică a unei direcții sau a unui plan implică transpunerea coordonatelor de direcție [mno], a parametrilor Weiss sau a indicilor Miller în coordonate bidimensionale. Prin însuși principiul de construcție al proiecției stereografice, un pas intermediar, obligatoriu, al acestei transpuneri de coordonate îl constituie transformarea coordonatelor analitice ale unei direcții sau ale unui plan, în *coordoanate sferice* măsurate după cum urmează:  $\varphi$  - "longitudine" – măsurată după direcția  $\mathbf{b}^*$  ( $\equiv \mathbf{b}$  în cazul singoniilor ortogonale) și  $\rho$  - "latitudine" – măsurată după direcția axei cristalografice  $\mathbf{c}$  (figura următoare).



*Relația dintre un sistem de axe de coordonate oarecare  $T\{\mathbf{abc}\}$ , sistemul corespunzător de axe reciproce  $T^*\{\mathbf{a}^*\mathbf{b}^*\mathbf{c}^*\}$ , un sistem de axe cartezian  $C\{\mathbf{x,y,z}\}$  cu orientare standard, și sistemul de coordonate sferice  $\varphi$  și  $\rho$*



Între un set de indici Miller, parametri Weiss sau componente [mno] ale unei direcții, pe de-o parte, și un set de coordonate sferice, pe de altă parte, se poate stabili o relație univocă, relativ ușor de dedus în cazul celor mai multe singonii (a se vedea tabelul de mai jos), formulele de calcul găsindu-se în multe manuale consacrate. Nu același lucru este valabil însă, în cazul singoniei triclinice, pentru care relația axială este de forma  $\mathbf{a} \neq \mathbf{b} \neq \mathbf{c}$ ,  $\alpha \neq \beta \neq \gamma \neq 90^\circ$ , și pentru care calculul coordonatelor sferice poate ridica dificultăți foarte mari.

*Formule pentru calculul unghiurilor  $\varphi$  și  $\rho$ , în funcție de indicii Miller și de elementele axiale, în toate singoniile cristalografice cu excepția celei triclinice.*

Singonie	$\tan \varphi$	$\tan \rho$	
		$k \neq 0$	$k = 0$
<b>monoclinică</b>	$\frac{hc/a + l \sin(\beta - 90)}{kc \sin \beta}$	$\frac{kc}{l \cos \varphi}$	$\frac{hc/a + l \sin(\beta - 90)}{l \sin \varphi \cos(\beta - 90)}$
<b>rombică</b>	$\frac{h}{ak}$	$\frac{kc}{l \cos \varphi}$	$\frac{hc}{la \sin \varphi}$
<b>tetragonală</b>	$\frac{h}{k}$	$\frac{c}{l} \sqrt{h^2 + k^2}$	
<b>hexagonală</b>	$1.1547 \left( \frac{h}{k} + \frac{1}{2} \right)$	$\frac{kc}{l \cos \varphi}$	$\frac{hc}{l \sin(\varphi - 30)}$
<b>cubică</b>	$\frac{h}{k}$	$\sqrt{\frac{h^2 + k^2}{l^2}}$	

Ne propunem așadar, descrierea unui algoritm de transformare a tripletelor de direcție [mno] sau a indicilor Miller (hkl) în coordonate sferice  $\varphi$  și  $\rho$  prin *ortogonalizarea sistemului de axe triclinic*, adică al transformării unui sistem oarecare (natural)  $T\{\mathbf{abc}\}$  într-unul cartezian  $C\{\mathbf{xyz}\}$ . Din multitudinea de posibilități pe care le avem de a orienta sistemul cartezian în raport cu cel triclinic am ales următoarea variantă, adoptată ca standard de cea mai mare parte a literaturii cristalografice:  $\mathbf{z} \parallel \mathbf{c}$ ;  $\mathbf{y} \parallel \mathbf{b}^*$ ;  $\mathbf{x} \perp \mathbf{c}$ .

În această orientare, relația dintre sistemul natural și cel cartezian este descrisă de următoarele relații:

$$\begin{aligned}\mathbf{a} &= a_{11}\mathbf{x} + a_{31}\mathbf{z} \\ \mathbf{b} &= a_{12}\mathbf{x} + a_{22}\mathbf{y} + a_{32}\mathbf{z} \\ \mathbf{c} &= a_{33}\mathbf{y}\end{aligned}$$

unde  $\mathbf{x}$ ,  $\mathbf{y}$  și  $\mathbf{z}$  reprezintă versorii axelor din sistemul cartezian, iar  $a_{ij}$ , un set de numere reale. Astfel, o direcție  $\mathbf{r}_C$  din sistemul cartezian va fi exprimată în funcție de coordonatele sistemului natural prin relația:

$$\mathbf{r}_C = \mathbf{A} \mathbf{r}_T$$

unde **A** este *matricea de ortogonalizare* a sistemului natural, de forma:

$$\mathbf{A} = \begin{vmatrix} a_{11} & a_{12} & 0 \\ 0 & a_{22} & 0 \\ a_{31} & a_{32} & a_{33} \end{vmatrix}$$

Între o direcție  $\mathbf{r}_T$  definită în sistemul natural  $T\{\mathbf{abc}\}$  și aceeași direcție  $\mathbf{r}_{T^*}$  definită în sistemul reciproc  $T^*\{\mathbf{a^*b^*c^*}\}$  există următoarea relație:

$$\mathbf{r}_{T^*} = \begin{vmatrix} \mathbf{a} \cdot \mathbf{a} & \mathbf{a} \cdot \mathbf{b} & \mathbf{a} \cdot \mathbf{c} \\ \mathbf{b} \cdot \mathbf{a} & \mathbf{b} \cdot \mathbf{b} & \mathbf{b} \cdot \mathbf{c} \\ \mathbf{c} \cdot \mathbf{a} & \mathbf{c} \cdot \mathbf{b} & \mathbf{c} \cdot \mathbf{c} \end{vmatrix} \mathbf{r}_T = \begin{vmatrix} a^2 & ab\cos\gamma & accos\beta \\ ab\cos\gamma & b^2 & bccos\alpha \\ accos\beta & bccos\alpha & c^2 \end{vmatrix} \mathbf{r}_T = \mathbf{B} \mathbf{r}_T$$

Transpunerea unei direcții  $\mathbf{r}_C$  din sistemul cartezian în sistemul reciproc  $T^*\{\mathbf{a^*b^*c^*}\}$  se realizează conform relației

$$\mathbf{r}_{T^*} = \mathbf{A}^t \mathbf{r}_C$$

unde  $\mathbf{A}^t$  reprezintă transpusa matricii de ortogonalizare **A**:

$$\mathbf{A}^t = \begin{vmatrix} a_{11} & 0 & a_{31} \\ a_{12} & a_{22} & a_{32} \\ 0 & 0 & a_{33} \end{vmatrix}$$

Înlocuind în pe  $\mathbf{r}_C$  cu  $\mathbf{r}_C = \mathbf{A} \mathbf{r}_T$  stabilit anterior, rezultă:

$$\mathbf{r}_{T^*} = \mathbf{A}^t \mathbf{A} \mathbf{r}_T = \mathbf{B} \mathbf{r}_T$$

Astfel, pe baza ecuației

$$\mathbf{B} = \mathbf{A}^t \mathbf{A}$$

putem stabili valoarea termenilor  $a_{ij}$  din matricea de ortogonalizare **A**. Efectuând produsul  $\mathbf{A}^t \mathbf{A}$  obținem:

$$\mathbf{A}^t \mathbf{A} = \begin{vmatrix} a_{11}^2 + a_{31}^2 & a_{11}a_{12} + a_{31}a_{32} & a_{31}a_{33} \\ a_{11}a_{12} + a_{31}a_{32} & a_{12}^2 + a_{22}^2 + a_{32}^2 & a_{32}a_{33} \\ a_{31}a_{33} & a_{32}a_{33} & a_{33}^2 \end{vmatrix}$$

Egalând termen cu termen această matrice cu **B**, obținem matricea **A**:

$$\mathbf{A} = \begin{vmatrix} a\sin\beta & -b\sin\alpha\cos\gamma^* & 0 \\ 0 & b\sin\alpha\sin\gamma^* & 0 \\ a\cos\beta & b\cos\alpha & c \end{vmatrix}$$

semnificația variabilelor fiind, după cum urmează:

$$\begin{aligned}
- \sin \gamma^* &= \frac{V}{abc \sin \alpha \sin \beta} \\
- \cos \gamma^* &= \frac{\cos \alpha \cos \beta - \cos \gamma}{\sin \alpha \sin \beta}
\end{aligned}$$

**Procedura de calcul.** Fie  $\mathbf{r}_{[mno]}$  direcția aleasă pentru proiecție, în componente  $[mno]$  date după sistemul de referință T. Se înmulțește vectorul  $\mathbf{r}_{[mno]}$  cu **A**, obținându-se proiecția lui –  $\mathbf{r}_{C[m'n'o']}$  – în sistemul cartezian:

$$\begin{vmatrix} m' \\ n' \\ o' \end{vmatrix} = \begin{vmatrix} m \\ n \\ o \end{vmatrix} \mathbf{A}$$

Se normalizează vectorul  $\mathbf{r}_{C[m'n'o']}$ , adică, se împarte fiecare componentă a sa la  $\sqrt{m'^2 + n'^2 + o'^2}$  și se obține vectorul unitar  $\mathbf{r}_{C[m'n'o']}$ . Din figura anterioară se poate observa că proiecția (componenta) vectorului  $\mathbf{r}_C$  pe axa **Z** este  $\cos \rho$ . În mod asemănător, proiecția lui  $\mathbf{r}_C$  pe axa **Y** este  $\sin \rho \cos \varphi$ , iar pe axa **X**,  $\sin \rho \sin \varphi$ . Așadar, pentru aflarea unghiurilor  $\rho$  și  $\varphi$ , se rezolvă ecuațiile:

$$\begin{aligned}
\rho &= \arccos(o') \\
\varphi &= \arcsin(m'/\sin \rho) \text{ sau} \\
\varphi &= \arccos(n'/\sin \rho)
\end{aligned}$$

Unghiurile  $\varphi$  și  $\rho$  obținute sunt măsurate astfel:  $\varphi$ , în sens anti-trigonometric, pornind de la direcția **Y**, iar  $\rho$ , în același sens, pornind de la sensul pozitiv al axei **Z**, spre ecuatorul sferei de proiecție. În funcție de valorile lui  $m$ ,  $n$  și  $o$  care determină octantul trigonometric în care se va proiecta direcția aleasă, vor fi efectuate corecțiile corespunzătoare.

În cazul unui plan oarecare, dat prin indicii Miller  $(hkl)$ , coordonatele sferice se vor referi la normala la plan,  $\mathbf{r}_{(hkl)}$ . Procedeu de aflare a unghiurilor  $\varphi$  și  $\rho$  este asemănător cu cel descris mai sus, deosebirea constând în faptul că matricea de ortogonalizare va fi *inversa transpusei matricii A*

$$\mathbf{A}_p = \mathbf{A}^{t-1} = \begin{vmatrix} a^* \sin \gamma^* & 0 & -c^* \cos \beta \sin \alpha^* \\ a^* \cos \gamma^* & b^* & c^* \cos \alpha^* \\ 0 & 0 & c^* \sin \alpha^* \sin \beta \end{vmatrix}$$

unde

$$\begin{aligned}
- \sin \alpha^* &= \frac{V}{abc \sin \beta \sin \gamma} \\
- \cos \alpha^* &= \frac{\cos \beta \cos \gamma - \cos \alpha}{\sin \beta \sin \gamma}
\end{aligned}$$

Proiecția normalei  $\mathbf{r}_{(hkl)}$  în sistemul cartezian ales va fi calculată astfel

$$\begin{vmatrix} h' \\ k' \\ l' \end{vmatrix} = \begin{vmatrix} h \\ k \\ l \end{vmatrix} \mathbf{A}_p$$

După normalizarea vectorului  $\mathbf{r}_{C(h'k'l')}$ , unghiurile  $\varphi$  și  $\rho$  vor putea fi aflate rezolvând ecuația

$$\begin{vmatrix} h' \\ k' \\ l' \end{vmatrix} = \begin{vmatrix} \sin\phi\sin\rho \\ \cos\phi\sin\rho \\ \cos\rho \end{vmatrix}$$

Este de remarcat faptul că matricea  $\mathbf{A_P}$  descrie și relația dintre un plan (hkl) și direcția perpendiculară pe acesta,  $[h'k'l']$  fiind chiar indicii de direcție în sistem cartezian al vectorului perpendicular pe planul (hkl). Pentru a afla componentele acestui vector în sistemul natural, se va efectua înmulțirea  $[h'k'l']^t \mathbf{A}^{-1}$ .

Metoda descrisă poate fi aplicată oricărui sistem cristalografic, matricile de ortogonalizare particularizându-se corespunzător. Spre exemplu, în cazul sistemelor de cristalizare cărora le sunt proprii sisteme de referință ortogonale, matricea  $\mathbf{A}$  va lua forma

$$\mathbf{A} = \begin{vmatrix} a & 0 & 0 \\ 0 & b & 0 \\ 0 & 0 & c \end{vmatrix}$$

iar  $\mathbf{A_P}$ :

$$\mathbf{A_P} = \begin{vmatrix} a^* & 0 & 0 \\ 0 & b^* & 0 \\ 0 & 0 & c^* \end{vmatrix}$$

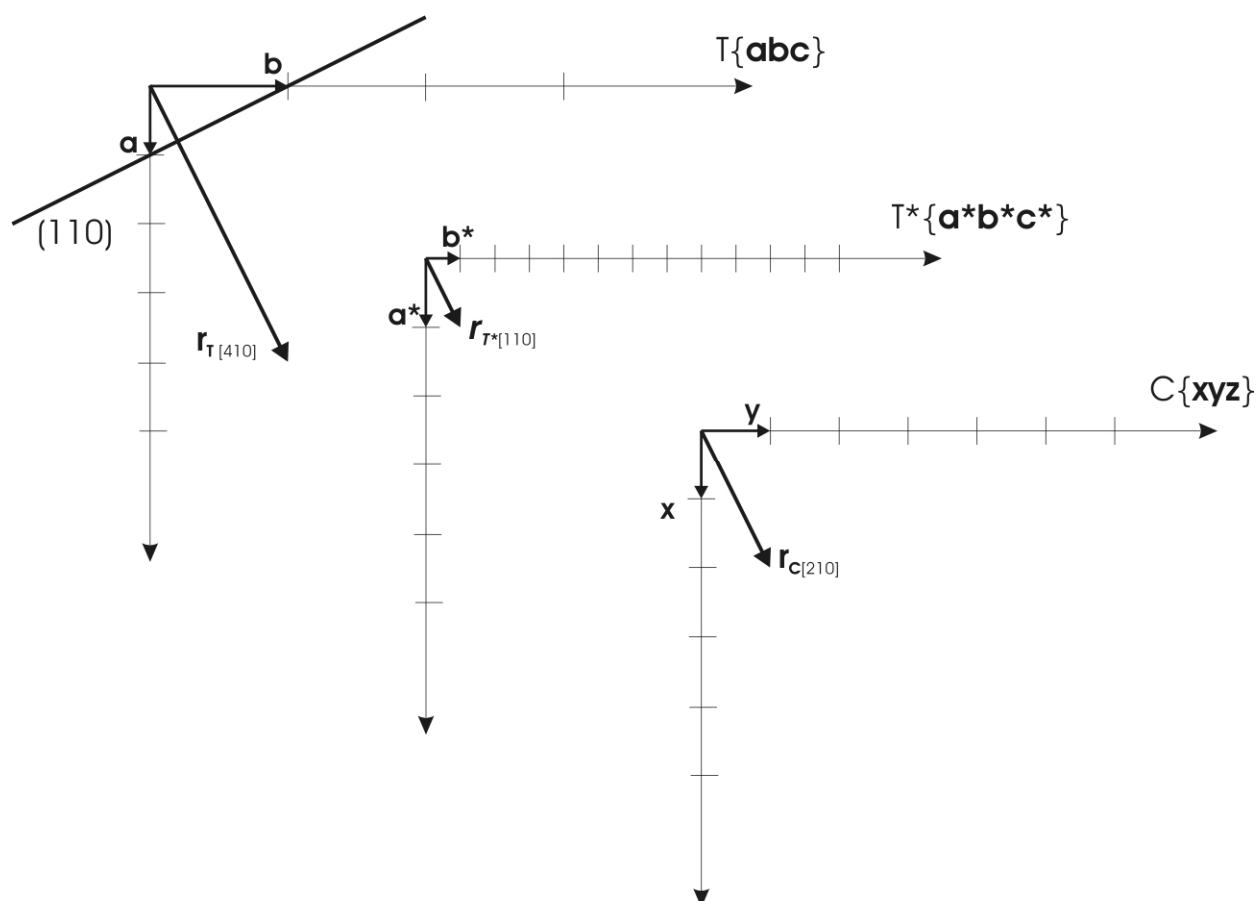
Pentru a înțelege mai bine relația dintre un sistem natural  $T\{\mathbf{abc}\}$ , și sistemele cartezian  $C\{\mathbf{xyz}\}$  și reciproc  $T^*\{\mathbf{a^*b^*c^*}\}$  corespunzătoare, putem analiza următorul exemplu: să determinăm componentele de direcție în T, ale vectorului  $\mathbf{r}$  perpendicular pe planul (110) definit într-o singonie rombică ( $\alpha=\beta=\gamma=90^\circ$ ) cu:  $\mathbf{a}=1$ ,  $\mathbf{b}=2$  (valoarea lui  $\mathbf{c}$  nu are importanță în acest exemplu).

Poziția planului (110) este redată în figura următoare. În conformitate cu relația  $\mathbf{r} = h\mathbf{a}^* + k\mathbf{b}^* + l\mathbf{c}^*$ , în sistemul reciproc  $T^*$ , vectorul  $\mathbf{r}$  va avea componentele de direcție egale cu indicii Miller ai planului, adică [110]. Pentru singonia aleasă, direcțiile axelor reciproce coincid cu cele ale axelor directe, dar versorii acestora vor fi:  $\mathbf{a}^*=1/\mathbf{a}=1$ ,  $\mathbf{b}^*=1/\mathbf{b}=1/2$ . Pentru a afla componentele lui  $\mathbf{r}$  în C, se efectuează înmulțirea  $[hkl]^t \mathbf{A_P}$ , unde  $\mathbf{A_P}$  va avea forma din ultima ecuație. Prin normalizare, se obține vectorul  $\mathbf{r_C}$  cu componentele [210].

Pentru a determina componentele lui  $\mathbf{r}$  în T, înmulțim pe  $\mathbf{r_C}$  cu  $\mathbf{A}^{-1}$  având expresia

$$\mathbf{A}^{-1} = \begin{vmatrix} a^*\sin\beta^* & -b^*\sin\alpha^*\cos\gamma & 0 \\ 0 & b^*\sin\alpha^*\sin\gamma & 0 \\ a^*\cos\beta^* & b^*\cos\alpha^* & c^* \end{vmatrix}$$

Pentru exemplul ales însă,  $\mathbf{A}^{-1}$  ia forma lui  $\mathbf{A_P}$  din ultima ecuație. În final, vom obține  $\mathbf{r_T}$  cu componentele [410].



Proiecții în spațiul direct (a), reciproc (b) și cartezian (c) ale vectorului  $r$ , perpendicular pe planul  $(110)$

# DIFRACTIA RAZELOR X ÎN CRISTALE

Studiul structurii atomice a substanțelor se bazează pe fenomenele de difracție a radiațiilor X, a electronilor sau a neutronilor. Teoria difracției, care studiază legătura dintre împrăștierea radiațiilor și așezarea în spațiu a atomilor, este aceeași pentru toate radiațiile, însă în cele ce urmează ne vom referi la metoda cea mai des utilizată și anume, cea bazată pe radiațiile X.

Radiațiile electromagnetice cu lungimi de undă foarte mici pot fi difractate de rețelele cristaline datorită existenței unor interspații cu dimensiuni mici în aceste structuri ("mici" însemnând de fapt, "comparabile" ca dimensiuni cu lungimile de undă ale radiațiilor care se difractă). Razele X și electronii accelerați sînt radiații potrivite pentru acest scop deoarece au lungimi de undă foarte reduse: în general mai mici de 2Å, în timp ce interstițiile cristaline nu sînt mai mici decît 2Å. Procesul de difracție are drept rezultat formarea unei *imagini de interferență* cu ajutorul cărora se pot obține informații asupra geometriei rețelei cristaline:

- se pot deduce familii de plane reticulare paralele și echidistante cu intervalul  $d_{hkl}$ , din care se pot calcula dimensiunile motivului repetabil al rețelei (celula elementară);
- se pot deduce tipurile de atomi și poziția lor în celula elementară, adică se poate determina structura cristalină

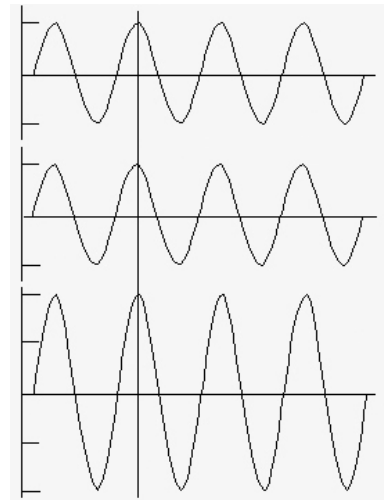
Geometria și conținutul unei structuri cristaline sînt de cea mai mare importanță pentru cunoașterea și caracterizarea unei specii minerale sau a oricărui tip de material, deoarece acestea oferă informații despre tipurile și numărul de atomi de diverse specii (compoziția chimică), precum și despre aranjamentul acestor atomi. Cu aceste date, putem stabili cu precizie identitatea unui material și putem calcula sau prezice practic, oricare proprietăți ale materialului respectiv.

Difracția poate fi definită ca un proces de interacțiune între o undă și un obiect, în urma căruia se transmite o anumită informație despre geometria obiectului respectiv. Această interacțiune constă în esență, dintr-o *deviere (împrăștiere)* a undelor de la traseul lor inițial, avînd drept rezultat formarea unor fascicule de raze *defazate* care *interferă*.

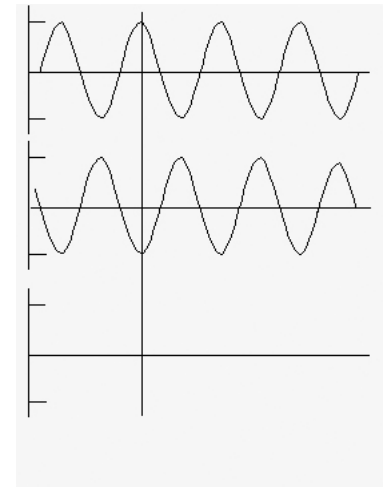
Deoarece toate undele vor avea tendința de a parcurge traiectorii rectilinii în spațiu, difracția va fi observabilă numai dacă vor fi suficiente radiații deviate și întîrziate. Această proporție de radiații deviate și defazate se poate obține, forțînd undele să treacă prin spații foarte înguste cum ar fi orificii sau fante într-un obiect. Cît de "înguste" vor fi aceste orificii sau fante, va depinde de lungimea de undă a radiațiilor pe care vrem să le difractăm. Dacă orificiile sau fantele sînt prea mari, atunci un număr prea mare de raze vor trece nedeviate (formînd ceea ce numim *fascicul direct*) oblîterînd razele difractate. Dacă orificiile sînt prea mici, procesul va fi practic imposibil de observat.

Undele defazate vor interfera în funcție de diferențele de drum existente între acestea, generînd imagini de interferență (sau *figuri de difracție*) caracteristice. Se pot distinge următoarele tipuri de interferență:

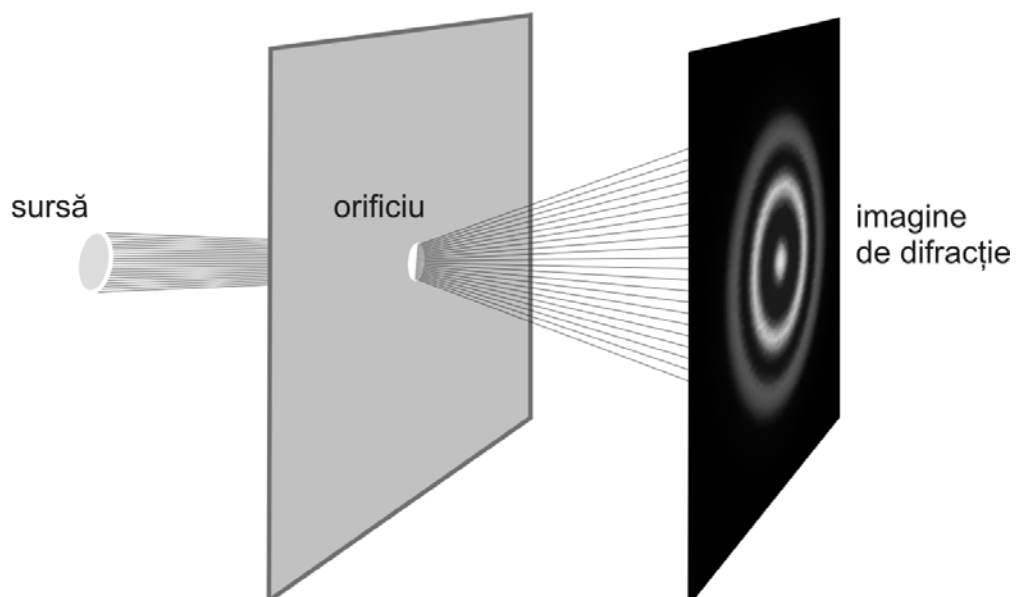
1) *Interferența constructivă.* Dacă două unde întârzie una față de alta cu *un număr întreg de lungimi de undă* interferența lor va genera o undă cu o amplitudine dublă față de amplitudinile fiecărei unde în parte.

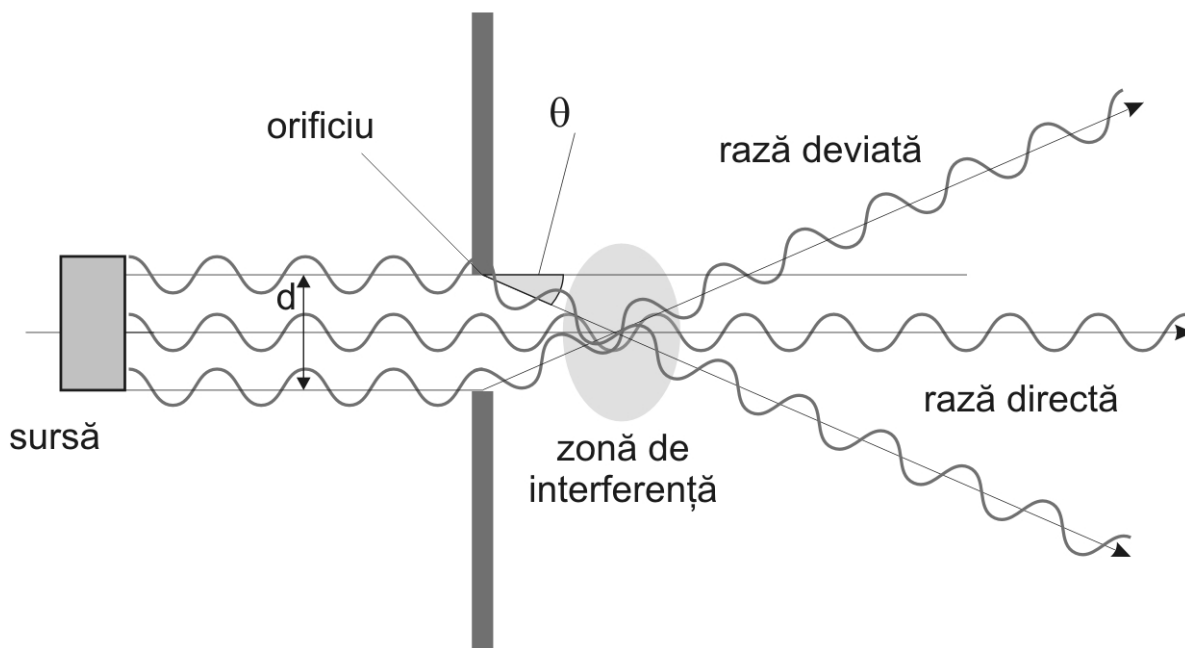


2) *Interferența distructivă.* Dacă cele două unde sînt defazate cu *un număr fracționar de lungimi de undă* amplitudinea undei rezultante va fi mai redusă decît amplitudinile fiecărei unde în parte. Dacă întârzierea este de o semilungime de undă (sau de un număr impar de semilungimi de undă) – ca în figura alăturată – cele două oscilații vor genera o undă cu amplitudine zero, adică se vor “stinge” reciproc.

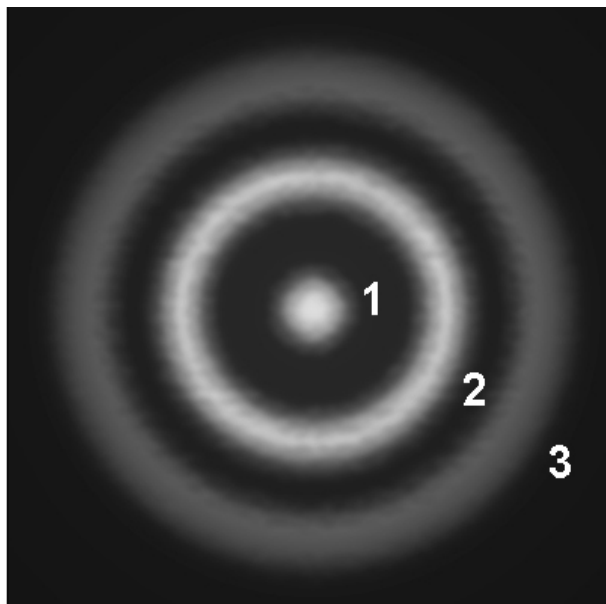
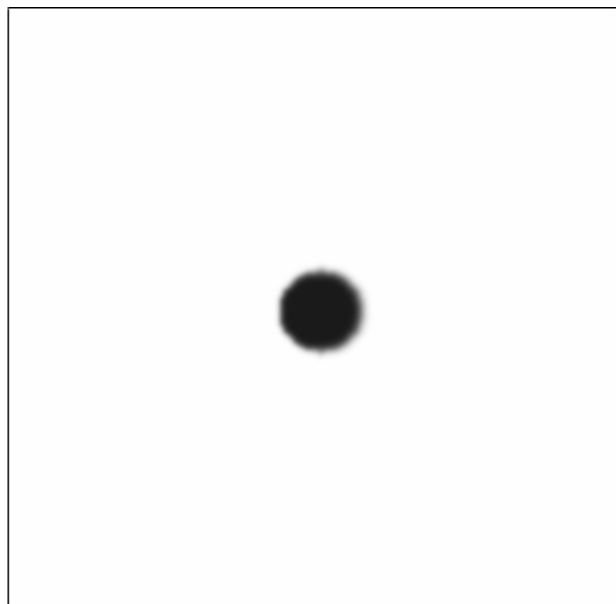


Sa considerăm o sursă de lumină (lungime de undă aproximativă, între 400 și 700 nm) și un paravan în care este practicat un orificiu cu diametrul de ordinul cîtorva zecimi de milimetru (acest ordin de dimensiuni poate fi considerat "bun" pentru a realiza difracția radiației luminoase incidente). În aceste condiții, pe un ecran aflat în spatele paravanului nu va fi proiectat doar un cerc luminos corespunzător orificiului, ci o pată cu structură complexă formată dintr-o alternanță de cercuri luminoase și întunecate, din ce în ce mai estompate către exteriorul figurii (a se vedea figura de mai jos).





Unele raze vor străbate paravanul fără a fi deviate, în timp ce altele vor fi împrăștiate la marginile orificiului, abătându-se astfel de la traiectoria lor inițială. În noul lor drum vor intersecta alte raze (inclusiv pe cele directe) și – în funcție de diferența de drum dintre ele – vor interfera cu acestea fie *constructive*, fie *distructiv*. De exemplu, diferența de drum dintre raza directă (centrală) și cea care se lovește de marginea de sus a orificiului, va fi egală cu  $d \cdot \sin \theta$ . Dacă această diferență de drum este *un număr întreg* ( $n\lambda$ ) de lungimi de undă, atunci cele două raze își vor dubla amplitudinea, adică vor genera un *maxim de difracție* (sau *interferență*).



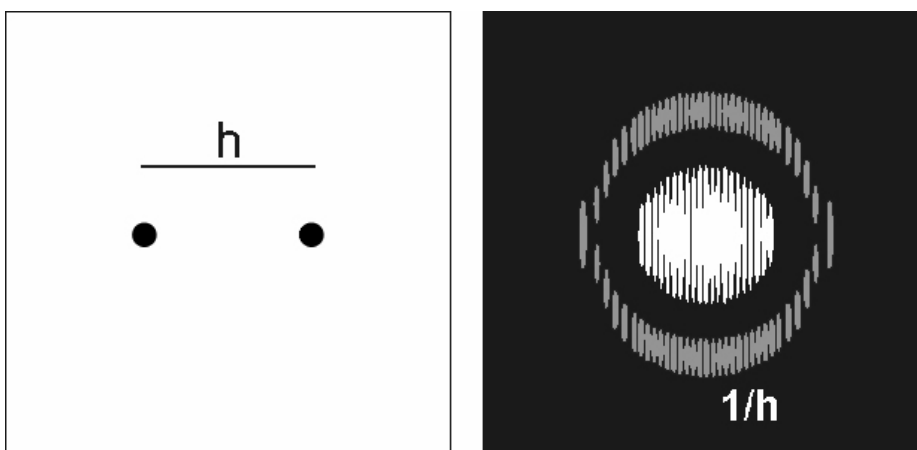
Să examinăm structura figurii de difracție în relație cu modul de interferență a razelor care străbat orificiul de difracție. Pata centrală (1) corespunde unei diferențe de drum nule, adică acelei părți din fascicul care trece nedeviată. Cercul luminos 2 corespunde unui maxim de interferență datorat compunerii unor radiații defazate cu *o lungime de undă* (în relația  $n\lambda = d \sin \theta$ ,  $n=1$ ). Cercul 3 este dat de interferența constructivă a unor raze defazate cu *două lungimi de undă* ( $n=2$ ). Cercurile sînt din ce în ce mai slabe spre margini, pentru că odată cu creșterea lui  $n$ , vor fi din ce în ce mai puține raze care să satisfacă condiția  $n\lambda = d \sin \theta$ . Cercurile întunecate corespund unor minime de interferență corespunzătoare unor diferențe de drum de cîte o semi-lungime de undă (cercul dintre 1 și 2), trei semilungimi de undă (cercul dintre 2 și 3) etc.



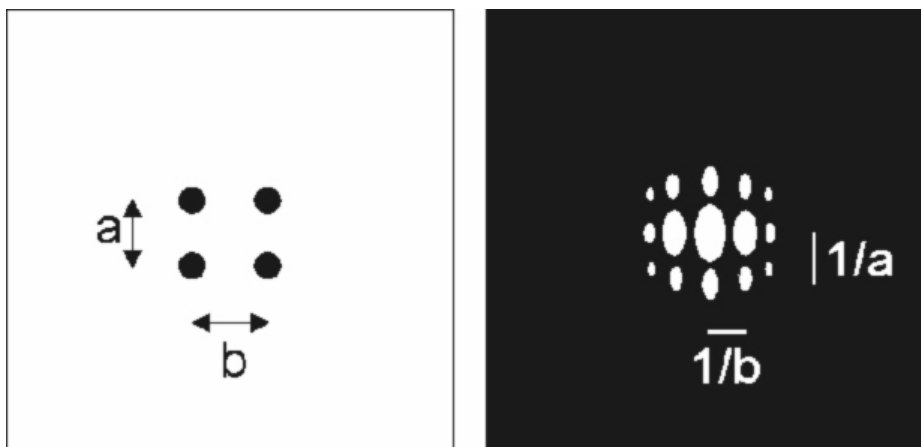
Să complicăm puțin perforația paravanului și în loc de un singur orificiu să considerăm două, situate la o distanță  $h$ .



Fiecare orificiu va forma o figură de difracție cu cercuri ca cea descrisă anterior. Razele difractate de la cele două orificii vor interfera și ele, unele cu altele, astfel încât figura de difracție va fi mai complexă. Putem încă să recunoaștem cercurile luminoase 1 și 2 (de obicei, cercul 3 devine prea slab pentru a mai fi observat), dar aceste cercuri apar divizate în câteva benzi verticale dispuse la o distanță de  $1/h$  unul față de altul. Numărul benzilor care apar în cercul 1 depinde de raportul dintre diametrul găurilor și distanța  $h$ . Cu cât distanța  $h$  crește sau diametrul orificiilor scade, cu atât vom avea mai multe benzi verticale (a se vedea figura de mai jos).



Să considerăm cazul unei mici rețele planare cu patru orificii situate în vîrfurile unui dreptunghi cu laturile  $a \times b$ . Figura de difracție începe să se dividă în pete luminoase distincte, situate la distanțe de  $1/a$  și respectiv, de  $1/b$ .



Și în final, cazul unei rețele cvasi-infinite, așa cum întâlnim în cristale:

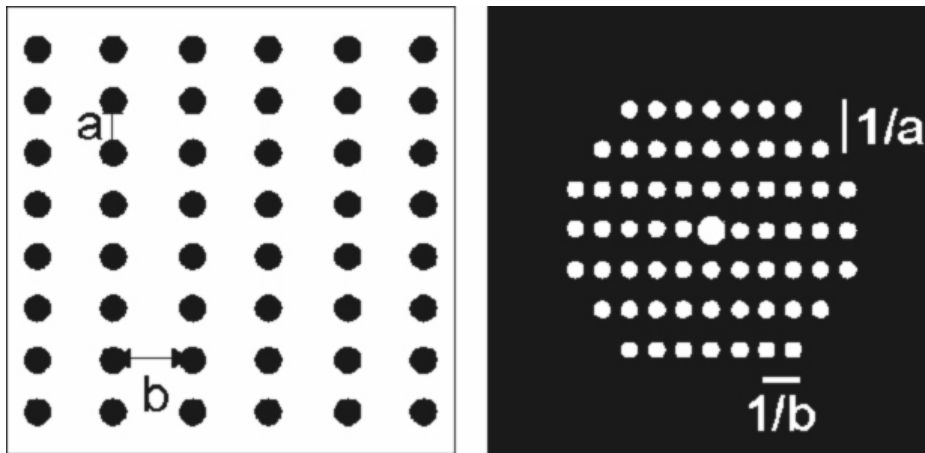
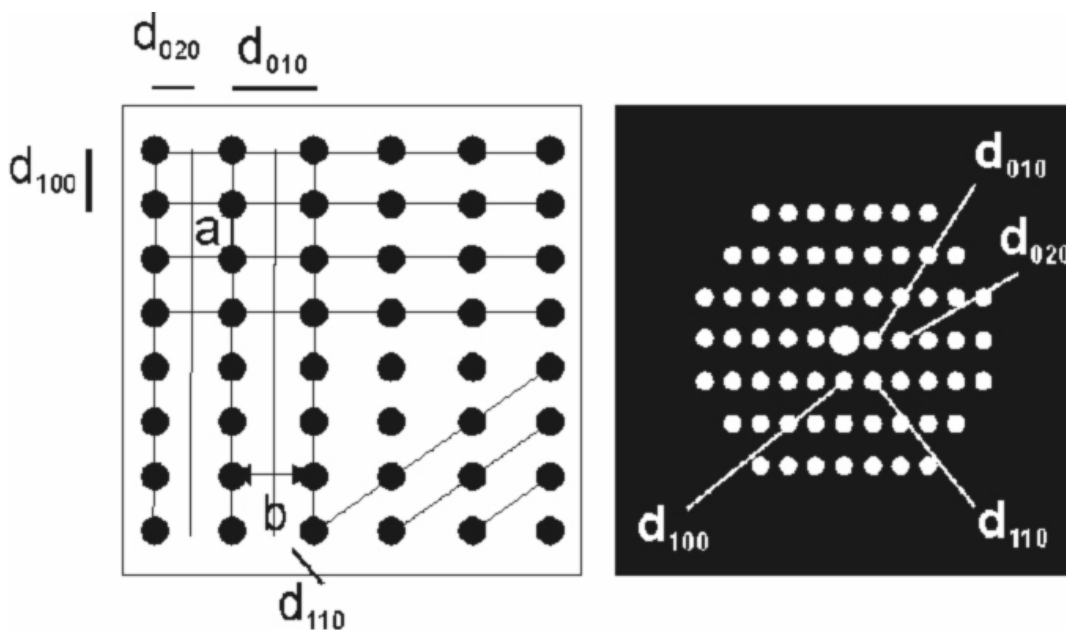
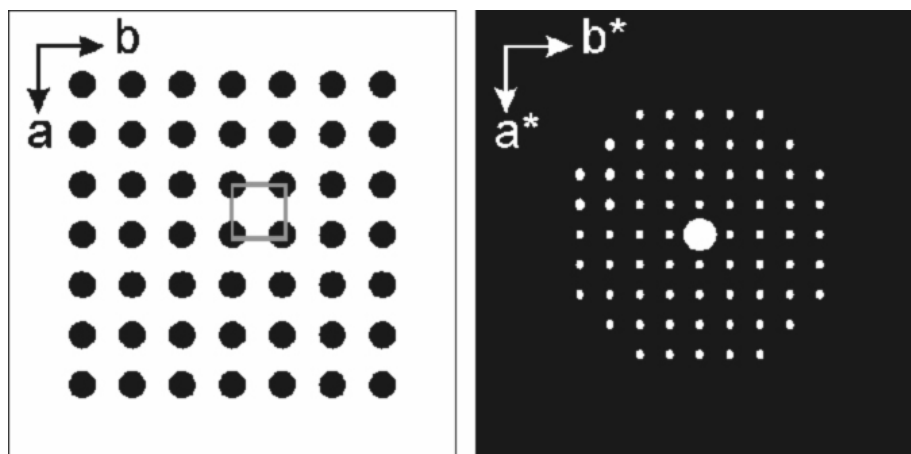


Figura de difracție reprezintă *transformanta* sau *proiecția* rețelei reale în *spațiul reciproc*. În rețeaua reciprocă fiecare punct reprezintă o *familie de plane* cu echidistanța  $d_{hkl}$ . O astfel de figură se poate obține nu numai cu lumină, dar și cu orice radiație electromagnetică, raze X, electroni accelerați, etc., cu condiția ca să existe o bună corespondență între lungimea de undă a radiației și mărimea orificiilor.

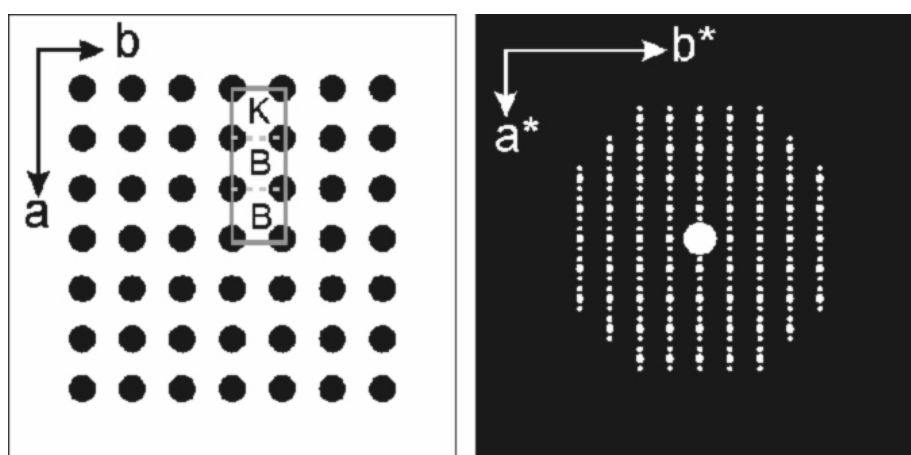


În figura de mai sus, în stînga (imaginea *rețelei directe*) putem defini mai multe familii de plane reticulare, fiecare caracterizată univoc printr-o echidistanță reticulară  $d_{hkl}$ ; exemple:  $d_{100}=a$ ,  $d_{010}=b$ ,  $d_{110}$ , etc. Toate aceste familii corespund unui punct singular (maxim de difracție) în figura de difracție din dreapta. Distanța între centru și spotul notat  $d_{100}$  este de  $1/d_{100}$ . La fel, distanța între centru și spotul  $d_{010}$  este  $1/d_{010}$ . Dacă definim o familie de plane paralele cu  $a$ , dar cu o echidistanță de jumătate din  $d_{010}$ , aceasta se va numi  $d_{020}$ . În figura de difracție, distanța de la centru la spotul  $d_{020}$  va fi de *două ori mai mare* decât cea dintre centru și spotul  $d_{010}$ .

Să considerăm un caz concret: bismutina –  $\text{Bi}_2\text{S}_3$ , are o celulă elementară rombică cu următorii parametri:  $a = 11.23$ ,  $b = 11.27$  și  $c = 3.91$  Å. Deoarece  $a$  este aproape egal cu  $b$ , o secțiune a rețelei directe perpendiculară pe axa  $c$  ar arăta ca în figura următoare (stînga), adică asemenea unei rețele pătratice cu  $a=b$ . Se va ține seama de faptul ca punctele negre nu sînt atomi, ci puncte simetric echivalente din rețea. În dreapta este redată figura de difracție corespunzătoare. Parametrii  $a^*$  și  $b^*$  (citite a-stelat și b-stelat) reprezintă translațiile elementare în rețeaua reciprocă, egale, respectiv, cu  $1/a$  și  $1/b$ .

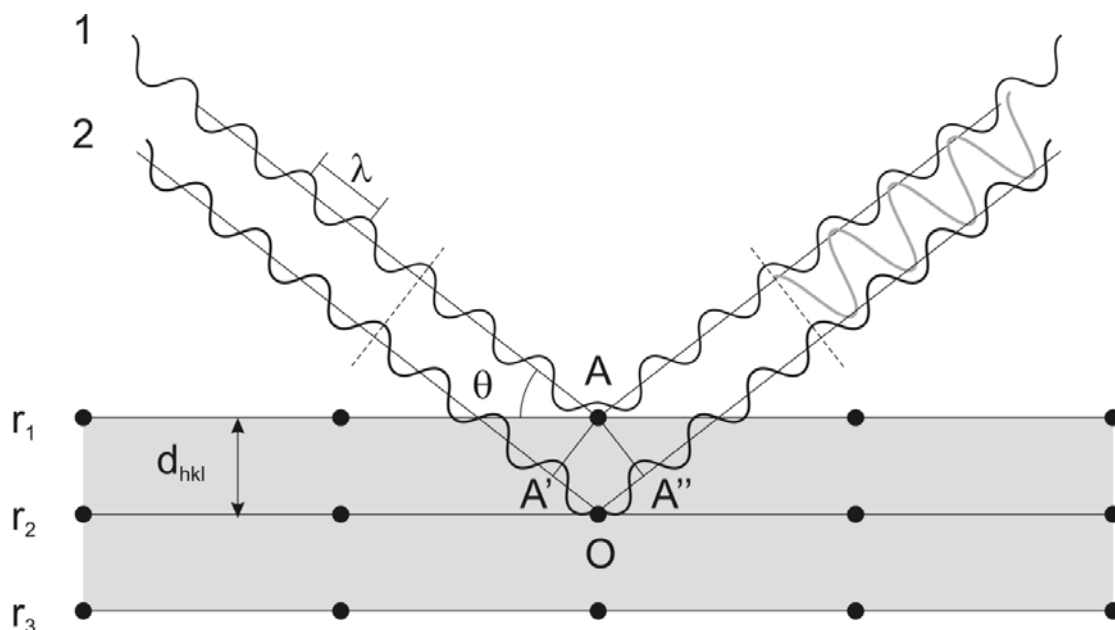


Gladitul este un compus înrudit, dar care are o celulă elementară de trei ori mai mare după direcția **a** decât bismutina:  $a=33.66$ ,  $b=11.45$ ,  $c=4.02$  Å. În celula gladitului intră două celule de tip bismutină (B) și una ușor deosebită din punct de vedere al conținutului, numită celulă de krupkait (K). Deci, formula gladitului va fi  $B+B+K$ . Rețeaua directă și figura de difracție vor arata ca mai jos:



În rețeaua directă se remarcă faptul că parametrul **a** este aproximativ de trei ori mai lung decât **b**. În rețeaua reciprocă (figura de difracție),  $a^*$  este în schimb, de trei ori mai scurt decât  $b^*$ , deoarece ambele se măsoară ca  $1/a$  și respectiv ca  $1/b$ . Spoturile mai mari au aceeași distribuție ca în bismutină, deoarece aceste celule mici (B și K) sînt responsabile de cele mai multe efecte de difracție. Fiecare spot mai mare are doi sateliți care corespund întregii celule de gladit ( $B+B+K$ ). Distanța dintre două spoturi mari, măsurată în lungul lui  $a^*$  corespunde cu  $1/a$  din bismutină sau krupkait. Distanța dintre un spot mare și unul mic, alăturat, sau dintre două spoturi mici alăturate, corespunde unei lungimi de trei ori mai mari decât **a** din bismutină, adică celui parametrul **a** de 33 Å din gladit.

Să ne reamintim că unul dintre scopurile studiului cristalelor prin difracție de raze X este acela de a obține cît mai multe echidistanțe reticulare  $d_{hkl}$ , permițîndu-ne astfel să calculăm dimensiunile motivului repetabil al rețelei, adică parametrii celulei elementare. Dacă un fascicul de radiații Roentgen este trimis asupra unui ansamblu de atomi, acesta va interacționa cu norii electronici ai atomilor suferind o împrăștiere. Direcția de propagare a undei este dată de vectorul de undă **k**, al cărui modul este egal cu  $|k| = 2\pi/\lambda$  unde  $\lambda$  este lungimea de undă. Există posibilitatea de a interpreta devierea și împrăștierea razelor X ca pe un proces de "reflexie" a acestor radiații pe plane reticulare de atomi, aceasta constituind de altfel, baza teoriei lui Bragg privind difracția razelor X în cristale. "Reflexia" se produce numai cînd undele împrăștiate de plane paralele oscilează în fază și se amplifică reciproc, adică diferența de drum indusă de împrăștierea pe plane vecine este egală cu un număr întreg de lungimi de undă.



Două “raze” 1 și 2, cu lungime de undă  $\lambda$ , pornesc de la o sursă comună și oscilează în fază (a se observa linia punctată perpendiculară pe traseul celor două raze, care arată că în orice punct al traseului lor, cele două unde se suprapun exact). Cele două raze întâlnesc un set de plane reticulare  $r_1, r_2 \dots r_n$  cu echidistanța  $d_{hkl}$ , sub un unghi de incidență  $\theta$ . Raza 1 întâlnește învelișul electronic al atomului din A și este împrăștiată (deviată) sub un unghi de emergență egal cu  $\theta$ . Deoarece planele reticulare nu sînt continue, raza 2 poate pătrunde prin planul reticular  $r_1$  și întâlnește un atom (O) în planul reticular  $r_2$ , fiind deviată de învelișul electronic al acestui atom, sub același unghi de emergență ca și raza 1. Cele două raze își continuă drumul împreună, dar raza 2 este *va fi întârziată* față de prima cu o anumită *diferență de drum*. Această diferență de drum este egală cu  $A'O + OA'' = 2d \sin \theta$ . Dacă această diferență de drum este *un număr întreg de lungimi de undă*, razele emergente 1 și 2 vor *interferența constructiv* și vor genera o oscilație cu o amplitudine care le însumează pe cele inițiale. Condiția de interferență constructivă – sau condiția Wulf-Bragg care face legătura între direcția de propagare a fasciculelor împrăștiate (unghiul  $\theta$ ) și distanțele dintre plane ( $d_{hkl}$ ) – va fi așadar:

$$n\lambda = 2d_{hkl} \sin \theta$$

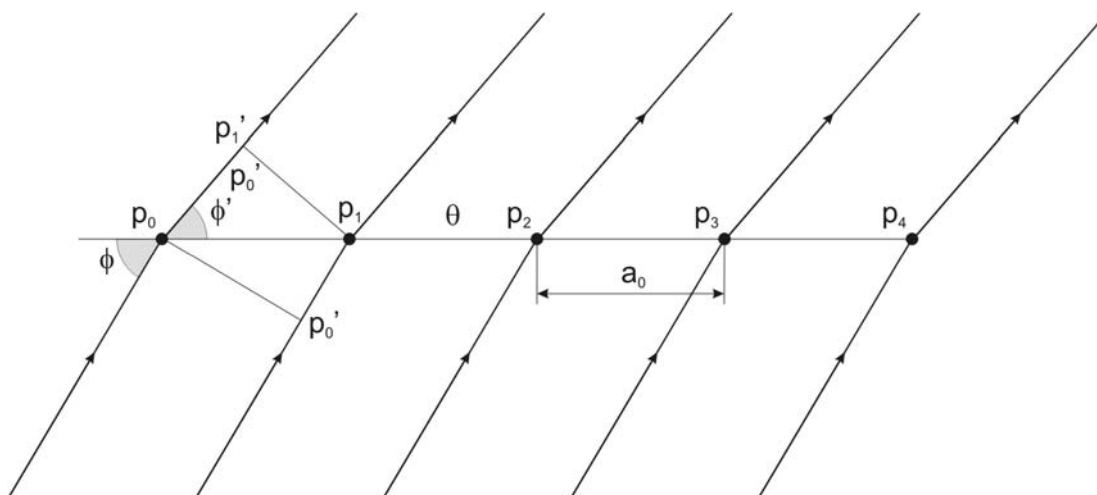
Cunoscîndu-l pe  $\lambda$  și pe  $\theta$ , îl putem determina pe  $d_{hkl}$  ca fiind egal cu:  $n\lambda / 2 \sin \theta$ . Relația Wulf-Bragg nu surprinde esența fizică a fenomenului de interferență ca interacțiune a undelor secundare, apărute în volumul obiectului sub acțiunea unei incidente.

Să considerăm un șir reticular cu nodurile  $p_0, p_1 \dots p_n$  și translația  $a_0$ . Asupra acestui șir reticular cade un fascicul de raze X paralele care vor fi dispersate în punctele  $p_0, p_1 \dots p_n$  (a se vedea figura următoare). Vom încerca să stabilim diferența de drum pentru două raze învecinate după ce acestea au suferit difracția. Trasăm  $p_0 p_0' \perp p_0' p_1$  și  $p_1 p_1' \perp p_0 p_1'$ . Notăm cu  $\phi$  unghiul radiației incidente și cu  $\phi'$  pe cel al radiației difractate. Diferența de drum este

$$p_0 p_1' - p_0' p_1 = a_0 \cos \phi' - a_0 \cos \phi = a_0 (\cos \phi' - \cos \phi)$$

Razele difractate vor interfera pozitiv dacă această diferență de drum este egală cu un multiplu întreg al lungimii de undă:

$$a_0 (\cos \phi' - \cos \phi) = h\lambda$$



În cazul rețelei tridimensionale, pentru maxime de intensitate a radiației difractate trebuie să fie îndeplinite simultan condițiile:

$$\begin{aligned} a_0(\cos\phi'_a - \cos\phi_a) &= h\lambda \\ b_0(\cos\phi'_b - \cos\phi_b) &= k\lambda \\ c_0(\cos\phi'_c - \cos\phi_c) &= l\lambda \end{aligned}$$

Acestea sînt ecuațiile lui Laue care sînt echivalente cu condiția Wulf-Bragg. În continuare:

$$\begin{aligned} (\cos\phi'_a - \cos\phi_a) &= h\lambda/a_0 \\ (\cos\phi'_b - \cos\phi_b) &= k\lambda/b_0 \\ (\cos\phi'_c - \cos\phi_c) &= l\lambda/c_0 \end{aligned}$$

unde h,k și l sînt numere întregi egale cu indicii Miller ai planelor, înmulțiți cu un număr întreg care reprezintă ordinul difracției. Expresiile se ridică la pătrat și se adună:

$$\begin{aligned} &(\cos^2\phi'_a + \cos^2\phi'_b + \cos^2\phi'_c) + (\cos^2\phi_a + \cos^2\phi_b + \cos^2\phi_c) - \\ &2(\cos\phi'_a \cos\phi_a + \cos\phi'_b \cos\phi_b + \cos\phi'_c \cos\phi_c) = \lambda^2[(h/a_0)^2 + (k/b_0)^2 + (l/c_0)^2] \quad (*) \end{aligned}$$

Pentru un sistem de referință ortogonal cum ar fi cel din sistemul rhombic (în care translațiile  $a_0$ ,  $b_0$ ,  $c_0$  sînt diferite după cele trei axe), avem

$$\begin{aligned} \cos^2\phi'_a + \cos^2\phi'_b + \cos^2\phi'_c &= 1 \\ \cos^2\phi_a + \cos^2\phi_b + \cos^2\phi_c &= 1 \\ \cos\phi'_a \cos\phi_a + \cos\phi'_b \cos\phi_b + \cos\phi'_c \cos\phi_c &= \cos 2\theta \end{aligned}$$

Ultima relație exprimă unghiul dintre două drepte care fac cu axele de coordonate unghiurile  $\phi'_a$ ,  $\phi'_b$ ,  $\phi'_c$  (raza difractată) și respectiv  $\phi_a$ ,  $\phi_b$  și  $\phi_c$  (raza incidentă), deci unghiul  $2\theta$  din condiția Wulf-Bragg. Prin înlocuirea celor trei relații în (\*) rezultă

$$\begin{aligned} 2 - \cos 2\theta &= 2 - (\cos^2\theta - \sin^2\theta) = 2 - 2(1 - 2\sin^2\theta) = 4\sin^2\theta \\ 4 \sin^2\theta &= \lambda^2[(h/a_0)^2 + (k/b_0)^2 + (l/c_0)^2] \end{aligned}$$

ceea ce echivalează cu condiția Bragg.

În practica determinativă se cunosc:  $\lambda$  - lungimea de undă,  $\theta$  - unghiul de incidență care se modifică continuu și se determină  $d$ , aceasta fiind principala modalitate de exploatare a

metodei. Identificarea unei specii cristaline se bazează pe faptul că fiecare mineral sau substanță posedă un set unic de echidistanțe reticulare  $d_{hkl}$ .

Una din problemele importante ale difracției de raze X o constituie determinarea parametrilor celulei elementare **a**, **b** și **c**. Aceasta presupune cunoașterea indicilor Miller și a ordinului de difracție pentru fiecare maxim de interferență corespunzător unei familii de plane cu echidistanța  $d$  precum și a relațiilor care fac legătura între indicii Miller multiplicați și parametrii celulei pentru fiecare singonie. Aceste relații sînt redată în cele de mai jos.

Singonia cubică

$$1/d^2 = (h^2 + k^2 + l^2) / a^2$$

Singonia tetragonală

$$1/d^2 = (h^2 + k^2) / a^2 + l^2 / c^2$$

Singonia hexagonală

$$1/d^2 = 4(h^2 + k^2 + l^2) / 3a^2 + l^2/c^2$$

Singonia rombică

$$1/d^2 = h^2/a^2 + k^2/b^2 + l^2/c^2$$

Singonia monoclinică

$$1/d^2 = h^2/a^2 \sin^2 \theta + k^2/b^2 + l^2/c^2 \sin^2 \beta - 2hl \cos \beta / c a \sin 2\beta$$

Singonia triclinică

$$1/d^2 = h^2 a^{*2} + k^2 b^{*2} + l^2 c^{*2} + 2hka^*b^* \cos \gamma^* + 2klb^*c^* \cos \alpha^* + 2lhc^*a^* \cos \beta^*$$

unde

$$a^* = bcsin\alpha/V, \quad b^* = acsin\beta/V, \quad c^* = absin\alpha/V$$

$$V = abc \sqrt{1 - \cos^2 \alpha - \cos^2 \beta - \cos^2 \gamma + 2 \cos \alpha \cos \beta \cos \gamma}$$

$$\cos \alpha^* = \cos \beta \cos \gamma - \cos \alpha / \sin \beta \sin \gamma$$

$$\cos \beta^* = \cos \gamma \cos \alpha - \cos \beta / \sin \alpha \sin \gamma$$

$$\cos \gamma^* = \cos \alpha \cos \beta - \cos \gamma / \sin \alpha \sin \beta$$

În funcție de numărul de necunoscute, i.e., de numărul parametrilor axiali diferiți ai singoniei (de exemplu, o necunoscută în singonia cubică, două necunoscute în singoniile tetragonală, trigonală și hexagonală, 4 în singonia monoclinică și 6 în singonia triclinică), se alege un număr suficient de maxime de difracție corespunzătoare unor echidistanțe  $d$ , și se rezolvă acest sistem.

### **Exemplu pentru singonia tetragonală.**

Pentru fiecare maxim de difracție observat se poate scrie o ecuație de forma

$$\begin{array}{l} \alpha_1 A + \gamma_1 C = \sin^2 \theta_1 \\ \alpha_2 A + \gamma_2 C = \sin^2 \theta_2 \\ \dots\dots\dots \\ \alpha_n A + \gamma_n C = \sin^2 \theta_n \end{array}$$

unde  $A = \lambda^2/4a^2$ ,  $C = \lambda^2/4c^2$ ,  $\alpha = h^2 + k^2$  și  $\gamma = l^2$ .

Dacă A, B și  $\sin\theta$  sînt determinate corect, pentru oricare din aceste ecuații vom obține

$$\alpha_i A + \gamma_i C - \sin^2 \theta_i = 0$$

Cu toate acestea, datorită erorilor experimentale, se întîmplă ca

$$\alpha_i A + \gamma_i C - \sin^2 \theta_i = \Delta_i$$

Pentru minimizarea sumei pătratelor erorilor  $\Delta_i$  se procedează astfel:

- se ridică fiecare ecuație la pătrat

$$\alpha_i^2 A^2 + \gamma_i^2 C^2 + \sin^4 \theta_i + 2\alpha_i \gamma_i AC - 2\alpha_i A \sin^2 \theta_i - 2\gamma_i C \sin^2 \theta_i = 0$$

- se pun condițiile:

$$\begin{array}{l} \delta F(A,C) / \delta A = 0 \\ \delta F(A,C) / \delta C = 0 \end{array}$$

- se însumează cele două seturi de ecuații și se rezolvă sistemul:

$$\begin{array}{l} A \sum \alpha_i^2 + C \sum \alpha_i \gamma_i = \sum \alpha_i \sin^2 \theta_i \\ A \sum \alpha_i \gamma_i + C \sum \gamma_i^2 = \sum \gamma_i \sin^2 \theta_i \end{array}$$

și se calculează A și C.

# CRISTALOGRAFIA OPTICĂ

Simetria formelor și structurii cristalelor se reflectă în simetria proprietăților. Un loc aparte, dat de importanța lor în practica determinativă a mineralelor cristalizate, îl ocupă proprietățile optice. Reacția mineralelor față de lumina care le străbate este foarte variată și caracteristică depinzând atât de natura luminii cât și de structura materiei cristaline. Orice mineral cristalizat posedă un set unic determinat de constante optice care poate fi mai ușor determinat în comparație cu alte constante fizice. Metodele optice de studiere a mineralelor cristalizate și rocilor – metode bazate pe observarea în lumină polarizată – s-au dezvoltat în asemenea măsură în ultimul secol, încât au fost introduse și în numeroase alte domenii ale științei și tehnologiei. Totuși, contribuția lor nu a fost nicăieri de o asemenea importanță ca în mineralogie și petrologie.

La puțini ani după descoperirea polarizării luminii, Brewster a aplicat acest fenomen la identificarea mineralelor. Chiar și astăzi când asistăm la dezvoltarea puternică a unor tehnici de investigație deosebit de sofisticate și eficiente, microscopia în lumină polarizată rămâne cel mai răspândit și versatil mijloc de analiză mineralogică. Microscopul polarizant poate fi utilizat pentru o recunoaștere rapidă a mineralelor și rocilor sau ca instrument de precizie în determinarea indicilor de refracție și a simetriei optice. Studiul optic permite încadrarea precisă a unui mineral într-un sistem de cristalizare și, în anumite cazuri, o estimare a compoziției chimice. Utilitatea sa se regăsește și în posibilitatea de a evidenția gradul de ordine sau dezordine a structurii cristaline, determinarea unghiului axelor optice pentru feldspații alcalini fiind un bun exemplu în acest sens.

Proprietățile optice fundamentale ale cristalelor derivă din *refrigența* acestora, adică din modul în care interacționează cu radiațiile electromagnetice vizibile. Mărimea care caracterizează capacitatea unui mediu cristalin de a se opune trecerii luminii o constituie *indicele de refracție*  $n=c/v$ , unde  $c$  este viteza luminii în vid, iar  $v$  viteza luminii în mediul cristalin considerat. De exemplu, un indice de refracție de 1,54 arată că lumina se propagă în vid cu o viteză de 1,54 ori mai mare decât în mediul respectiv. Majoritatea cristalelor *au indici de refracție diferiți după direcții diferite*, refrigența constituind un bun exemplu de proprietate vectorială față de care cristalele se manifestă anizotrop și simetric. Această variație nu este perceptibilă vizual din cauza faptului că ochiul receptează raze luminoase al căror câmp electric vibrează concomitent după toate direcțiile din cristal. Dacă radiația luminoasă ar vibra într-un singur plan – lumină polarizată – atunci, direcțiile particulare de refrigență din cristal, precum și diferențele dintre acestea ar putea fi percepute nemijlocit.

În capitolele precedente am accentuat faptul că în abordarea oricărei proprietăți simetrice o importanță deosebită o are stabilirea unui sistem de referință care să reflecte condițiile fizice sau geometrice exterioare cristalului și la care să se poată raporta valorile discrete ale proprietăților. În cazul proprietăților optice, sistemul de referință poate fi materializat de planul sau de direcția de polarizare a luminii.

În cele ce urmează se vor examina modalitățile de obținere a luminii polarizate considerând însă cunoscute aspectele teoretice fundamentale privind natura radiațiilor electromagnetice.

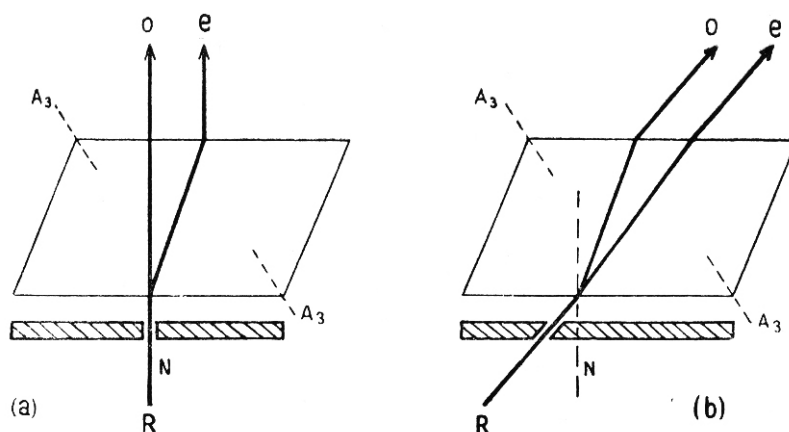


## Polarizarea luminii

Lumina naturală este *nepolarizată*, aceasta însemnând că vectorul de câmp electric vibrează aproape simultan în toate direcțiile perpendiculare pe direcția de propagare.

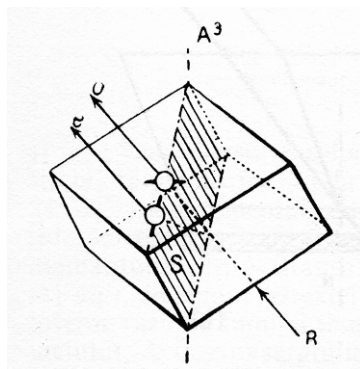
**Polarizarea luminii cu cristale birefringente.** Prin refracția luminii în corpurile amorphe sau în cristale optic izotrope se produce o singură rază refractată. La trecerea luminii prin medii optic anizotrope (cu indici de refracție diferiți după direcții diferite) o rază incidentă este dublu refractată, fenomenul purtând numele de *birefrință*. Birefrința a fost pusă în evidență pentru prima oară de Erasmus Bartholinus (1669) la cristale de calcit transparente (spat de Islanda).

Dacă se observă prin transparență imaginea unui fascicul diafragmat de lumină care cade asupra unui cristal de spat de Islanda, se remarcă emergența a două raze refractate în loc de una singură. La fel, dacă se observă prin transparență o foaie de hârtie pe care este desenat un punct, se vor vedea două imagini ale punctului, corespunzând la două raze refractate.



Traseul razelor refractate într-un cristal de calcit.

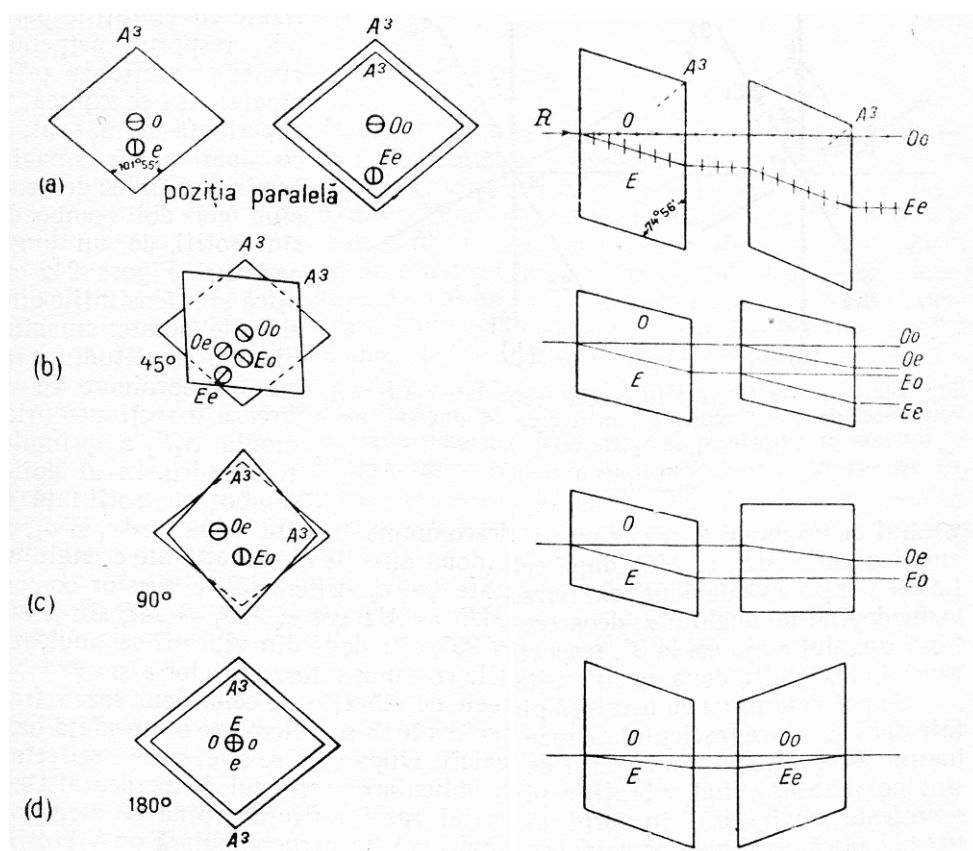
Dacă se rotește romboedrul, se poate observa că una din imagini rămîne nemișcată în timp ce a doua se rotește în jurul primeia. Imaginea fixă corespunde unei raze care străbate cristalul în direcție normală și nu suferă nici o deviere. Raza se comportă ca într-un mediu izotrop și se numește *rază ordinară*. Imaginea mobilă este deviată chiar în cazul unei incidențe normale, nerespectînd legea refracției a lui Descartes; ea poartă numele de *rază extraordinară*. Planul celor două raze - numit *secțiune principală a razei* - își păstrează fixă poziția în raport cu cristalul, el coincidînd cu planul determinat de axa 3 și de normala la fața de romboedru.



Poziția secțiunii principale a razei incidente într-un romboedru de calcit.

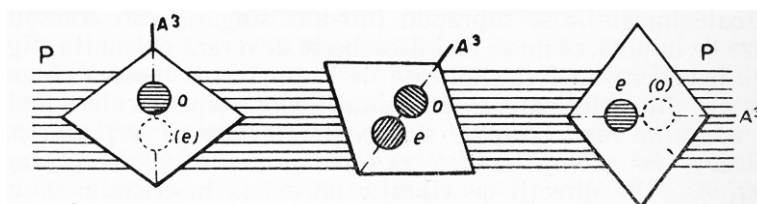
Cele două raze refractate sînt polarizate. Într-adevăr, dacă se suprapun doi romboedri paraleli, se observă tot două imagini, însă de două ori mai îndepărtate între ele, raza ordinară rămînînd însă pe loc. Aceasta semnifică faptul că după ieșirea din primul romboedru, cele două raze se propagă prin al doilea după aceleași direcții fără a mai fi descompuse, fiind diferite prin urmare, de raza incidentă. Dacă unul din romboedri este rotit în jurul razei incidente cu un unghi oarecare, se observă patru imagini, fiecare din cele două raze refractate de primul cristal fiind descompusă de cel de-al doilea în cîte o rază ordinară și una extraordinară. Continuînd rotirea pînă la un unghi de  $90^\circ$  cele patru imagini slăbesc pînă la dispariția lor completă. La o rotire de  $180^\circ$  toate imaginile se suprapun într-una singură care nu se mai deosebește de una obișnuită.

Tot acest comportament a fost explicat de Fresnel prin aceea că cele două raze refractate sînt polarizate avînd vibrațiile perpendiculare una pe alta și anume, vibrațiile razei ordinare sînt perpendiculare pe secțiunea principală, iar cele ale razei extraordinare sînt mereu cuprinse în această secțiune.



Diverse configurații ale razelor refractate în funcție de poziția relativă a celor doi romboedri pe care îi străbat.

Planele de vibrație pot fi puse relativ ușor în evidență cu ajutorul unui romboedru de spat de calcit, prin observarea unui fascicul de raze reflectate de o suprafață plană, acestea avînd o unică direcție de vibrație, conținută într-un plan perpendicular pe planul de incidență (experiența lui Malus).

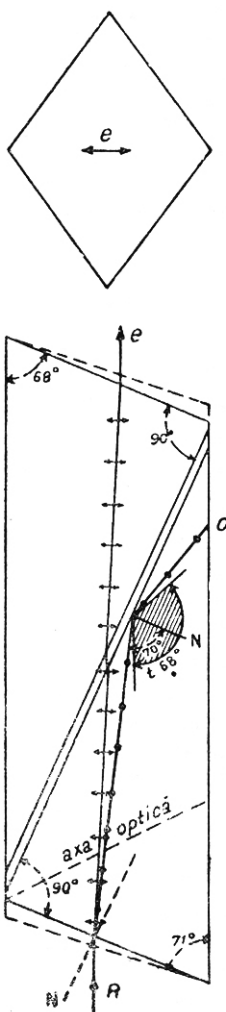


Experiența lui Malus. Razele dublu refractate de un romboedru de calcit sînt polarizate

Dacă se rotește romboedrul în jurul direcției de emergență a razelor reflectate pînă cînd secțiunea principală a razei ajunge perpendiculară pe vibrațiile razelor se va vedea numai imaginea razei ordinare, dovadă că vibrațiile ei sînt perpendiculare pe secțiunea principală.

Dacă diagonala scurtă este paralelă cu vibrațiile razelor reflectate, atunci va apărea numai imaginea razei extraordinare al cărei plan de vibrație este conținut în secțiunea principală. În poziții intermediare apar ambele imagini.

Dubla refracție a spatului de Islanda a fost utilizată pentru obținerea primelor filtre de polarizare de către Nicol (1828), de unde și denumirea acestor piese optice: *prisme Nicol* sau simplu, *nicoli*.



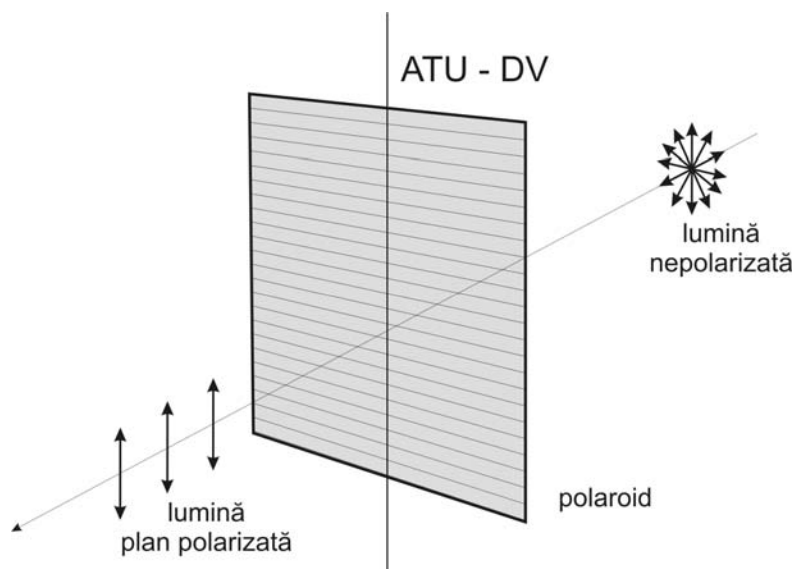
Propagarea razelor refractate printr-o prismă Nicol

Un romboedru alungit de spat de Islanda este șlefuit astfel încît să se obțină două fețe paralele care să facă un unghi de  $68^\circ$  cu fețele lungi. Romboedrul se taie în două după un plan perpendicular pe secțiunea principală și se reasamblează prin lipire cu balsam de Canada (rășină naturală cu indicele de refracție de 1,54). Fețele alungite se opacizează, rămînînd libere numai fețele de romboedru de pe traseul radiațiilor.

O rază de lumină care intră printr-o față șlefuită, sub incidență oblică va fi descompusă în două raze refractate: o rază ordinară careia îi corespunde un indice de refracție de 1,65, și o rază extraordinară cu indice de refracție corespunzător de 1,48. Astfel construită, prisma de polarizare nu permite razei ordinare să treacă de pătura de balsam de Canada, deoarece va avea un unghi de incidență de  $70^\circ$ , mai mare decît unghiul de reflexie totală ( $68^\circ 13'$ ); raza va fi reflectată spre exterior și va fi absorbită de montura prisme. Raza extraordinară va cădea pe pătura de balsam sub un unghi de incidență mai mic decît valoarea limită, ieșind din prismă și generînd o radiație polarizată cu vibrația în planul secțiunii principale.

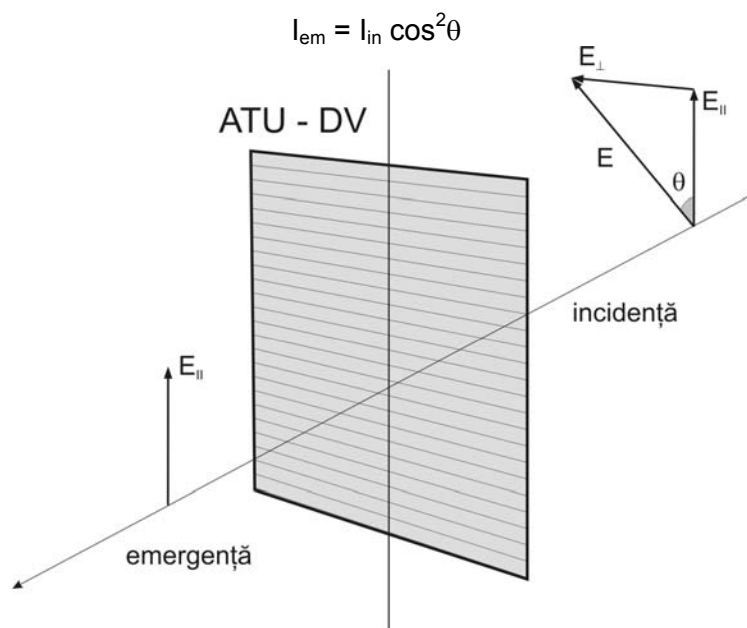
Polarizarea luminii cu filtre de polarizare (polaroizi). În locul prismelor Nicol sau a diferitelor lor variante constructive (prisme Glan-Thompson sau Ahrens), astăzi se folosesc *filtre de polarizare*. Polaroidii care sînt constituiți din rețele foarte fine de fire superconductoare încorporate în sticlă sau plastic, la nivelul cărora sînt absorbite toate componentele de vibrație ale cîmpului electric paralele cu direcția firelor. Componentele perpendiculare pe firele absorbante trec de filtru, iar direcția lor se numește *axă de transmisie ușoară* sau *direcție de vibrație*.

Firele rețelei se depun prin vaporizarea în vid a unor metale cu proprietăți conductoare foarte bune. Densitatea lor este de cca. 2000 de linii/mm, astfel încît echidistanța lor să devină comparabilă cu lungimea de undă a radiației luminoase.



*Poziția axei de transmisie ușoară (ATU) sau a direcției de vibrație (DV) într-un polaroid*

În cazul unui polarizor perfect, pentru care presupunem că absoarbe complet componentele cu direcții perpendiculare pe cea a axei transmisiei ușoare, și care nu generează pierderi prin reflexie, intensitatea luminii transmise va fi (legea lui Malus):

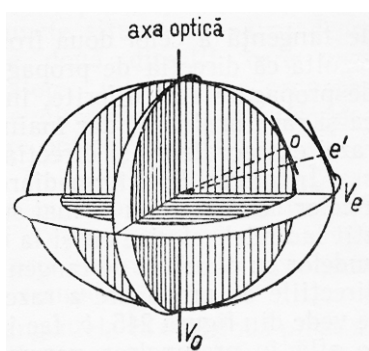


*Absorbția componentelor de vibrație oblice în raport cu direcția de vibrație a polaroidului*

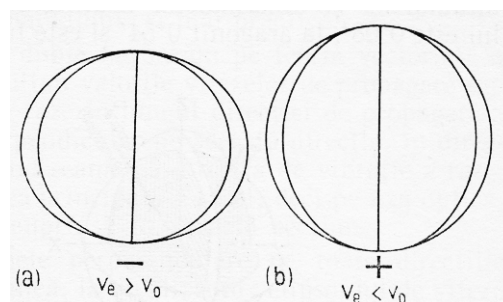
## **SIMETRIA PROPRIETĂȚILOR OPTICE ÎN CRISTALE**

Proprietățile optice ale cristalelor au un caracter vectorial, în raport cu ele putînd fi descris comportamentul optic *izotrop* sau *anizotrop* al acestor corpuri. Există mai multe modalități intuitive de a reprezenta variația acestor proprietăți pentru un cristal dat. Indiferent de tipul lor, acestea permit cu ușurință vizualizarea unor direcții optice particulare (e.g., direcțiile de propagare cu viteză maximă sau minimă a razelor luminoase, axele optice - adică direcțiile după care viteza razei ordinare coincide cu cea a razei extraordinare etc.) sau clasificarea cristalelor după caracterul birefringenței și după semnul lor optic.

**Suprafața de undă.** Dacă ne imaginăm o sursă de lumină plasată în centrul unui cristal anizotrop, razele emise de aici vor fi dublu refractate și în consecință, după fiecare direcție din cristal se vor propaga două raze: o rază ordinară care se comportă ca într-un mediu izotrop și a cărei *suprafață de undă este o sferă*, și o rază extraordinară a cărei viteză va fi diferită în funcție de direcție. Suprafața de undă a acesteia din urmă va avea o formă *elipsoidală*. Morfologia de detaliu a suprafeței de undă corespunzătoare razei extraordinare permite diferențierea cristalelor după caracterul birefringentei (caracterul optic). Dacă suprafața este un elipsoid de rotație, cristalul va fi *uniax*, adică va prezenta o direcție unică după care vitezele celor două raze refractate vor fi egale — *axa optică*. În această direcție dubla refracție nu va mai avea loc, ambele raze confundându-se într-una singură. Dacă viteza razei ordinare  $V_o$  este mai mare decât cea a razei extraordinare  $V_e$  cristalul va fi *uniax pozitiv*, iar în caz contrar ( $V_e > V_o$ ), *negativ*. O astfel de configurație a suprafețelor de undă este caracteristică sistemelor de cristalizare cu o axă particulară de simetrie: hexagonal, trigonal și tetragonal.

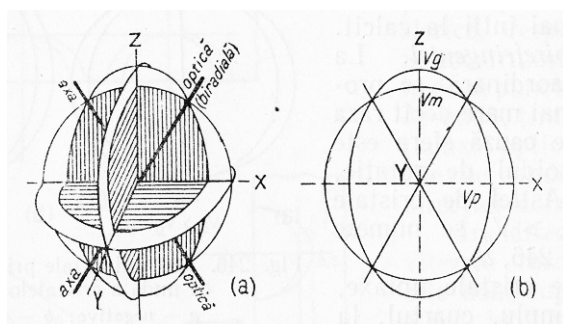


Suprafețe de undă ale razelor refractate într-un cristal uniax



Secțiuni axiale prin suprafețele de undă ale unui cristal uniax: (a) negativ; (b) pozitiv

Dacă suprafața de undă este un elipsoid cu trei axe, cristalul se va numi *biax*, sugerînd existența a două direcții de monorefrință, adică a *două axe optice*. Caracterul optic biax corespunde cristalelor cu simetrie scăzută, adică celor din sistemele rombic, monoclinic și triclinic.



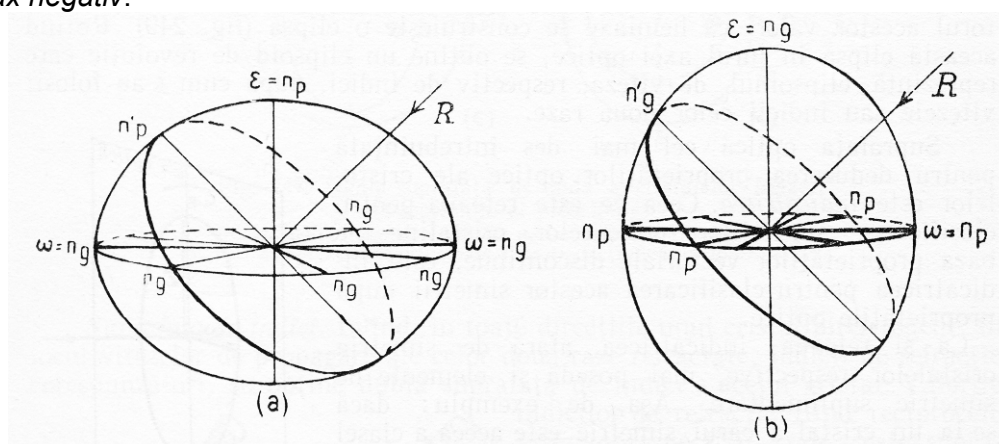
Suprafețe de undă ale unui cristal biax

**Indicatricea.** Suprafețele de undă sînt prea complicate pentru a permite înțelegerea ușoară a diverselor fenomene optice ce se observă la cristale; din acest motiv, s-a căutat înlocuirea suprafețelor duble cu suprafețe unice, mai simple și mult mai intuitive. În loc să se considere vitezele celor două raze în lungul direcției de propagare, vor fi însemnate vitezele sau valorile indicilor de refracție într-un plan perpendicular pe această direcție.

Se va ține seama de faptul că direcția de vibrație razei ordinare ( $\omega$ ) este perpendiculară pe secțiunea principală a razei, deci pe axa optică, iar cea a razei extraordinare ( $\epsilon$ ) se găsește în această secțiune.

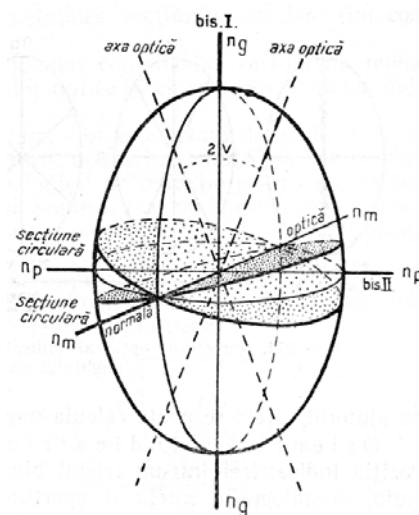
Repetînd operația pentru toate direcțiile posibile dintr-un cristal, se ajunge la o suprafață unică de formă sferică sau elipsoidală numită *elipsoidul de viteză a lui Fresnel* - cînd se consideră vitezele, sau *elipsoidul de indici* sau *indicatricea lui Fletcher* - cînd se consideră indicii de refracție ai celor două raze refractate. Ca și în cazul suprafețelor de undă, morfologia indicatricei este diferită în funcție de simetria rețelei. Cristalele sistemului cubic - izotrope din punct de vedere optic - vor avea o indicatrice sferică. La celelalte sisteme cristalografice, ale căror cristale sînt anizotrope, indicatricea este un elipsoid a cărui formă variază după cum cristalele posedă o axă principală de simetrie sau nu.

Pentru sistemele hexagonal, trigonal și tetragonal care conțin cristale uniaxe, indicatricea este un elipsoid de rotație, axa de revoluție coincidînd cu axa optică. Orice secțiune perpendiculară pe axa optică va avea un contur circular și va genera un comportament izotrop, în timp ce secțiunile paralele cu axa optică (*secțiuni principale*) vor prezenta o birefrință maximă. În cadrul indicatricei uniaxe pot fi distinse două direcții caracteristice, numite *direcții principale de vibrație*, care corespund valorii maxime ( $n_g$ ) și respectiv minime ( $n_p$ ) a indicilor de refracție. Dacă raza secțiunii circulare coincide cu indicele de refracție minim, cristalul este *uniax pozitiv*; dacă raza secțiunii este semiaxa mare a elipsoidului, deci indicele de refracție maxim, cristalul este *uniax negativ*.



Indicatricea uniaxă: (a) pozitivă; (b) negativă.

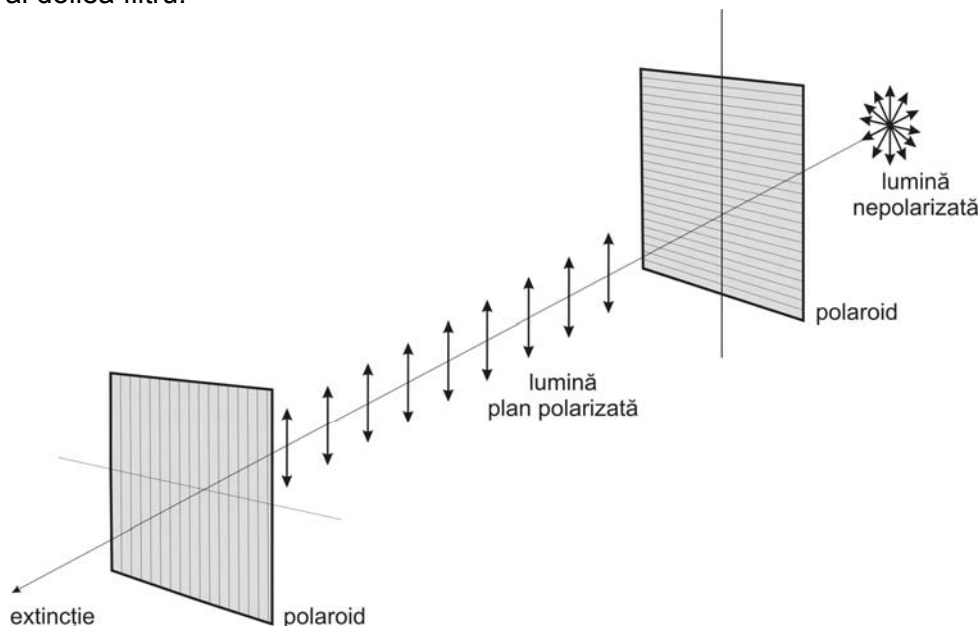
În sistemele categoriei inferioare: rombic, monoclinic și triclinic, indicatricea are forma unui elipsoid turtit, cu trei axe neegale, ortogonale cărora le corespund trei direcții principale de vibrație:  $n_g$ ,  $n_m$ ,  $n_p$ . Într-un astfel de elipsoid - numit *indicatrice biaxă* - pot fi delimitate două secțiuni circulare, fiecare cu cîte o axă optică perpendiculară pe ea. Unghiul axelor optice se notează  $2V$  și constituie un parametru optic deosebit de important pentru determinările în lumină polarizată. Semnul optic se stabilește astfel: dacă bisectoarea ascuțită a unghiului  $2V$  corespunde cu  $n_g$ , cristalul este *biax pozitiv*; dacă unghiul ascuțit al axelor optice este bisectat de  $n_p$ , cristalul este *biax negativ*.



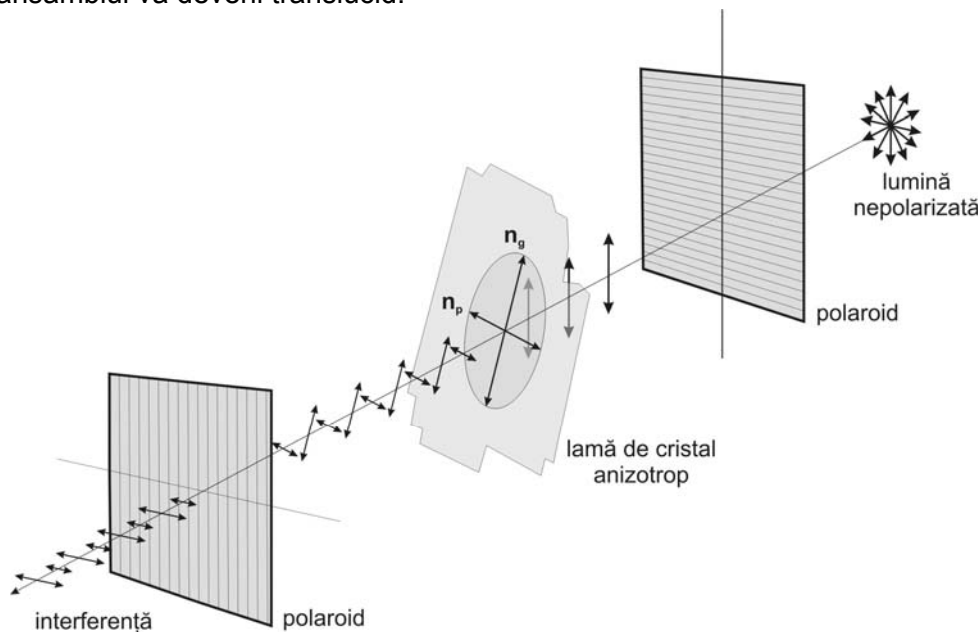
Elementele indicatricei biaxe

## STUDIUL CRISTALELOR ÎN LUMINĂ POLARIZATĂ

**Principiul metodei.** Două filtre de polarizare avînd axe de transmisie ușoară perpendiculare, vor împiedica trecerea luminii. Radiațiile plan polarizate ca urmare a trecerii prin primul filtru, vor fi oprite la al doilea filtru.

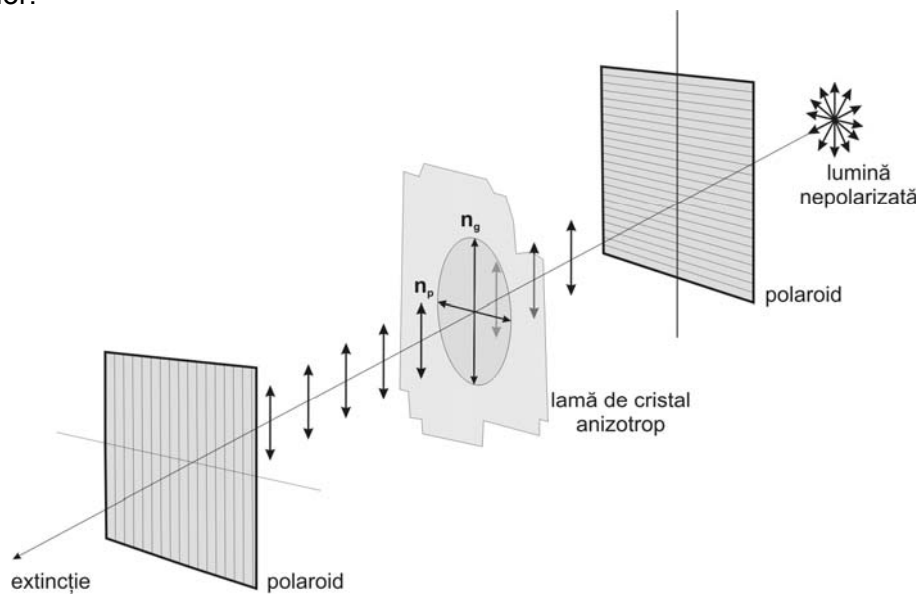


Cu toate acestea, dacă între cele două filtre este interpus un mediu optic anizotrop, avînd direcțiile principale de refringență dispuse oblic față de axe de transmisie ușoară ale celor doi polarizi, ansamblul va deveni translucid.



Radiațiile plan polarizate produse de primul filtru (numit și *polarizor*) se vor propaga prin lama de cristal anizotrop cu două viteze diferite, corespunzătoare celor două direcții principale de refringență  $n_g$  și  $n_p$ . Se vor forma astfel două raze emergente *defazate și polarizate în plane paralele cu  $n_g$  și respectiv  $n_p$* . Aceste raze vor vibra așadar, în plane oblice față de direcția axei de transmisie ușoară a celui de-al doilea filtru de polarizare (numit și *analizor*), astfel încît, componentele de vibrație paralele cu ATU vor putea trece de filtru. Radiația captată în spatele analizorului va fi rezultatul interferenței celor două emergente din cristal, și va avea anumită lungime de undă în funcție de  $(n_g - n_p)$  și de grosimea lamei anizotrope. Sinteza culorilor de interferență pentru diferențe  $(n_g - n_p)$  de la 0 la 0.4 și pentru grosimi ale lamei anizotrope de la 0 la 0.06 mm este redată în așa-numitul tabel de interferențe Michel-Levy.

O secțiune anizotropă de cristal plasată între doi polaroizi, va prezenta la o rotire completă, patru poziții de iluminare și patru poziții de extincție. Acestea din urmă se produc când direcțiile principale de refringență ale secțiunii devin paralele cu (perpendiculare pe) direcțiile de vibrație ale polaroizilor:





# CREȘTEREA CRISTALELOR ÎN NATURĂ

Cristalele se dezvoltă în natură într-un domeniu foarte divers de condiții termodinamice și ambientale. Ele se pot forma în magme cu compoziții diverse și la adâncimi diferite, în soluții hidrotermale sau vapori, în zone de metamorfism regional sau termic-metasomatic de contact, în procese diagenetice etc.

Natura proceselor cristalogenetice a putut fi în bună măsură cunoscută odată cu dezvoltarea studiilor termodinamice și ale tranzițiilor de fază, dar acestea n-au putut explica în totalitate caracterele cristalelor naturale, dominate adesea de imperfecțiuni, neomogenități și abateri de la simetria punctuală normală. Este motivul pentru care în ultima vreme s-a simțit din ce în ce mai mult nevoia de a aborda creșterea cristalelor prin cinetica acestui proces. Studiul cineticii de cristalizare implică observații și măsurători ale ratei de creștere - lucru relativ ușor de realizat în laborator, dar imposibil în cazul proceselor naturale - ceea ce a dus la dezvoltarea unor căi indirecte de abordare:

a) *cristalizarea dinamică experimentală* - adică, simularea creșterii naturale prin care se urmărește reproducerea texturilor unor aglomerări de cristale în condiții de creștere controlate;

b) *interpretarea evoluției și caracterelor paragenetice ale asociațiilor de cristale naturale*, în cadrul căreia, un loc important îl ocupă examinarea morfologiei indivizilor cristalini - direct influențată de procesele de creștere sau dizolvare în diferite condiții și medii.

Formele diferite ale cristalelor, de la dendrite la poliedre, variațiile de habitus, microtopografia suprafețelor, structura internă materializată de apariția unor benzi, sectoare sau dislocații, toate acestea sînt rezultatul diferitelor procese care au influențat creșterea.

Începutul procesului de cristalizare sau, cum se mai numește, *nucleerea* unei substanțe, este încă puțin cunoscut datorită dimensiunilor extrem de mici ale primelor cristale formate. Se presupune că în această etapă există o puternică tendință de asociere a atomilor și ionilor substanței în cadrul unor molecule polare care se organizează la rîndul lor în catene sau grupări ordonate, simetrice. Astfel, în primele faze ale cristalizării, soluția prezintă o structură orientată, cu formațiuni de particule organizate structural care precipită brusc sub forma unui edificiu cristalin cu structură reticulară numit *germene cristalin*. În continuare, se depun noi molecule polare care se orientează în câmpul electric din jurul acestor germeni. Spațiul nu permite discutarea tuturor problemelor legate de nucleere; vom reține numai faptul că viteza de formare a nucleelor este direct legată de: (a) potențialul chimic stabilit între faza fluidă și cea solidă, (b) densitatea inhibitorilor de creștere și (c) vîscozitatea sistemului.

Creșterea cristalelor poate fi clasificată în:

1. - cristalizare solid-solid
2. - cristalizare fluid-solid:
  - din topitură
  - din soluție
  - din vapori

1. În **cristalizarea solid-solid**, numită și *recristalizare*, fazele au aceeași structură și același chimism. Cel mai adesea, recristalizarea se produce ca urmare a creșterii temperaturii care

anulează tensiunile superficiale ale granulelor, ducînd la o mărire a dimensiunilor acestora și uneori, la apariția unor structuri de dislocație specifice. Granulele au tendința de a deveni echidimensionale și de a forma triple joncțiuni cu unghiuri de echilibru de cca.  $120^\circ$  (*recristalizarea primară*). Dacă temperatura continuă să crească, impuritățile din interiorul granulelor pot deveni mobile, în jurul lor formîndu-se granule cu dimensiuni mai mari în raport cu celelalte (*recristalizarea secundară*).

2. În al doilea caz, al cristalizării **fluid-solid** creșterea este determinată de nucleere și de tranziții de fază fluid-solid, cinetica procesului de cristalizare fiind puternic influențată de starea fazei fluide. Dacă spre exemplu, aceasta este foarte condensată (topitură) procesele de ordonare nu pot fi realizate prin *transport de masă* și *condensare*, deoarece faza fluidă și cea solidă au densități și distanțe interatomice foarte asemănătoare; în acest caz, un rol esențial îl joacă *transferul de căldură*. Pe de altă parte, dacă faza fluidă este foarte diluată, sînt necesare atît transportul cît și condensarea substanței. De fapt, transferul de masă și cel de căldură se combină în cazul oricărui proces de creștere cunoscut, însă pentru simplificare, putem presupune că transferul de căldură joacă un rol esențial în cristalizarea din topituri, în timp ce transferul de masă este important la cristalizarea din soluții sau vapori. Cristalizarea din topitură nu se întîlnește ca atare în procesele geologice. Creșterea mineralelor petrogene din magmă - considerată în mod obișnuit ca o topitură de silicați - este un proces mult mai complex decît o cristalizare simplă din topitură; magmele sînt sisteme multicomponent care implică și participarea transferului de masă și a condensării. De altfel, pentru a fi explicată sub toate aspectele, cristalizarea din magme este privită ca o cristalizare din *soluții de temperatură înaltă*.

În cristalizarea naturală din vapori, cum ar fi formarea mineralelor la temperaturi supracritice în pegmatite, fumarole, vacuole din lave etc., există o interacțiune puternică între solid și fluid - mult mai puternică decît în cazul topiturilor, dar mai slabă decît la soluțiile hidrotermale sau apoase de temperatură joasă. Din acest motiv, cristalizarea naturală din vapori, poate fi privită ca fiind intermediară între cristalizarea simplă din vapori și cea din soluții. Există numeroase alte diferențe între aceste procese și între factorii lor determinanți. Ele vor reieși în cele ce urmează, din analiza factorilor care influențează creșterea cristalelor.

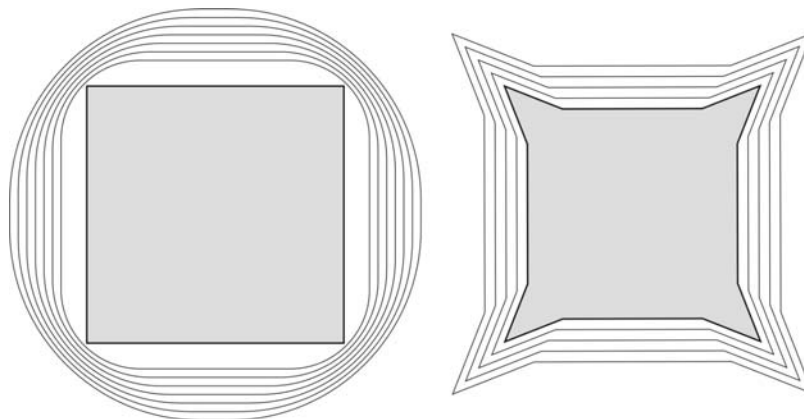
**Forța motrice a creșterii cristalelor.** Procesele de nucleere și de creștere survin numai cînd faza solidă și cea fluidă sînt în dezechilibru. Dacă numărul particulelor cristalizate depuse pe suprafața cristalului depășește pe cel al particulelor dislocate din cristal, are loc *creșterea cristalului*, iar în caz contrar, *dizolvarea* acestuia. Ceea ce derivă din dezechilibrul creștere-dizolvare este tocmai forța motrice a cristalizării.

Cînd un sistem este plasat în afara liniei de echilibru, fie prin pierdere de căldură, fie prin condensare, pot apărea nucleerea și creșterea. Există o lacună între curba de echilibru și poziția în care aceste procese pot avea loc, numită *zona Mier*. În creșterea din topituri, unde transferul de căldură joacă rolul cel mai important, forța motrice este reprezentată de *subrăcirea*  $\Delta T$ . În cazul creșterii din soluții sau vapori, unde transferul de masă este esențial, forța motrice este dată de *suprasaturarea*  $\sigma$ . Forța motrice a cristalizării poate fi evaluată prin raportul  $\Delta m / kT$ , unde  $\Delta m$  este diferența de potențial chimic dintre faza solidă și cea fluidă,  $k$  este constanta lui Boltzmann și  $T$ , temperatura absolută.

**Transferul de masă.** În cristalizarea din soluții și vapori, există o diferență de concentrație între faza fluidă și suprafața cristalului astfel încît particulele pot fi transportate prin difuzie. Această diferență poartă numele de *suprasaturare de masă*  $\sigma m$ . De asemenea, se poate stabili o diferență între concentrația stratului de adsorbție din jurul cristalului și suprafața acestuia, numită *suprasaturare de suprafață*  $\sigma s$ .

În general, suprasaturarea de masă are un rol mai important în cazul creșterii cristalelor poliedrice, în timp ce creșterea dendritică este controlată mai ales de suprasaturarea de suprafață.

Interfețele fluid-solid netede - așa cum este cazul fețelor de cristal cu indici mici ale cristalelor poliedrice - prezintă o variație a suprasaturării în planul suprafeței, aceasta fiind maximă pe muchii și colțuri (*efectul Berg*); liniile de egală concentrație sînt trunchiate la colțuri și paralele cu fețele. La cristalele dendritice, aceste linii sînt riguros paralele cu muchiile.



Morfologia liniilor de egală concentrație în jurul unui cristal poliedric (a) și a unui dendritic (b), ambele aflate în proces de creștere.

Geometria și grosimea stratului adsorbant circumscris cristalului se modifică în funcție de mobilitatea fazei fluide. În general, *curenții de convecție* și *agitația* provoacă subțierea acestui strat.

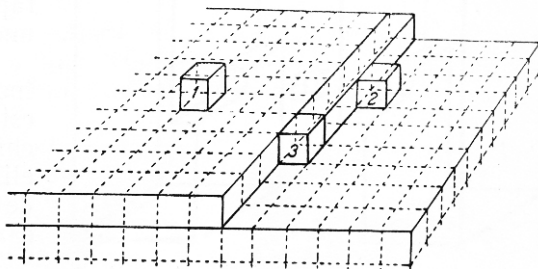
**Rugozitatea interfeței solid-fluid.** În funcție de rugozitate, interfețele solid-fluid pot fi clasificate în:

- interfețe rugoase (non-singulare, incomplete);
- interfețe netede (singulare, complete);

Dacă o interfață solid-fluid este rugoasă la nivel molecular, atomic, particulele adsorbite pot fi imediat încorporate în cristal, deoarece acestea găsesc poziții stabile. Interfața avansează continuu, rata ei de creștere  $R$  fiind direct proporțională cu forța motrice și determinînd așa-numita *creștere continuă* sau *adezivă*:

$$R = \alpha (\Delta m / kT)$$

unde  $\alpha$  este un factor de estimare al rugozității. Dacă interfața fluid-solid este atomic netedă, particulele adsorbite nu găsesc ușor o poziție stabilă și migrează pe suprafață, timp în care, unele pot chiar să părăsească cristalul. Altele găsesc totuși astfel de poziții, determinînd o creștere bidimensională, prin extindere laterală, paralelă cu interfața.

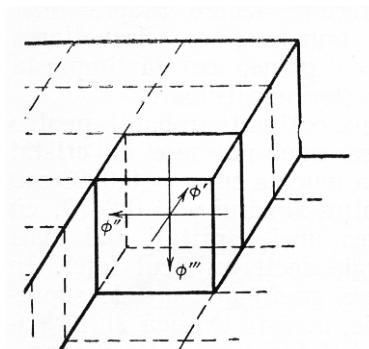


Locuri posibile de fixare a unei particule adsorbite pe un cristal

Există două posibilități de a furniza surse pentru începerea de noi straturi, și anume:

- *mecanismul nucleerii bidimensionale* - 2DNG (Kossel - Stranski - Volmer);
- *mecanismul creșterii spirale* - BCF (Burton - Cabrera - Frank).

În cazul creșterii 2DNG se pune problema unei anumite bariere de energie care trebuie depășită pentru ca un nou pas al creșterii să poată începe. După Kossel, energia eliberată prin realizarea unui pas energetic, adică prin legarea unui ion din soluție de un ion de semn contrar de pe cristal  $\Phi_0$ , se împarte în trei componente: două tangențiale  $\Phi'$ ,  $\Phi''$ , și una perpendiculară pe ele, adică pe direcția de creștere  $\Phi'''$ .



Componentele energiei de legare a unui ion din soluție cu ionii unui cristal în creștere

Rezultă că pentru a începe construirea unui nou șir reticular se eliberează următoarele energii:

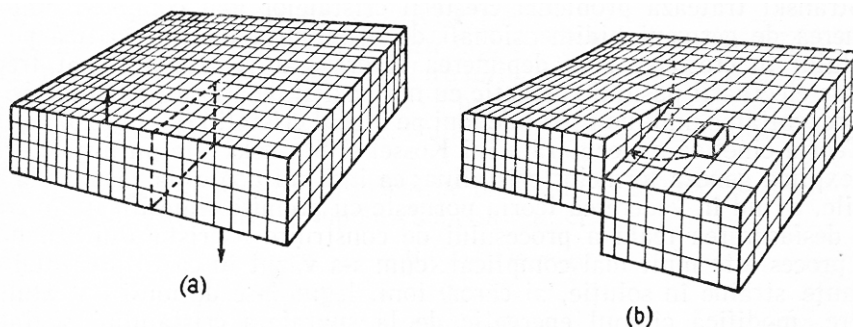
- $\Phi'''$  (minimă): așezarea pe fața cristalului;
- $\Phi''$  (medie): alipirea de muchia unui plan reticular;
- $\Phi'$  (maximă): alipirea la capătul unui șir reticular.

Energiile se calculează ținând seama de contribuția fiecărui ion din șir la potențialul electrostatic al șirului, după legea lui Coulomb. De exemplu, pentru un cristal de NaCl:  $\Phi' = 0.69315$ ,  $\Phi'' = 0.1144$ ,  $\Phi''' = 0.0662$ .

Pentru așezarea unei particule în lungul unui șir reticular pe o față de cristal (100), pasul energetic va fi:

$$\Phi_{0(100)} = \Phi'_{(100)} + \Phi''_{(100)} + \Phi'''_{(100)} = 0.8736$$

Acest pas va fi cel mai des repetat datorită energiei mari eliberate, în timp ce începerea unei noi fețe va elibera numai o energie scăzută  $\Phi''' = 0.0662$ .



Formarea dislocațiilor spirale în creșterea BCF

Creșterea 2DNG va surveni numai în cazul atingerii unui anumit grad de suprasaturație, în timp ce la creșterea BCF, acesta nu mai e necesar deoarece dislocațiile spirale formate în timpul creșterii furnizează un pas energetic mare care se perpetuează de la sine. Creșterea BCF este continuă și se produce chiar și la forțe motrice slabe, rata de creștere având un caracter exponențial:

$$R = \alpha (\Delta m / kT)^n$$

Data fiind importanța rugozității în determinarea mecanismelor de creștere, au existat încercări de stabilire a unor factori de estimare sau predicție a acestei mărimi. Mai cunoscut este factorul de estimare  $\alpha$ , propus de Jackson (1958):

$$\alpha = \xi_i (L / kT_m)$$

$\xi_i$  este un factor de anizotropie dependent de poziția de fixare a unei particule pe suprafața unui cristal:

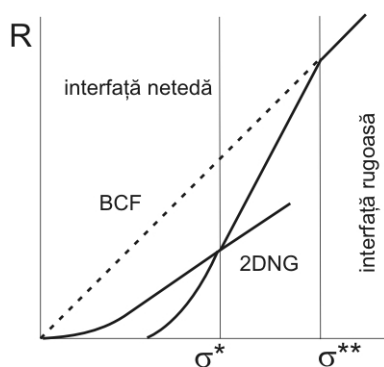
$$\xi_i = E_s / E_c$$

unde  $E_s$  este energia de absorbție a unei particule într-o anumită poziție (față, muchie, șir), iar  $E_c$ , energia de cristalizare, aproximativ egală cu energia de legătură.

În legătură cu factorul  $\alpha$  sînt utile următoarele precizări:

- cu cît valoarea lui  $\alpha$  crește cu atît interfața va fi mai netedă;
  - cristalele cu  $\alpha < 2$  au interfețe rugoase în toate direcțiile;
  - cristalele cu legături simple și  $E_c$  mici au factori  $\alpha$  reduși;
  - la același cristal interfața devine cu atît mai rugoasă cu cît crește temperatura;
  - la aceeași temperatură, interfețele cu împachetări mai compacte au factori  $\alpha$  mai mari;
  - cristalele foarte solubile au factori  $\alpha$  reduși;
  - în general, dacă se compară interfețe vapori-solid, lichid-solid și topitură-solid la aceeași temperatură, se constată că:  $\alpha_l < \alpha_v < \alpha_t$ , dar trebuie să se țină seama de faptul că există o puternică dependență între rugozitate și solubilitate, tip de solvent etc., ceea ce ar putea să ducă la altă ordine a factorilor de estimare decît cea de mai sus.
- 8) factorul  $\alpha$  este direct proporțional cu potențialul chimic dintre faza fluidă și cea solidă.

**Rata de creștere și suprasaturarea.** Relația dintre rata de creștere și suprasaturare determină la rîndul său morfologia cristalului. Ea trebuie avută în vedere separat pentru cele trei mecanisme de creștere - continuu, bidimensional și spiral - și trebuie corelată cu rugozitatea interfeței:

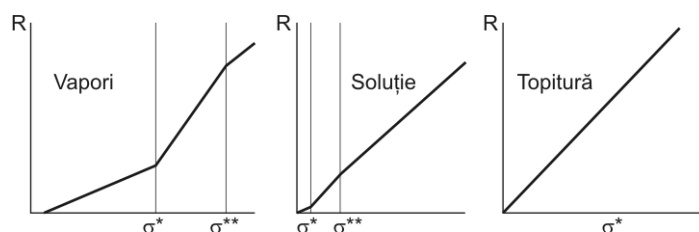


În diagramă, se pot delimita două valori tranziționale caracteristice ale suprasaturației:

- $\sigma^*$  - deasupra căreia predomină mecanismul 2DNG în dauna celui BCF;
- $\sigma^{**}$  - la care creșterea 2DNG devine continuă și deasupra căreia interfața fluid-solid este rugoasă.

Dacă se compară poziția lui  $\sigma^*$  și  $\sigma^{**}$  pentru topituri, soluții și vapori se pot desprinde următoarele:

- $\sigma^*$  și  $\sigma^{**}$  sînt foarte mari în vapori și mult mai mici în soluții;
- în cazul topiturilor suprasaturarea nu intervine ca factor de creștere.



Reprezentare schematică a valorilor  $\sigma^*$  și  $\sigma^{**}$  pentru creșterea din diferite faze.

se pot stabili mai multe legături între posibilitatea de apariție a creșterii poliedrice sau dendritice și echilibrul cristalizare-dizolvare în funcție de anumite valori ale  $\sigma^*$  și  $\sigma^{**}$ :

- cristalele crescute din topituri au tendința de a prezenta morfologii dendritice, iar cele provenite din soluții, tendințe intermediare între morfologia poliedrică și cea dendritică;

- $\sigma^*$  și  $\sigma^{**}$  sînt constante de material astfel încît mai multe cristale ale unei asociații vor da morfologii diferite la același potențial chimic  $\Delta m / kT$ , chiar și în același tip de soluție.

- același cristal va putea să prezinte morfologii diferite în soluții diferite: soluțiile de temperatură înaltă vor genera preponderent cristale cu număr mai mare de fețe;

- deoarece cristalele sînt izotrope din punct de vedere al factorului  $\alpha$ , este posibil ca unele fețe să crească după un mecanism BCF (fețe netede), iar altele după mecanismul 2DNG, generînd morfologii complexe.

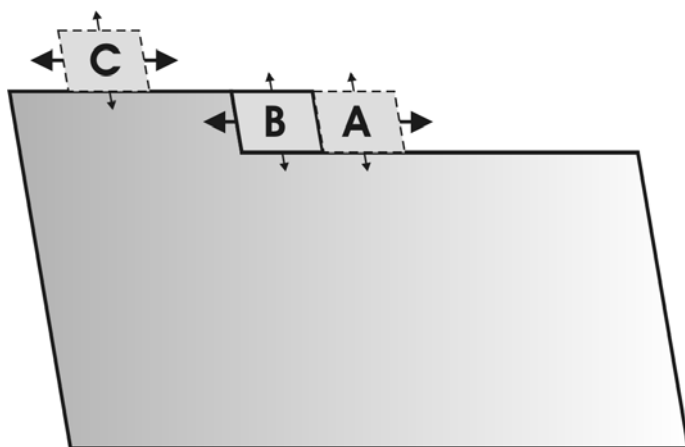
### Rolul lanțurilor periodice de legături în creșterea cristalelor

Cristalografia a formulat numeroase legități care stabilesc legătura între structura internă și formele exterioare ale cristalelor (Legea Bravais-Friedel, Legea Donnay-Harker etc. – legi bazate pe legătura între densitatea reticulară a unui anumit plan sau echidistanța  $d_{hkl}$  a unei familii de plane reticulare și importanța unei anumite forme  $\{hkl\}$  din punct de vedere al frecvenței și suprafeței ocupate). Puține astfel de teorii au reușit să integreze rolul condițiilor cristalogenetice externe în edificarea unei morfologii de echilibru.

O astfel de teorie este cea formulată de Hartmann și Perdock (1955), prin care se definește unitatea structurală internă responsabilă de morfologia externă a cristalelor, analizând totodată comportamentul acestei unități în raport cu condițiile fizice și chimice ale mediului cristalogenetic.

Această unitate structurală fundamentală poartă numele de *lanț periodic de legături* (*Periodic Bond Chain - PBC*) și constituie conceptul central al teoriei lui Hartmann și Perdock.

Dacă se consideră un cristal bidimensional (a se vedea figura următoare), depunerea unei unități de creștere în A este mai probabilă decât depunerea în C, dacă unitatea A este atașată la cristal prin cel puțin o legătură puternică A – B în plus față de unitatea C. În acest caz unitatea A nu se va redizolva la fel de ușor ca C. Din acest motiv, cristalul va fi mărginit de muchii care sunt paralele cu direcția unor înșiruiți neîntrerupte de unități de creștere puternic legate. O astfel de înșiruire poartă denumirea de *lanț periodic de legături* (PBC).



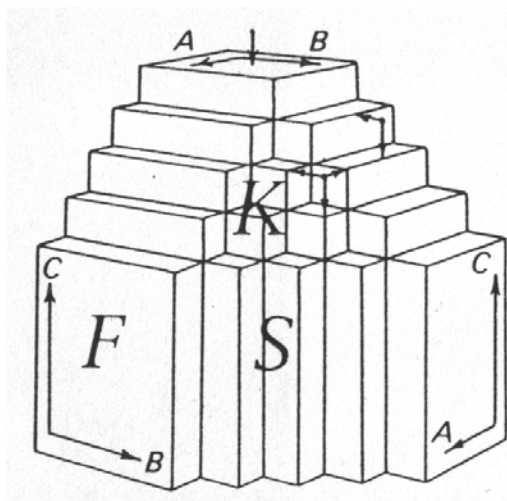
*Model de cristal bidimensional sau strat de creștere poligonizat. Probabilitatea de atașare a unei unități de creștere este mai mare în A decât în C, deoarece între A și B există o legătură puternică.*

*Legăturile puternice* care formează un PBC sunt acele legături care fac parte din prima sferă de coordonare a unui atom, ion sau moleculă. Aceste legături se formează în timpul procesului de cristalizare, uneori chiar în soluția suprasaturată.

Prin definiție și ca urmare a periodicității spațiului cristalin, toate PBC-urile paralele cu una și aceeași direcție sunt identice sau simetric echivalente și trebuie să includă aceeași compoziție cu a cristalului. De asemenea, PBC-urile trebuie să nu aibă un moment de dipol perpendicular pe direcția de alungire.

Utilizând acest concept se pot distinge trei tipuri de fețe :

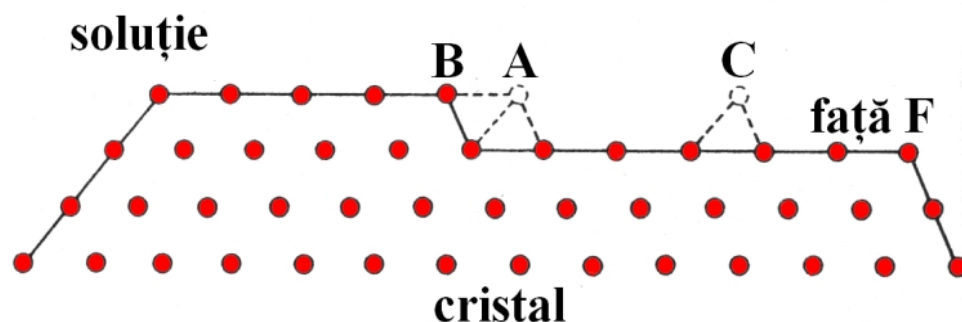
- fețe de tip **F** (flat): paralele cu straturi  $d_{hkl}$  care conțin *două sau mai multe PBC-uri neparalele*;
- fețe de tip **S** (stepped): paralele cu straturi  $d_{hkl}$  care conțin *un singur tip de PBC*;
- fețe de tip **K** (kink): paralele cu straturi  $d_{hkl}$  care *nu conțin nici un PBC*.



*Cristal ipotetic cu trei PBC-uri necoplanare:  $A \parallel [100]$ ,  $B \parallel [010]$  și  $C \parallel [001]$ . Fețele de tip F (flat) sunt  $(100)$ ,  $(010)$  și  $(001)$ ; fețele de tip S (stepped),  $(110)$ ,  $(101)$  și  $(011)$ ; fața paralelă cu  $(111)$  este de tip K (kink)*

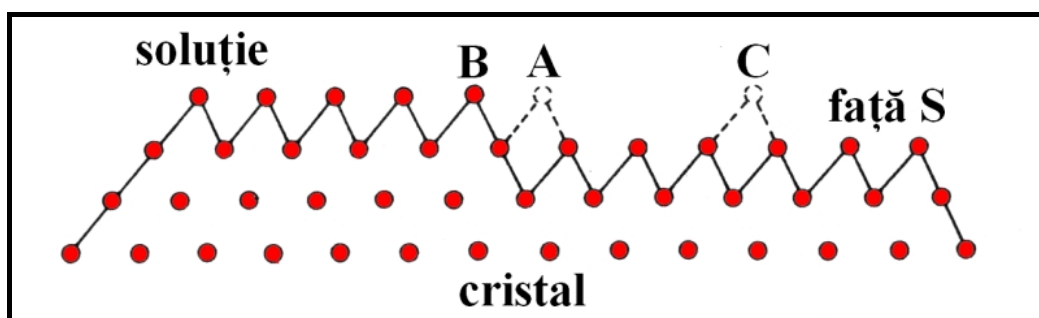
Cele trei tipuri de fețe au mecanisme diferite de creștere. Fețele F cresc prin intermediul unor straturi, au o viteză mică de dezvoltare, generând din acest motiv forme frecvente și bine dezvoltate în cristal. Fețele S se formează prin mecanisme de nucleere unidimensională și cresc mai repede decât fețele F. Fețele de tip K nu necesită nici un fel de nucleere și cresc foarte repede, lipsind de multe ori din ansamblul de forme cristaline.

Dacă luăm în considerare un cristal tridimensional și analizăm interacțiunea (forțele de legătură dintre PBC-uri), putem observa că PBC-ul din A (figura următoare) are o mai mare probabilitate de depunere decât cel din C, în cazul în care primul poate stabili legături puternice cu B. Aceasta implică existența a cel puțin unui alt PBC paralel cu fața considerată. Din acest motiv dezvoltarea feței va fi posibilă numai în cazul în care stratul de creștere conține două sau mai multe PBC-uri.



*Model de cristal format din PBC-uri paralele care se pot lega puternic în direcțiile perpendiculare pe alungire (ex. A – B). În acest caz, cristalul se dezvoltă prin intermediul unui strat de creștere și generează fețe plate și netede (fețe F). Fiecare cerc reprezintă terminația unui PBC.*

Dacă PBC-urile nu se pot lega între ele prin legături puternice, stratul plan de creștere nu poate apărea deoarece probabilitatea de atașare a unui nou PBC este peste tot aceeași (figura următoare). Viteza de creștere este mai mare aici decât în primul caz, deoarece atașarea vectorilor PBC poate avea loc simultan.



*Model de cristal format din PBC-uri paralele care nu se pot lega puternic în direcții perpendiculare pe alungire (ex. A – B). Probabilitatea de atașare este aceeași în A și C, iar fețele care se formează sunt de tip S (stepped).*

Rata de creștere este minimă pentru fețele de tip F, crescând pentru fețele S și respectiv K. Energia de atașare variază în aceeași ordine, fiind maximă pentru fețele de tip K. De asemenea, o suprasaturație ridicată favorizează în ordine, dezvoltarea fețelor K, S și respectiv F.



# BIBLIOGRAFIE

- APOSTOLESCU, R. (1982) Cristalografie - Mineralogie. p. 279, Edit. Didactică și Pedagogică, București.
- BISH, D.L., POST, J.E., (editori.) (1989) Modern powder diffraction. In Modern powder diffraction, Reviews in Mineralogy, **20**, 369 p.
- BOISEN, M.B. & GIBBS, G.V. (1976) A derivation of the 32 crystallographic point groups using elementary group theory. *American Mineralogist*, **61**, 145-165, Washington D.C.
- BOISEN, M.B. & GIBBS, G.V. (1985) Mathematical crystallography. An introduction to the mathematical foundations of crystallography. In Ribbe, P.H., (editor), *Reviews in Mineralogy*, vol. **15**, p. 406, Blacksburg, Virginia.
- BUERGER, M.J. (1980) Crystal-structure analysis. 668 p., John Wiley & Sons, Inc., New York, London.
- CODARCEA, AL. (1965) Mineralogie, vol. I - Cristalografia. p. 568, Edit. Didactică și Pedagogică, București.
- GIACOVAZZO, C., (editor) (1992) Fundamentals of crystallography. 654 p., International Union of Crystallography, Oxford University Press.
- GIUȘCĂ, D. (1986) Structura atomică a mineralelor. p. 350, Edit. Tehnică, București.
- HAHN, TH., (editor) (1983) International tables for crystallography., D. Reidel Publishing Co., Dordrecht, Boston.
- HAMMOND, C. (1990) Introduction to crystallography. Microscopy handbooks, 19, 97 p., Oxford University Press, Royal Microscopic Society.
- IMREH, I. (1966) Cristalografie. p. 311, Edit. Didactică și Pedagogică, București.
- JUDE, L., DRĂGHICI, I. (1980) Cristalografie geometrică - lucrări practice. p. 128, Universitatea București, Fac. de Geologie-Geografie, București.
- KLEIN, C. (1989) Minerals and rocks. 402 p., John Wiley & Sons, Inc., New York...
- KLEIN, C., HURLBURT, C.S., JR. (1993) Manual of Mineralogy. Twenty-first edition. 681 p., John Wiley & Sons, Inc., New York...
- LAȚIU, V.N. (1958) Cristalografia fizică. p. 347, Edit. Tehnică, București.
- LONSDALE, K., (editor) (1962) International tables for X-ray crystallography., The Kynoch Press, Birmingham.
- MACALEȚ, V. (1989) Cristalografie - Mineralogie. p. 221, Inst. Politehnic, Fac. de Metalurgie, București.
- MACALEȚ, V., PETRESCU, M.I., COSTIN, G. (1993) Cristalografie geometrică - îndrumar de laborator. p. 174, Universitatea Politehnică, Fac. de Știință și ingineria materialelor, București.
- MCKIE, D., MCKIE, C. (1986) Essentials of crystallography. p. 437, Blackwell Scientific Publications, Oxford, London .
- PICKWORTH-GLUSKER, J. & TRUEBLOOD, K.N. (1972) Crystal structure analysis: A primer. 192 p., Oxford University Press, New York, London, Toronto.
- PRINCE, E. (1982) Mathematical techniques in crystallography and materials science. 192 p., Springer Verlag, New York, Heidelberg, Berlin.
- PUTNIS, A. (1993) Introduction to mineral sciences. 457 p., Cambridge University Press.
- SIROTIN, I.I. & SASKOLSKAIA, M.P. (1981) Fizica cristalelor. p. 757, Edit. Științifică și Enciclopedică, București.
- STOUT, G.H. & JENSEN, L.H. (1989) X-ray structure determination. A practical guide. 453 p., John Wiley & Sons, New York, Chichester, Brisbane.
- SUNAGAWA, I. (1984) Growth of crystals in nature. In Sunagawa, I., (editor), Materials Science of the earth's interior, 63-105, TERRAPUB, Tokyo.

- VAINSHTEIN, B.K., FRIDKIN, V.M. & INDENBOM, V.L. (1982) Modern crystallography II. Structure of crystals. 433 p., Springer-Verlag, Berlin Heidelberg New York.
- VAINSTEIN, B.K. (1989) Cristalografia modernă I. Simetria cristalelor, metodele cristalografiei structurale. p. 352, Edit. Științifică și Enciclopedică, București.
- VEBLEN, D.R. (1991) Polysomatism and polysomatic series: A review and applications. *American Mineralogist*, **76**, 801-826.
- ZVYAGIN, B.B. (1993) Electron diffraction analysis of minerals. *MSA Bulletin*, **23**, 66-79.